



# Bergvesenet

Postboks 3021, 7002 Trondheim

# Rapportarkivet

Bergvesenet rapport nr <b>BV 1635</b>	Intern Journal nr	Internt arkiv nr	Rapport lokalisering Trondheim	Gradering <b>Fortrolig</b>
Kommer fra ..arkiv	Ekstern rapport nr NGU 1709/D	Oversendt fra	Fortrolig pga	Fortrolig fra dato:
Tittel En økonomisk-geologisk undersøkelse av ultramafiske bergarter (unntatt kleberstein) i Nord-Gudbrandsdalen, Oppland, 1984				
Forfatter Nilsson, Lars Petter		Dato 10.03 1984	Bedrift Norddalsmalm, A/S NGU	
Kommune Lesja, Dovre, Lom, Sel, Skjåk, Vågå, Nord-Fron	Fylke Oppland	Bergdistrikt Østlandske	1: 50 000 kartblad	1: 250 000 kartblad
Fagområde Geologisk kartlegging Petrografi Kjemi	Dokument type		Forekomster Nord - Gudbrandsdalen	
Råstofftype	Emneord Ultramafitter Kromitt Cu- og Ni-sulfider			
Sammendrag				

NGU-rapport nr.1709/D  
En økonomisk-geologisk undersøkelse  
av ultramafiske bergarter (unntatt  
kleberstein) i Nord-Gudbrandsdalen,  
Oppland.

1984



# Norges geologiske undersøkelse

Leiv Eiriksons vei 39 Postboks 3006  
Tlf. (075) 15 860 7001 Trondheim

Postgironr. 5 16 82 32  
Bankgironr. 0633.05.70014

Rapport nr. 1709/D	Åpnet/fortrolig til inntil videre	
Tittel: En økonomisk-geologisk undersøkelse av ultramafiske bergarter (unntatt kleberstein) i Nord-Gudbrandsdalen.		
Oppdragsgiver: NGU-A/S NORDDALSMALM	Forfatter: Lars Petter Nilsson	
Forekomstens navn og koordinater: Nord-Gudbrandsdalen	Kommune: Lesja, Dovre, Sel, Skjåk, Lom Vågå og Nord-Fron	
Fylke: Oppland	Kartbladnr. og -navn (1:50000): innenfor 20 kartblad i M 1:50 000	
Utført: Feltarbeid: 1979, 1980 Analyser og mikroskopiering: 1980, 1981 Rapportskriving: 1982, 1983.	Sidetall: 29 Tekstbilag: 6 Kartbilag: 27	
Prosjektnummer og -navn: 1709-10 Undersøkelse av ultramafiske bergarter under Nord-Gudbrandsdalprogrammet Prosjektleder: Gunnar Juve Programleder: Einar Tveten		
Sammendrag: <p>Over 80 ultramafiske bergartskropper og lokaliteter innenfor serpentinkonglomerat er undersøkt og kartlagt vesentlig med hensyn på krommalm, kobber- og nikkelsulfider, talk/kleber og olivinstein (Tegn. 1709/D-01-27). Talk/kleber-forekomstene behandles separat i rapportene 1709 C, -H og -O.</p> <p>Innhold og opptreden av hovedmineraler og malmmineraler (oksyder og sulfider) i ultramafittene ble bestemt på grunnlag av mikroskopiering av over 200 slip, mikrosondeanalyser samt kjemiske analyser (røntgenfluorescens og delvis våtkjemi) på hoved- og sporelementer i 122 bergartsprøver (Bilag 1-6).</p> <p>Undersøkelsene har ikke resultert i funn av malmer eller mineraliseringer eller i det hele tatt opplysninger som i økonomisk-geologisk henseende bør følges opp med videre detaljundersøkelser.</p>		
Nøkkelord	ultramafitter	kromitt
	petrografi	kobber- og nikkelsulfider
	kjemi	

Ved referanse til rapporten oppgis forfatter, tittel og rapportnr.

INNHOLDSFORTEGNELSE

	<u>side</u>
Innledning	5
1) Kort oversikt over ultramafittenes geologiske plassering, fordeling og dannelse	6
2) Krommalm	8
3) Kobber-nikkelsulfider og platinagruppens elementer	13
4) Olivinstein, edelserpentin og magnesitt	21
5) Hovedkonklusjon	24
Referanser	25

TEKSTBILAG

- Bilag 1: Prøvefortegnelse og mikroskopieringsdata
- " 2: Kjemiske analyser med mikroskopieringsdata
- " 3: Mikrosondeanalyse av kromitt
- " 4: Mikrosondeanalyse av oksyder og pyroksen i pyroksenitt fra Gråsubekken i Veodalen
- " 5: Mikrosondeanalyse av sulfider
- " 6: Edelmetallanalyser

KARTBILAG

- 1709/D-01 Detaljkart: Raudhamaren i Leirungsdalen, Gjendeshø og Sikkilsdalshornet (Vågå og Nord-Fron).
- 02 " : Områder ved Russvatn, Bessvatn og i Memurdalen (Vågå og Lom).
- 03 " : Indre del av Veodalen (Lom).
- 04 " : Blåhø-Fosseter-Smådalen og Heranoshø (Lom).
- 05 " : Hovedstulfjellet i Bøverdalen (Lom).
- 06 " : Raudberget ved Rauddalsvatnets østende og kuppene ved Huguvardtjern (Skjåk).
- 07 " : Rauhøgda øst for Liavatnet (Skjåk).
- 08 " : Området rundt Grotli (Skjåk).
- 09 " : Høggøyen og Dørkampen (Skjåk).
- 10 " : Skamsdalen (Lesja).
- 11 " : Lesjehorrungane og Raudbergi i Lesjaskog (Lesja).
- 12 " : Juvvatnet-Visdalen (Lom).
- 13 " : Dalen gård NV for Vågåmo, Tristeinen N for Tesse og Synslia N for Tesse (Vågå).
- 14 " : Birisjøen og Hindseter i Sjodalen (Vågå).
- 15 " : Ormhaugen N for Flatningen og Reiggehaugen NØ for Lemonsjøen (Vågå).
- 16 " : Områder i Heidal (Sel).
- 17 " : Området SV for Otta (mellom Pillarguri og Storegrovåi).
- 17 A " : Detaljer i Tegn. 17.
- 18 " : Områder i Grimsdalen og Haverdalen (Dovre).
- 19 " : Tallerås og Mjølrakkhaugan (Dovre).
- 20 " : Tessekrokene (Vågå).
- 21 " : Rindtjern og Skytningen (Vågå).
- 22 " : Einarsplassberget (Vågå) og Jønndalen (Dovre).
- 23 Oversiktskart: Geografisk fordeling av ultramafittene.
- 24 " : Lokalitetsnavn og prøvenummer.
- 25 " : Petrografisk oversikt.
- 26 " : Innhold og opptreden av krom i ultramafittene.
- 27 " : Innhold og opptreden av sulfider i ultramafittene.

## Innledning

Det ble besluttet å undersøke et utvalg av ultramafittene i Nord-Gudbrandsdalen som en del av den totale prospekteringsaktivitet innenfor Nord-Gudbrandsdalprogrammet.

Omtrent 80 ultramafittkupper og lokaliteter innenfor serpentinkonglomerater ble befart og prøvetatt i perioden 1979-1982. Ultramafittene ble kartlagt i grove trekk under befaringsene, se Tegning 1709/D - 01-27. Enkelte av ultramafittene var detaljert kartlagt og beskrevet fra tidligere undersøkelser, f.eks. Raudhamaren i Leirungsdalen (Murthy 1973), mens det geologiske grunnlagsmaterialet for andre var Holtedahl & Dons' geologiske kart over Norge (1960) eller en kort notis i NGU's Bergarkiv.

116 prøver av ultramafiske bergarter og 6 prøver av basiske bergarter tilsammen 122 bergartsprøver, er analysert ved hjelp av røntgenfluoresensspektrometri på 10 hovedelementer og 13 utvalgte spor-elementer. I tillegg ble glødetapet bestemt i alle prøvene. I 21 av prøvene ble  $\text{Fe}^{2+}$ ,  $\text{H}_2\text{O}^+$  og  $\text{H}_2\text{O}^-$  bestemt våtkjemisk. Analyseresultatene er listet opp i Bilag 2.

Det ble laget 154 kombislip (polerte tynnslip), 41 tynnslip og 55 polerslip, tilsammen 250 slip, vesentlig av ultramafiske bergarter og krommalm, men også noen få slip av gabbroide bergarter. Alle slipene er mikroskopert, og en oversikt over de mikroskoperte prøvenes sammensetning av hovedmineraler er gitt i Bilag 1.

En del oksyder og sulfider ble undersøkt ved hjelp av mikrosonde. De samlede resultater av disse undersøkelsene er listet opp i bilag 3, 4 og 5.

Ti av prøvene ble analysert på gull, platina og palladium (bilag 6).

Hovedinndelingen av rapporten er basert på separate omtaler av de enkelte malmer og industrimineraler som kan opptre i ultramafiske bergarter.

## 1) Kort oversikt over ultramafittenes geologiske plassering, fordeling og dannelse

Ultramafiske bergarter er eruptivbergarter med mer enn 90% "mørke" mineraler, det vil her si magnesium- og jernrike mineraler. Innenfor prosjektområdet i Nord-Gudbrandsdalen fins ultramafiske bergartskropper og bergartsformasjoner som er dannet på forskjellige måter.

### 1.1. Alpin-type ultramafitter

Størst utbredelse rent geografisk har alpin-type ultramafittene (Moore & Qvale 1977) som fins i stort antall, særlig i den nordlige halvdelen av prosjektområdet, se Tegn. 1709/D - 23.

Kuppene ligger her spredt i kambro-siluriske metasedimenter, i metasedimenter av usikker alder nedfoldet i grunnfjellsgneisen og i selve grunnfjellsgneisen.

De fleste alpin-type ultramafittene i Nord-Gudbrandsdalen er dannet med utgangspunkt i oppskyvning (obduksjon) av store flak av havbunnskorpe under den kaledonske fjellkjedefoldning. Under oppskyvningen har små partier av bergartene under skorpen (mantelen) fulgt med. Bergarten fra mantelen er ultramafiske i sammensetning. Under fjellkjedefoldningen ble de store flakene av havbunnskorpe brutt ned i mindre biter og deformert sammen med bergarter de lå innesluttet i. Fragmenter av mantelbergartene er ofte skilt fra havbunnskorpen og de to delene transportert videre hver for seg. Under de senere stadier av fjellkjedefoldningen er mantelfragmentene avrundet til linseformede kropper og samlet i regionale svakhetssoner som i dette tilfellet hovedskyveplanet mellom kambro-silurbergartene (Trondheimsfeltet) og sparagmittformasjonen. Disse kroppene tilhører den såkalte alpine-type av ultramafiske bergarter. Mantelbergartene er ikke alltid skilt fra havbunnskorpen, men kan ha gjennomgått fjellkjedefoldningen sammen med skorpen som en enhet. En bergartssekvens som består av mantelbergarter underst og derover et komplett snitt gjennom havbunnskorpe kalles en ofiolitt. Ingen ofiolitter er kjent innenfor Nord-Gudbrandsdalen.

## 1.2. Jotundekket ultramafitter

Samlet har ultramafittene innenfor Jotundekket minst like stort areal eller volum som ultramafittene i den første gruppen. De forekommer i hundretall genetisk nært tilknyttet de gabbroide bergarter de ligger i. I følge Battey & Mc.Ritchie (1975, s. 43) har granulittfacies bergartene (høymetamorfe gabbroide og ultramafiske bergarter) i Jotundekket en kjemisk sammensetning som tyder på at de er dannet ved fraksjonert krystallisasjon fra en smelte. Ved denne prosessen er den lagdelte struktur man finner over store deler av Jotundekket fremkommet. De opprinnelig regelmessige og utholdende alternerende lag av ultramafiske og gabbroide bergarter er senere deformert i varierende grad fra sted til sted, og ultramafittene har dermed fått den noe mer uregelmessige form de har i dag.

## 1.3. Serpentinkonglomerater

Horisontbestandige lag av serpentinkonglomerat i metasedimenter og meta-vulkanitter av kambrosilurisk alder utgjør en tredje gruppe. De er geografisk samlet innenfor kartbladene Vågå og Otta. De anses som sikre sedimentære dannelser. Som regel er de monomikte, men fremmed bollemateriale er observert, f.eks. av "lys kvartsrik bergart" (Strand 1970). Videre er det funnet fossiler i konglomeratet i nærheten av Otta (Bruton & Harper 1981).

## 2) Krommalm

### 2.1. Innledning

Krommalm forekommer i det vesentlige på to måter:

- Krommalm kan opptre som særdeles horisontbestandige, men forholdsvis tynne lag i de lavere og mest basiske delene av store lagdelte intrusivkomplekser i stabil kontinentalskorpe. Blant de største enkeltfunnene i verden er LG3 og LG4 krommalm-horisontene i Bushveldkomplekset i Syd-Afrika. Horisontene er bare 50 cm tykke, men kan følges hele 63 km langs strøkretningen. Målt ned til 300 meters dyp gir disse horisontene tilsammen 156 millioner tonn malm. Regner man med alle krommalm forekomstene i Bushveld-komplekset ned til et dyp på 1200 m blir malmmengden enorm: 23 milliarder tonn (Evans 1980).

Den andre hovedtypen av forekomster er de såkalte podifome forekomster som opptrer i de mest basiske delene av alpintype ultramafittene. Malmkroppene i denne gruppen har en form som varierer fra regelmessige linser og tavler til helt uregelmessige klumpformete masser. Det meste av produksjonen kommer fra malmkropper i størrelsesorden 100 000 tonn eller mer. Totalt sett er det i verden kjent mindre enn et dusin forekomster av denne typen som er på 1 mill. tonn eller mer (Evans 1980).

I Nord-Gudbrandsdalen og i hele Norge forøvrig er krommalmforekomster kjent utelukkende i alpin-type ultramafitter.

### 2.2. Krommalm i alpin-type ultramafitter

#### 2.2.1. Malmkroppenes størrelse

Sammenlignet med det ovenstående har de kjente krommalforekomstene i Nord-Gudbrandsdalen vært helt ubetydelige. 800-1 200

tonn malm er brutt i Lesjehorungene og Skamsdalen (Poulsen 1940). I Haverdalen er brutt 84 tonn malm (Kvalheim 1938), og de andre forekomstene (Høggøyen og Dørkampen i Skjåk og Tollefshaugen i Grimsdal) har vært enda mindre.

De største enkeltforekomstene i Norge er funnet i Feragen-ultramafitten øst for Røros. Her er det utdrevet tre eller fire forekomster i størrelsesorden 5-10 000 tonn. Over 90% (Poulsen 1960) eller ca. 32 500 tonn av all krommalm utdrevet i Norge har kommet fra Feragenfeltet. Når disse 32 500 tonn fordeler seg på ialt 235 gruver og skjerp (Falck-Muus 1957) blir den gjennomsnittlige malmkropp ikke særlig stor. Forholdene har vært tilsvarende ved de øvrige norske krommalmfelter.

På denne bakgrunn er det derfor rent statistisk liten sannsynlighet for at det fins store, umiddelbart drivverdige krommalmkropper innenfor ultramafittene i Nord-Gudbrandsdalen.

Alle krommalforekomster i Norge er funnet i den mest silisiumfattige av de ultramafiske bergartene nemlig dunitt (olivinstein). Innenfor dunitten igjen ser det ut som om malmkroppene opptrer helt tilfeldig.

Flere av de største ultramafittene i Nord-Gudbrandsdalen har frisk eller omvandlet dunitt som hovedbergart, det gjelder f.eks. Rauhamran i Haverdalen og ultramafitten i Skamsdalen i Lesja.

Vogt (1905) og Helland (1873) undersøkte de fleste av landets krommalmfelter omkring den tiden det var drift i disse. De fant begge at det så ut som om det kunne være en viss positiv korrelasjon mellom størrelsen av ultramafittene og den iværende mengde krommalm: - store ultramafitter førte rel. mye krommalm (eks. Feragenfeltet), middels store ultramafitter (eks. Rauhammeren øst for Røros) en noe mindre malmmengde og små ultramafitter (eks. Osthammeren, Fåstene ved Tynset, Tollefshaugen i Grimsdalen, etc) førte bare ubetydelige malmutsondringer. Disse iakttagelsene ble støttet av opplysninger om at forholdene så ut til å være analoge i land med på den tiden betydelig kromgruvedrift, nemlig Østerrike, Ungarn, Tyrkia, Ny-Caledonia, Ny-Zealand, osv.

Det fins imidlertid unntak fra regelen som forannevnte geologer var fullstendig klar over. Innenfor det mange kvadratkilometer store olivin- og serpentinfeltet på vestsida av Leka i Nord-Trøndelag er det f.eks. ikke kjent annet enn helt ubetydelige krommalmsindringer. På den annen side har den lille ultramafitten i Skamsdalen i Lesja (ca. 0,2 km<sup>2</sup>) ført krommalm med opptil 2 meters mektighet. Forekomsten er fulgt ca. 10 m langs strøket og tilsvarende langs fallet og kan ha gitt noen få hundre tonn malm.

På grunnlag av det ovenstående er det derfor svært vanskelig å si noe definitivt om krommalmmulighetene innenfor Nord-Grudbrandsdalens alpintype ultramafitter.

Geofysiske prospekteringsmetoder har vist seg vanskelige i bruk fordi det vanligvis er liten kontrast mellom krommalm og sideberg. Gravimetri er muligens en av de beste geofysiske letemetoder, men metoden er kostbar og krever et godt topografisk kartunderlag som basis for målingene. De malmer som kan oppdages ved gravimetri må være dagnære, ha litt størrelse (min. noen titusen eller hundretusen tonn) og ordentlig kontrast i spesifikk vekt i forhold til sidebergart, dvs. det må helst være massivmalm (Donath (1962, s. 65-67)).

Indusert polarisasjon (IP) ble forsøkt i krommalmprospektering i Feragen-feltet, men metoden ga der resultater som var vanskelige å tolke. Det ble diamantboret på de kraftigste anomaliene, men uten positivt resultat. Metoden er kanskje best egnet til å finne størrelse og avgrensning av malmkropper som allerede er funnet. IP-målinger ved kjente forekomster (Lergruva og Skargruva i Feragen) kan tyde på det.

#### 2.2.2. Gehalter

Tidligere analyser viser at krommalm både fra Lesjehorrungene og Dovre (Haverdalen) har en relativt ugunstig kjemisk sammensetning med et lavt krominnhold og høyt jerninnhold (Smith 1941a):

Haverdalen, Dovre	gehalter i vekt-%		
	Cr <sub>2</sub> O <sub>3</sub>	FeO	SiO <sub>2</sub>
7 prøver	20,7-40,9	27,4-39,7	3,4-13,8

Lesjehorungene

	Cr <sub>2</sub> O <sub>3</sub>	FeO	SiO <sub>2</sub>
6 prøver	11,8-27,9	16,6-32,4	15,6-25,9

Krommalm med kjemisk sammensetning som angitt kan i dag anvendes i metallurgisk industri etter en oppredningsprosess hvor en får silikatinholdet ned på et akseptabelt lavt nivå. Nyvinninger innen den metallurgiske industri har ført til at krommalmprodusentene ikke lenger er bundet av de tradisjonelle spesifikasjoner med hensyn til kjemien (Cr<sub>2</sub>O<sub>3</sub>-innhold på min. 48 vekt-% og Cr/Fe-forhold på minimum 2,8).

Det ble utført mikrosondeanalyser på endel kromittkorn både i krommalm og i svake kromittmineraliseringer i dunitt for å få rede på om den kjemiske sammensetning av oksydene var økonomisk interessant. Resultatene er gjengitt i Bilag 3.

Kromittkorn fra mange av de undersøkte lokalitetene hadde en gunstig sammensetning av spinellen, dvs. tilfredsstillende høyt Cr-, Al- og Mg-innhold og lavt Fe-innhold. Dette gjelder friske og uomvandlete kromittkorn. Sekundærfasene ferrikromitt og krommagnetitt er relativt jernrikere.

Andelen av sekundærokxyder i forhold til uomvandlet kromitt er imidlertid i flere tilfeller så lav at bulksammensetningen, dvs. sammensetningen av den samlede oksydfasen, er tilfredsstillende.

Enkelte av disse forekomstene fører kromitt bare som impregnasjonsmalm og må oppredes. Selv massivmalm vil måtte oppredes hvis SiO<sub>2</sub>-gehalten er for høy. Hva slags oppredningsmetode som kan komme på tale, vil avhenge av kromittens fysiske og kjemiske egenskaper. Magnetseparasjon er f.eks. brukt på en kromittimpregnasjonsmalm i Kemi i Finland.

### 2.2.3. Konklusjon

Krommalmens kvalitet er i flere tilfeller tilfredstillende. Mikrosondeanalysene (Bilag 3) viser at den beste malmen er den fra Skamsdalsgruva.

Når det gjelder kvantitet har man mindre fordelaktige opplysninger å bygge på. De utdrevne malmkroppene har vært alt for små til at de idag kunne ha blitt utdrevet med fordel. Videre har resultatene fra geofysiske målinger vist seg såvidt vanskelige å tolke at man ikke uten videre kan anbefale geofysisk prospektering etter krommalm i alpintype ultramafitter innenfor Nord-Gudbrandsdalen.

### 2.3. Krom i Jotundekket ultramafitter

Innenfor ultramafittene i Jotundekket er det ikke kjent krommalmforekomster i det hele tatt. Det gjennomsnittlige krominnhold i disse ultramafittene ligger bare på ca. halvparten av Cr-gjennomsnittsgehalten i ultramafittene i kambro-siluren og innenfor Gneiskomplekset i Nord-Gudbrandsdalen.

Det ble ikke observert kromittmineralisering i noen ultramafisk bergart. De kjemiske analyser viser at dunitt i gjennomsnitt har et høyere krominnhold enn peridotitt og pyroksenitt. Eventuell krommalm ville derfor i dette tilfellet som i alpin-type ultramafittene sannsynligvis dannes i dunitt eventuelt i harzburgitt. Det er imidlertid svært lite dunitt i forhold til peridotitt og pyroksenitt i Jotundekket ultramafitter. Mulighetene for funn av krommalm synes derfor å være tilsvarende små.

### 3) Kobber-nikkelsulfider og PGE (platinagruppens elementer)

#### 3.1. PGE

Ultramafiske bergarter er de langt viktigste vertsbergartene for PGE. PGE oppkonsentreres både i oksyder (kromitt) og sulfider.

##### 3.1.1. PGE oppkonsentrert i kromitt

Analyserte kromittkonsentrater fra den store ultramafittprovinser i Ural har gitt Pt-verdier på hele 38 ppm og et gjennomsnittlig Pt-innhold som er mer enn 100 ganger høyere enn den gjennomsnittlige Pt-gehalt i kromittens vertsbergart, dunitt, ifølge Fominykh & Khvostova (1970) ref. i Crocket (1979). Tilsvarende resultater fins fra undersøkelser i Feragenfeltet (Lunde 1928). Pt-anrikningsfaktoren i kromitt i forhold til dunitt var også her betydelig (opptil 100x) selv om gehaltene her var lave absolutt sett (maks. 1,26 og 1,28 ppm Pt i 2 kromittprøver).

2 krommalmprøver fra Nord-Gudbrandsdalen, begge av typen sterk kromittimpregnasjon i sekundært omvandlet dunitt, ble sendt til Canada (Lakefield Research laboratories) for analyse på Au og PGE. Analyseresultatene ga imidlertid ingen indikasjon om at Au eller PGE var anrikt i interessante mengder.

<u>prøvenummer, lokalitet</u>	<u>Au, g/t</u>	<u>Pt, g/t</u>	<u>Pd, g/t</u>
186a, Rauhamran, Haverdalen	<0,01	<0,04	-
207a, Severine skjerp, Lesjehorrungane	<0,01	<0,04	-

Disse to enkeltanalysene er kvantitativt sett selvsagt lite å bygge på, men det var i det minste to representative malmprøver fra to ordinære kromittforekomster (hva hovedelementkjemi, tekstur og struktur angår) i to ordinære alpin-type ultramafitter i Nord-Gudbrandsdalen.

Det fins lite tilgjengelig og pålitelig materiale å bygge på når det gjelder denne malm-paragnesens opptreden i Norge. Det refererte arbeid av Lunde (1928) må ansees som noe usikkert i hvertfall rent kvantitativt. Vi har derfor ikke noe brukbart

utgangspunkt for å foreta ytterligere edelmetallanalyser på krommalprøver fra Nord-Gudbrandsdalen, og dette ble derfor ikke gjort.

### 3.1.2. PGE i sulfider

PGE i eller sammen med sulfider er kjent fra en rekke forekomster i ultramafitter verden over, f.eks. i Bushveld og Stillwater. Det fins tilgjengelige og pålitelige opplysninger om slike mineralassosiasjoner i Norge, bl.a. fra Lillefjellklumpen i Grongfeltet (Foslie & Johnson Høst 1932) og fra kobbernikkelfeltet i Espedalen (Naldrett & al. 1979). Innenfor prosjektområdet i Nord-Gudbrandsdalen hadde vi opplysninger om en lokalitet med pentlanditt, sperrylitt samt mulig gedigent Pt i en stor løsblokk av ultramafisk bergart (muntlig ref. T. T. Garmo og H. C. Olsen) ved Gråsubekken i Veodalen. Denne lokaliteten ligger ved den nederste (østre) enden av en uvanlig stor endemorene sammenholdt med den høyden morenen ligger i og topografien omkring (korttransportert materiale). Morenen er mer enn 4 km lang og høyden mer enn 1 900 m o.h. i gjennomsnitt. Området ble befart sommeren 1980, og en god del ultramafiske (pyroksenittiske) blokker med og uten belegg av sekundære kobberminerale (malakitt etc.) ble observert. Hovedmengden av blokkene i og rundt morenen var gabbroide. Prøver ble tatt av pyroksenitten og sendt til Canada for analyse på Au og PGE. Resultat:

<u>prøvenummer</u>	<u>Au, g/t</u>	<u>Pt, g/t</u>	<u>Pd, g/t</u>
149	0,06	0,04	0,21
150	0,11	<0,04	-
151	0,04	<0,04	-
152	0,025	<0,04	-

Det interessante med PGE-resultatene er her først og fremst at gehaltene av Pt overhode har nådd deteksjonsgrensen i en av prøvene. Dette indikerer grovt sett hvor nivået av PGE ligger i pyroksenitten. Pd er bare bestemt i den ene prøven hvor Pt lot seg påvise. Her er Pd:Pt 0,21:0,04 = 5,25. Dette forholdstallet indikerer at PGE er assosiert med sulfider og ikke oksyder i den

analyserte prøven (PGE-førende kromitt inneholder vesentlig mer Pt enn av de øvrige PGE (Jensen & Bateman 1981, s. 310).

Slip av de fire analyserte pyroksenittprøvene er mikroskopert og følgende mineraler ble observert:

silikater: klinopyroksen, olivin-orthopyroksen(?)symplektitt, orthopyroksen, olivin, hornblende, biotitt pluss oksyd-olivin-pyroksensymplektitt.

oksyder (utgjør 10-20 vol-%) av totalsammensetningen):

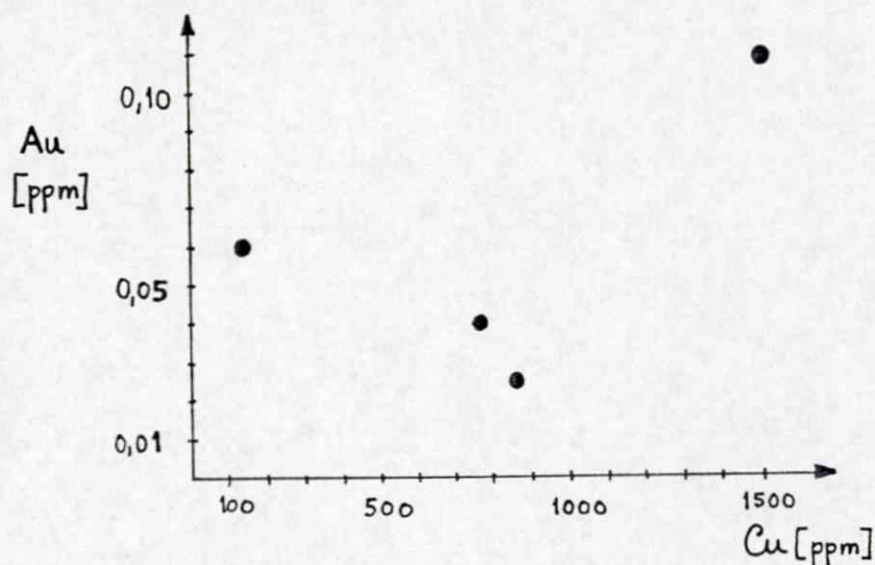
To faser, en svart (opak) og en grønn opptre alltid sammen! De ble analysert på mikrosonde (slip 150a) og bestemt til Ti-holdig, nær Cr-fri magnetitt og en nær Cr-fri fase beliggende mellom endeledene spinell ( $MgAl_2O_4$ ) og hercynitt ( $FeAl_2O_4$ ).

sulfider (opptrer kun som aksessorier)

kobberkis randlig omvandlet til kovellin og kobberglans/digenitt (?)

Prøvene er også analysert ved hjelp av røntgenfluoresens og de viste seg å være uvanlig kobberrike til ultramafiske bergarter å være, jfr. tegning 1709/D - 27.

Plottes gullgehaltene mot kobber, ser vi at det kan være en korrelasjon mellom de to, men prøvematerialet er for tynt til å gi grunnlag for en meningsfylt diskusjon.



Grunnlaget for å si noe om korrelasjon mellom PGE og kobber er minst like dårlig, men det synes noe imot hva en kunne forvente at den ene prøven som så vidt nådde deteksjonsgrensen på 0,04 ppm Pt samtidig var den fattigste av de tre på kobber (131 ppm mot 1 500, 768 og 858 ppm).

### 3.2. Kobber-nikkelsufider

Kobberinnholdet i ultramafittene i Nord-Gudbrandsdalen er gjennomgående svært lavt. Dette gjelder både alpin-type ultramafitter og ultramafiske kropper innenfor Jotundekket. Nikkelinnholdet i de samme bergartene er ofte relativt høyt. Unntaksvis fins imidlertid ultramafiske bergarter hvor gehaltene av kobber og nikkel nærmer seg hverandre eller hvor kobbergehalten er høyere enn nikkelgehalten (f.eks. de i avsnitt 3.1. omtalte løsblokker av pyroksenitt fra Gråsubekken i Jotunheimen).

122 bergartsprøver er som nevnt innledningsvis analysert på hoved- og sporelementer, bl.a. Cu og Ni. Sammenholdes analyseresultatene framkommer følgende om gjennomsnittsgehalten og ekstremalverdier:

bergartsenhet/ bergart	Antall analyserte prøver	Cu (ppm)		Ni (ppm)	
		middel- verdi	min. og maks. verdier	middel- verdi	min. og maks. verdier
Ultramafitter innenfor Jotun- dekket	46	102	<5-1500	617	93-1500
Pyroksenitt ved Gråsubekken	5	820	131-1500	307	93-1100
Um. innenfor J. m. unntak av Gråsubekken	41	14	<5- 74	655	131-1500
Ultramafitter i metasedimenter nedfoldet i grunnfjells- gneis og ultra- mafitter i grunnfjells- gneis	24	8	<5- 49	2225	1200-2800
Ultramafitter i kambrosilu- riske metasedi- menter og meta- vulkanitter + um. i Lesje- horrungane og Skamsdalen	32	10	<5-80	1857	536-2900
Serpentinkong- lomerat inkl. kleberforekoms- ter i dette	11	8	<5-39	2027	1500-2500
Gabbroide berg- arter (fra Jotundekket)	5	313	<5-839	90	23-140

Ultramafittene innenfor Jotundekket har i gjennomsnitt litt mer Cu enn alpin-type ultramafittene (i kambrosilur-områder og

innenfor Gneiskomplekset). Til gjengjeld har de sistnevnte i snitt tre ganger høyere nikkelinhold enn den første gruppen. Gehaltene av Cu og Ni i serpentinkonglomeratene tyder (isolert sett) på at disse er derivert fra alpin-type ultramafitter.

Betraktes alle analysene under ett finner man at når Cu øker avtar Ni om enn ikke proporsjonalt. Dette gjelder altså analyser fra alle ultramafittene på tvers av grupperingen i Jotundekkets ultramafitter, ultramafitter i kambro-siluren, ultramafitter i Gneiskomplekset og serpentinkonglomeratene.

Sammenlignes videre bergartstype med Cu- og Ni-innhold finner man også der en klar sammenheng og igjen på tvers av skillet mellom de nevnte grupper.

De mest olivinrike bergartene, dunittene, er de klart rikeste på nikkel og fattigste på kobber. Det meste av dette nikkel er silikatbundet og substituerer for Mg i olivinen. 2 000 ppm Ni er en vanlig Ni-gehalt og <5 ppm Cu er en vanlig Cu-gehalt i en magnesiumrik alpin-type dunitt. Jotundekkets dunitter har et noe lavere nikkelinhold (ofte ca. 1 300 ppm Ni) på grunn av den relativt høye fayalitt-komponenten i olivinen, men kobberinnholdet er like lavt som i de øvrige dunitter. Dette forholdet endrer seg ikke vesentlig til å begynne med når vi går fra dunitt mot gradvis Ca- og Si-rikere bergarter: først harzburgitt, deretter via lherzolitt og wehrlitt til olivinwebsteritt og websteritt. Først når vi kommer til olivinfattige (<5% olivin) eller olivinfri websteritter (pyroksenitter) kan vi sporadisk i analysemateriallet iaktta at kobberinnholdet øker markert. Nikkelinnholdet har derimot avtatt gradvis gjennom den nevnte bergartssekvensen proporsjonalt med olivininnholdet.

Mens det meste av nikkelet som nevnt er silikatbundet, ser det ut som om en betydelig del av kobberet er sulfidbundet. Kobber ble også observert i gedigen tilstand.

Slip av den kobberrikeste prøven (pr. 150) med 0,15% Cu viser et avgjort større areal (volum) av sulfidmineraler (her mest

kobberkis) i dette slipet enn i de fleste av de øvrige slipene. Bekreftende svovelanalyser er imidlertid ikke utført.

Innholdet av nikkelsulfider synes derimot å være mye mindre enn det totale nikkelinholdet i bergarten. Ofte er det slik at de mest omvandlete ultramafittene (serpentinitt og kleberstein) har det høyeste innholdet av nikkelsulfider (bedømt på grunnlag av mikroskopering). Det må da antas at svovel er tilført fra sidebergartene under metamorfose av ultramafittene. Nikkelsulfidene (vesentlig pentlanditt og heazlewooditt) blir derfor å oppfatte som sekundærmineraller dannet samtidig med de sekundære silikat-mineralene (serpentin, talk og kloritt). Opptreden av svovelkis er ganske vanlig i kleberstein og særlig i klorittskifer som ligger rundt kleberforekomstene, men helt uvanlig i friske, uomvandlete ultramafitter. Dette støtter antagelsen om at svovel i de nevnte sterkt omvandlete ultramafittene er tilført fra sideberget.

#### Sulfidparagenesens forhold til omvandlingsgraden av silikatene og tilgjengeligheten av svovel.

I finsk Lappland er det i de senere år foretatt en meget omfattende undersøkelse av ultramafiske bergarter. Her gjengis noen av resultatene fra den finske undersøkelsen og en sammenligning med resultater fra denne undersøkelsen. Resultater fra den finske undersøkelsen er publisert bl.a. i (Papunen et al. 1977) og (Papunen 1982).

Den magmatiske sulfidparagenese i nikkel-kobbermalmer er magnetkis (po) - pentlanditt (ptl) - kobberkis (cp) pluss eventuelt kubanitt. Malmene tilknyttet ultramafiske - gabbroide vertsbergarter har vanligvis et høyere Cu/Ni-forhold enn malmer tilknyttet rent ultramafiske vertsbergarter. I første tilfelle er innholdet av sulfidbundet kobber ofte høyere enn innholdet av sulfidbundet nikkel, mens innholdet av sulfidbundet Ni som regel er større enn sulfidbundet Cu i siste tilfelle. De aller fleste ultramafiske bergarter i Norge er sulfidfattige. Under metamorfose frigjøres Ni når olivin omvandles til serpentin. Hvis det er

ekstremt lite svovel tilstede i ultramafitten dannes legeringen awaruitt ( $\text{Ni}_3\text{Fe}$ ) av det frigjorte nikkelet. Er det derimot litt S tilstede dannes heazlewooditt ( $\text{Ni}_3\text{S}_2$ ) og ev. pentlanditt eller milleritt ( $\text{NiS}$ ) og ev. pentlanditt. Ved en ytterligere økning av svovelinnholdet opptrer først bare pentlanditt alene, men fra en viss grense dannes det ikke mer ren ptl, men istedet assosiasjonen pentlanditt/magnetkis.

På grunn av at pentlanditten har stor krystallisjonskraft kan mineralet dannes selv om det er svært lite svovel tilstede, dvs. til og med sammen med awaruitt. Vi får da følgende metamorft betingete nikkelsulfidparageneser med økende svovelinnhold i bergarten:

aw - aw/(ptl) - hz/ptl (ev. mill/ptl) - ptl - ptl/po  
økende S-innhold  $\longrightarrow$

hvor

aw: awaruitt, hz: heazlewooditt, mill: milleritt.

Fra Finland er det kjent eksempler på ultramafitter som viser sonering bestående av et kjerneparti av serpentinit med assosiasjonen hz/ptl, et mellomparti av metaperidotitt med ptl og ytterst en randsone av metapyroksenitt med ptl/po (Papunen 1982, s. 383). I andre tilfeller er det de mest ultrabasiske bergartene (serpentinit) som fører så mye svovel at mineralselskapet ptl/po oppstår.

Det er sjelden mye magmatisk svovel i de mest ultrabasiske bergartene som dunitt, harzburgitt, etc. Det er vanligvis først i noe mer  $\text{SiO}_2$ -rike bergarter som lherzolitt, wehrlitt, pyroksenitter og gabbroide bergarter vi finner nikkelsulfidmineraler anriket i så store mengder at det blir malmforekomster.

I dunitt og de mest basiske peridotitter og deres metamorfe utgaver serpentinit og metaperidotitter kan man stort sett vente å finne sulfidnikkelmineraliseringer dannet vesentlig eller utelukkende av svovel introdusert fra ultramafittenes sidebergarter. De sulfid-

forekomster som er funnet i slike ultramafitter består med få unntak (bl.a. Hitura, Finland) av en fattig ikke-økonomisk eller subøkonomisk impregnasjon av nikkelsulfider.

I Nordgudbrandsdalen fører flere av ultramafittene det favorable mineralselskapet ptl/po. Det gjelder både dunitter, peridotitter og pyroksenitter mer eller mindre metamorft omdannet (se tegning 1709D - 27). Mineraliseringene er likevel så svake at det ikke er grunn til å foreta oppfølgingsundersøkelser med tanke på nikkel-kobbermalmer.

#### Arsenider

Fra den finske undersøkelsen (Papunen 1982, s. 383) er det kjent at arsenmineraler gjerne opptre i karbonatomvandlete ultramafitter. I Nord-Gudbrandsdalen ble arsensulfid kun bestemt i ett tilfelle og da i en karbonatomvandlet ultramafitt (kleberstein).

I slip nr. 191 fra Haverdalen, Dovre bestående av 50-60% talk, 40% magnesitt og < 5% kloritt ble observert et helt uvanlig sterkt reflekterende mineral Korn. Mineralfasen ble undersøkt ved hjelp av mikroskop, og det viste seg da at det var gersdorffitt med sammensetning  $(Ni_{0,87} Co_{0,17} Fe_{0,15}) As_{1,15} S$ .

#### 4) Olivinstein, edelserpentin og magnesitt

##### 4.1. Olivinstein -----

Rene olivinsteinsforekomster tilsvarende de sunnmørske er ikke observert innenfor prosjektområdet. De bergartene som kommer nærmest ren olivinstein, fører enten litt pyroksen ved siden av olivinen, eller de er svakt serpentinisert eller fortalket. Slike forekomster fins det imidlertid mange av innenfor Nord-Gudbrandsdalen.

Eksempler på slike er (se Tegn. 1709/D - 24 og 25):

- et stort antall av ultramafittene innenfor Gneiskomplekset (Dørkampen, Høggøyen, Grotli, Rauddalsvatnet, Liavatnet, med flere)

- flere små ultramafitter innenfor Jotundekket (ved Gjende, Heranoshø, Juvvatnet, Smådalen, Skautflyi i Veodalen med flere)
- partier innenfor enkelte av ultramafittene i kambro-siluren (Haverdalen, Grimsdalen, Skamsdalen)

I tilfelle noen av disse forekomstene skulle vise seg å være rene nok for teknisk anvendelse vil de sannsynligvis være for små og transportøkonomisk ligge for ugunstig til for en lønnsom drift på olivin som hovedprodukt eller eneprodukt.

#### 4.2. Edelserpentin

Serpentinitt som benyttes til bord- og benkplater, gulv- og veggfliser, fasadestein og prydgjenstander på grunn av de vakre fargespill og strukturer som fremkommer på sagede og polerte flater av bergarten, betegnes som edelserpentin. Denne serpentinitten består vesentlig av antigoritt pluss eventuelt små mengder magnesitt, kloritt og talk. Slik serpentinitt fins sannsynligvis innenfor serpentin-konglomeratet og enkelte av ultramafittene i kambro-siluren, men det er i dette prosjektet ikke arbeidet spesielt med å finne serpentinitt med egenskaper som berettiger til betegnelsen edelserpentin. Serpentin-konglomeratet ved Dalen gård (Vågåmo), ved Ormhaugen (Flatningen) og ved Tristeinen (Tesse) - Megardsåsen - Reiggehaugen kan muligens ett eller flere steder være egnet for sagede og polerte produkter. Lars Nørgård Jensen (1981) som har gjort geologiske undersøkelser på kartblad Vågå, mener at serpentin-konglomeratet ved Tristeinen bør brytes for framstilling av fasadeplater.

#### 4.3. Magnesitt

Magnesitt forekommer i de sterkest omvandlede ultramafittene. Rene magnesittpartier er ikke funnet i Nord-Gudbrandsdalen. Minerallet er observert bl.a. sammen med talk og tremolitt i Lesjehorngene, sammen med talk i Haverdalen og sammen med talk og

kloritt i serpentinkonglomeratet i strøket Otta-Lalm-Sel. Med tanke på utnyttelse er kjemiske analyser nødvendig for å fastslå magnesittens renhet fordi Ca og Fe ofte inngår i karbonatet i små mengder. Undersøkelser av magnesitt i kleberstein fra Lesje-horrungane, Dalen gård ved Vågåmo, Ormhaugen syd for Vågåmo og området SV for Otta viste FeO-innhold i området 2-5 vekt-% (unntaksvis helt opp i 9%).

5) Hovedkonklusjon

Undersøkelsene har ikke resultert i funn av malmer eller mineraliseringer som bør følges opp med videre detaljundersøkelser.

Det innsamlete og bearbejdede materialet er relativt stort og best egnet for videre arbeid med ikke-økonomiske problemstillinger.

Trondheim, 10. mars 1984  
Norges geologiske undersøkelse  
Berggrunnsavdelingen

*Lars Petter Nilsson*

Lars Petter Nilsson  
statsgeolog

Referanser

- Batthey, H. og W.D. Mc Ritchie 1975: The petrology of the pyroksene-granulite facies rocks of Jotunheimen, Norway. *Nor. Geol. Tidsskr.*, Vol. 55, 1-49.
- Barkey, H. 1968: Foreløpig geologisk oversiktskart, profiler og beskrivelse over Jotunheimen. Rapport til NVE-Statskraftverkene. NGU oppdrag nr. 817.
- Barkey, H. 1969: Geologiske kart over områdene Skjåk/Sygnefjell, Jostedal/Mørkrid/Rauddal og Grotliområdet. Vest-Jotunheimen, Norge. Kartlagt for NVE Statskraftverkene i 1968 av NGU Geofysisk avdeling. NGU oppdrag nr. 817.
- Barkey, H. 1970: Geologisk kart over området for de planlagte østre Jotunheimen anleggene. Kartlagt for NVE-Statskraftverkene i 1969 av NGU-Geofysisk avdeling. NGU oppdrag nr. 895.
- Bjørlykke, K.O. 1905: Det centrale Norges Fjeldbygning. *Nor. geol. unders.* 39, 595 s.
- Bruton, D.L. og D.A.T. Harper 1981: Brachiopods and trilobites of the early Ordovician serpentine Otta Conglomerate, south central Norway. *Nor. Geol. Tidsskr.* 61, 153-181.
- Carstens, C.W. 1918: Norske peridotitter I. *Nor. Geol. Tidsskr.* 5, 29-41.
- Crocket, J.H. 1979: Platinum-Group. Elements in Mafic and Ultramafic Rocks: A Survey. *Canadian Mineralogist*, Vol. 17, 391-402.
- Donath, M. 1962: Die Metallischen Rohstoffe, 14. Band: Chrom. F. Enke Verlag, Stuttgart.
- Engzelius, J.G. 1940: Diplomoppgave, NTH, Trondheim.
- Evans, A.M. 1980: An introduction to ore geology. *Geoscience Texts*, Vol 2. Blackwell scientific publications, London. 231 s.

- Falck-Muus, R. 1957: Krommalforekomstene øst for Røros. Tidsskrift for Kjemi, Bergvesen og Metallurgi, nr. 5, 6, 7 og 8.
- Fominykh, V.G. og Khvostova, V.P. 1970: Platinum content of Ural dunit. Dokl. Acad. Sci. USSR, Earth Sci. Sect. 191, 184-186.
- Foslie, S. 1925: Syd-Norges gruber og malforekomster. Nor. geol unders. 126, 86 s. pluss kart.
- Foslie, S. og Johnson M. Høst 1932: Platina i sulfidisk nikkelmalm. Nor. geol. unders. 137, 71 s.
- Guezou, J.C. 1979: Berggrunnsgeologisk kart 1419 II Dombås. Manuskript-kart. Nor. geol. unders., Kartarkivet.
- Heim, H. 1971: Berggrunnsgeologisk kart 1519 III Hjerkin. Manuskript. Nor. geol. unders., Kartarkivet.
- Helland, A. 1873: Kromjernsten i Serpentin. Chr. Vid.- Selsk. Forh., 19 s. + 1 plansje.
- Helland, A. 1893: Tagskifre, heller og vekstene. Nor. geol. unders. 10, 178 s.
- Holmsen, T. 1961: Befaring av Klebersteinsforekomster ved Sotafjell i Skjåk. Nor. geol. unders., Bergarkivet, rapport nr. 5618, 1 s. + kartskisse.
- Holtedahl, O. og Dons, J.A. 1960: Geologisk kart over Norge. Berggrunnskart. Nor. geol. unders. 208.
- Hultin, I. 1966: Geologisk undersøkelse av kleberstein, Lom kommune, Oppland. Oppdragsnummer 732. Nor. geol. unders., Bergarkivet, rapport nr. 5961, 10 sider + 5 kartbilag.
- Hysingjord, J. 1962: Kleberstensforekomst ved Lillesæterberget, Heidal. Nor. geol. unders., Bergarkivet, rapport nr. 5549, 2 s.

- Iversen, E. 1979: Foreløpig feltrapport over kartlegging på kartblad 1618 I Vågå, sommeren 1979. *Nor. geol. unders.*, Kartarkivet nr. 128/79. 10 s. + 3 kart.
- Iversen, E. 1980: Berggrunnsgeologisk kart 1618 I Vågå. Manuskriptkart. *Nor. geol. unders.*, Kartarkivet.
- Jensen, M.L. og Bateman A.M. 1981: Economic Mineral Deposits. John Wiley and Sons, New York, 593 s.
- Jensen, L.N. 1981: Feltrapport over kortlægning på kortblad 1618 I Vågå sommeren 1981. 42 s. + 1 tekstbilag + 19 kartbilag. *Nor. geol. unders.*, Intern rapport under Nord-Gudbrandsdalsprogrammet.
- Kvalheim, A. 1938: Ad. statsstøtte til Joh. O. Øverli for kromjernfeltene på Dovre. *Nor. geol. unders.*, Bergarkivet, rapport nr. 1623, 8 s.
- Lunde, G. og Johnsen, M. 1928: Vorkommen und Nachweis der Platinmetalle in norwegischen Gesteinen II. Zeitschr. f. anorg. u. allgem. Chem. 172, 167-195.
- Murthy, S.R.N. 1973: Petrochemistry and origin of the Raudhamaren ultramafites, Jotunheimen. Nor. geol. unders. 300, 41-52.
- Moore, A.C. og Qvale, H. 1977: Three varieties of alpine-type ultramafic rocks in the Norwegian Caledonides and Basal Gneiss Complex. Lithos 10, s. 149-161.
- Naldrett, A.J., Hoffmann, A.H. Green, Chou, C.- L. and Naldrett S.R. 1979: The composition of Ni-sulfide ores, with particular reference to their content of PGE and Au. Canadian Mineralogist 17, 403-415.
- Norges geotekniske institutt 1973: Nedre Otta, Lalm-Harpefoss. Ingeniørgeologisk kart med profiler. Oppdragsnr. 72613, Tegn. nr. 001.

- Papunen, H. Idman, H., Ilvonen, E. Neuvonen, K.J. Pihlaja, P. og Talvitie, J. 1977: Lapin ultramafiiteista. Summary: The ultramafics of Lapland. Geological Survey of Finland, report of Investigation No. 23. 87 s.
- Papunen, H., Idman, H. 1982: Ultramafic rocks and related ore minerals of Lapland, Northern Finland. I Amstutz, G.C. et al. (red.), Ore genesis. The state of the art, 374-386. Springer Verlag, Berlin.
- Poulsen, A.O. 1949: Krommalm i Norge. Nor. geol. unders., Bergarkivet, rapport nr. 299.
- Poulsen, A.O. 1960: Exploitation of mineral raw materials in Norway. I Holtedahl, O. (red.), Geology of Norway. Nor. geol. unders. 208, 532-540.
- Rekstad, J.B. 1904: Fra det nordøstlige af Jotunfjeldene. Nor. geol. unders. 37, 24 s. + 7 pl.
- Santarelli, N. 1979: Berggrunnsgeologisk kart 1419 III Lesjaskog. Manuskriptkart. Nor. geol. unders. Kartarkivet.
- Smith, H.H. 1941a: Sammanställning över en del analyser. Nor. geol. unders., Bergarkivet, unummerert, 1 s.
- Smith, H.H. 1941b: Rapport över Dovre krommalm gruvor. Nor. geol. unders., Bergarkivet, rapport nr. 3922, 9 s. + bilag.
- Smith, H.H. 1941c: Rapport över krommalm gruvor. Lesja. NGU-Bergarkivet rapport nr. 3933, 6 s.
- Stadheim, J. 1939: Rauhaugen (Skjåk). Nor. geol. unders., Bergarkivet, rapport nr. 5410, 2 s.
- Stadheim, J. 1941: Rauhaugen talkforekomst. Nor. geol. unders., Bergarkivet rapport nr. 5027, 2 s.

- Strand, T. 1940: Kleberforekomster i Heidal. Nor. geol. unders., Bergarkivet, rapport nr. 5457, 2 s.
- Strand, T. 1951: The Sel and Vågå map areas. Nor. geol. unders. 178, 117 s.
- Strand, T. 1968: Berggrunnsgeologisk kart F29 vest, Sel. Manuskriptkart. Nor. geol. unders. Kartarkivet.
- Strand, T. 1969: Geology of the Grotli area. Nor. Geol. Tidsskr. 49, 341-360.
- Strand, T. 1970: On the mode of formation of the Otta serpentine conglomerate. Nor. Geol. Tidsskr. 50, 393-395.
- Streckeisen, A. 1973: Classification and Nomenclature of Plutonic Recommendations. Neues Jahrbuch für Mineralogie, Monatshefte. Heft 3, s. 149-164.
- Sverdrup, T.L. 1962: Rapport etter befaring av klebersteinsforekomst syd for Dombås, Dovre herred, Oppland fylke. Nor. geol. unders., Bergarkivet, rapport nr. 5535, 2 s.
- Tveten, E. 1980: Berggrunnsgeologisk kart 1718 IV Otta. Manuskriptkart. Nor. geol. unders.
- Vogt, J.H.L. 1905: Om relationen mellem størrelsen af eruptivfelterne og størrelsen af de i eller ved samme optrædende malmutsondringer. Nor. geol. unders. 43, 20 s.
- Wolff, F.C. og Roberts, D. 1980: Geology of the Trondheim region. I Wolff, F.C. (red.). Excursions across part of the Trondheim region, central Norwegian Caledonides. Nor. geol. unders. 356, 117-128.

Prøvenr.	Lokalitetsnavn	Kartblad (nr. og navn)	UTM-koordinat	Kartutsnitt tegning nr.	Bergartsbetegnelse (nomenklatur etter Streckeisen for uomvandlete bergarter)	Utført kjemisk analyse *	Slip T=Tynnslip P=Polderslip K=Kambislip S=Stort tynnslip
N 1	Raudhamaren, Leirungsdalen	1617 IV Gjende	8690/1065	1709 -01	olivinwebsteritt cpx>opx>ol	*	K
Å 2	Raudhamaren, Leirungsdalen	"	8675/1095	-01	dunitt m. litt grønn spinell	*	K
N 3	0,7 km vest for Memurubu, Memuru- dalen	"	7975/1760	-02	mangeritt (metamorf augittsyenitt)	-	K
Å 4	0,6 km vest for Memurubu, Memuru- dalen	"	9780/1950	"	pyroksen-hornblende-peridotitt ol>hbl>opx	*	K
N 5	liten kul, 1484m høyde, sydskrån- ingen av Raudham- ran, Memurudalen.	1618 III Veo- dalen	7655/1900	"	pyroksen-hornblende-peridotitt ol>hbl>cpx>opx	*	K
Å 6	"	"	7660/1895	"	olivin-hornblende-pyroksenitt cpx>opx>hbl>ol	-	K
N 7	vestskråningen av Raudhamran 1893m Memurudalen	"	7565/1995	"	harzburgitt m. symplektittdann- else ol>opx>symp. (ol+pyr)	*	K
Å 8	"	"	7565/1995	"	granatførende hbl-feltspatgang feltspat>hbl.	*	K
N 9	"	"	7570/2000	"	sterkt symplektittomvandet klinopyroksenitt	-	K
Å 10	"	"	7580/2010	"	lherzolitt ol>cpx>opx	*	K
N 11	"	"	7675/1970	"	gabbroid bergart (jotun-noritt el. mangeritt) feltspat>hbl+cpx	-	K
N 12	Gjendeshø	1617 IV Gjende	8956/1768	-01	pyroksen-hornblende-peridotitt ol>hbl>opx	*	K
N 13	"	"	8962/1758	"	flogopittførende pyroksen-horn- blendeperidotitt ol>hbl>opx>flogopitt	*	K
N 14	"	"	8971/1721	"	olivin-hornblende-pyroksenitt hbl>cpx>ol>opx	*	K
N 15 (løsblokk)	Skautflyi, over- gangen mellom Veodalen og Vis- dalen	1618 III Veo- dalen	7410/3030	-03	dunitt/lherzolitt ol>>cpx>opx>sek.silikater	-	K
N 16	"	"	7490/3180	"	pyroksen-hornblende-peridotitt ol>opx>hbl	*	K
N 17	"	"	7540/3140	"	klinopyroksenitt med begynnende hbl-dannelse cpx>>hbl>opx	*	K
N 18	"	"	7540/3140	"	dunitt/pyroksen-hbl-peridotitt ol>>hbl>opx	*	K
N 19 (løsblokk)	"	"	7545/3140	"	grovkornet pyroksen-hbl-perido- titt ol>hbl>opx	-	K
N 20	1,5 km nord for Glitterheim, Veodalen	"	8070/3410	"	lherzolitt ol>opx>cpx	*	K
Å 21	1,5 km nord for Glitterheim, Veodalen	1618 III Veo dalen	8070/3410	"	jotun-noritt maf.>feltspat (antipertitt)	*	K
Å 22	"	"	"	"	jotun-noritt	-	-

Utført kjemisk analyse \*

Slip  
 T=Tynnslip  
 P=Polerslip  
 K=Kombislip  
 S=Stort  
 tyvnslip

Prøvenr.	Lokalitetsnavn	Kartblad (nr. og navn)	UTM-koordinat	Kartutsnitt tegning nr.	Bergartsbetegnelse (nomenklatur etter Streckeisen for omvandlete bergarter)		
Å 23	1,5 km nord for Glitterheim, Veodalen	1618 III Veo- dalen	8070/3410	-03	olivinwebsteritt opx<opx>ol	-	K
Å 24	"	"	"	"	peridotitt og pyroksenitt i veksellagring	-	-
Å 25	"	"	8100/3385	"	lherzolitt med begynnende horn- blendedannelse ol>opx<opx>hbl	*	K
Å 26	sydskråningen av Heranoshø	"	9055/3935	-04	olivinwebsteritt cpx>>opx<ol	*	K
Å 27	"	"	"	"	dunitt (med litt pyroksen) ol>>destruert cpx>>opx (aksess.)	*	K
Å 28	2 km VNV for Smådalseter, Smådalen	"	8380/4360	"	hornblendepyroksenitt cpx>>hbl>opx	*	K
Å 29	1,5 km NV for Smådalseter, Smådalen	"	8465/4425	"	symplektittomdannet jotun-noritt el. mangeritt feltspat>pyroksen	-	K
Å 30	"	"	"	"	symplektittomvandet jotun-noritt el. mangeritt feltspat>pyroksen	-	K
N 31	østskråningen av Blåhø 1841 m	1618 IV Lom	7800/4850	-04	svakt serpentinisert olivinrik lherzolitt ol>>serpentin>cpx<opx	*	K
N 32	"	"	"	"	smalt bånd av sek.omv. kline- pyroksenitt i nr. N 31 cpx>>sek.amfibol	-	K
N 33	"	"	7790/4845	"	klinopyroksenitt med begynnende hornblendedannelse cpx>>sek.hbl>opx	*	K
N 34	"	"	"	"	symplektittomvandet olivinrik peridotitt	*	K
N 35	"	"	7780/4780	"	svakt serpentinisert dunitt ol>>serpentin	*	K
N 36	Hovestulfjellet, Bøverdalen	1518 II Vis- dalen	5535/4060	-05	serpentinfliser	-	-
N 37	"	"	5550/4065	"	sterkt sek.omvandet peridotitt ~50 % karbonat ~50 % talk + kloritt	*	K
N 38	"	"	"	"	klorittbergart fra grensen ultramafitt-sideberg. apatittholdig	-	K
N 39	"	"	5555/4070	"	sterkt sek.omvandet dunitt 20-30 % karbonat 70-80 % kloritt + talk	*	K
N 40	"	"	5615/4145	"	delvis fortalket serpentinitt 60-70 % serp., 20-30 % talk + sek.amfibol	*	K
Å 41	"	"	5645/4200	"	sterkt serpentinisert dunitt 20-30 % olivin 60-70 % serpentin	*	K
Å 42	Åsårlien kleber- brudd (gamle brudd, nedlagt)	1718 IV Otta	2295/5370	-	Karbonatkrystall magnesitt/dolomitt	-	-
Å 43	Åsårlien kleber- brudd (brudd i drift)	"	2305/5365	-	kleberstein ~50 % karbonat (magnesitt/dolomitt) ~50 % talk <5 % kloritt	*	S

Prøvenr.	Lokalitetsnavn	Kartblad (nr. og navn)	UTM-koordinat	Kartutsnitt tegning nr.	Bergartsbetegnelse (nomenklatur etter Streckelsen for omvandlete bergarter)	Utført kjemisk analyse *	Slip
							T=Tynnslip P=Polerslip K=Kombislip S=Stort tyunslip
Å 44	Raudberget, Raudalsvatn, Skjåk	1518 IV Poll- foss	3695/6490	-06	svakt fortalket dunitt 70-80 % olivin ~20 % talk	*	K
Å 45	"	"	"	"	sekundært omvandlet ultramafitt 60-70 % kloritt m. litt sek. mt ~30 % olivin <10 % sek. amfibol	-	K
Å 46	"	"	3700/6490	"	serpentinisert og fortalket dunitt 50-60 % olivin 15-20 % serpentin 15-20 % talk <5 % kloritt	*	K
Å 47	"	"	3705/6485	"	svakt fortalket dunitt ~70 % olivin 20 % talk <5 % kloritt	*	K
Å 48	"	"	"	"	fortalket dunitt 60-70 % olivin 30-40 % talk < 5 % sekundær amfibol	-	K
Å 49 (løsblokk)	"	"	"	"	talk og klorittomvandlet peri- dotitt 50-60 % olivin + noe rester av pyroksen 20-30 % talk } intimt assosiert 20-30 % kloritt }	-	K
Å 50	"	"	"	"	sterkt fortalket harzburgitt ~80 % talk 5% kloritt < 5 % opx-resten 10-15% sek.amfi- bol	*	K
N 51	"	"	3695/6480	"	magnetittansamling i fortalket dunitt ~70 % magnetitt ~15 % olivin ~15 % talk	-	K
N 52	"	"	"	"	magnetittansamling i fortalket dunitt ~70 % magnetitt ~15 % olivin ~15 % talk	-	K
N 53 (løsblokk)	"	"	3675/6500	"	svakt talk og klorittførende dunitt 80-90 % olivin 5-10 % talk ~5 % kloritt	-	-
N 54	Raudhøgda, Lia- vatnet, Skjåk	"	3635/5660	-07	svakt talk og klorittførende dunitt 80-90 % olivin 5-10 % talk ~5 % kloritt	*	K
N 55	"	"	3635/5655	"	talk, kloritt og amfibolførende dunitt 60-70 % rekrystallisert(?) olivin ~20 % talk ~10 % kloritt ~5 % sek.amfibol (antofyllitt)	*	K
N 56	"	"	3640/5655	"	talk og karbonatomvandlet peri- dotitt 30-40 % olivin <10 % pyroksenrelikter ~40 % talk ~20 % karbonat	-	K
N 57	"	"	"	"	sterkt fortalket ultramafitt (kleber) > 90 % talk 5-10 % kloritt	*	K

Prøvenr.	Lokalitetsnavn	Kartblad (nr. og navn)	UTM-koordinat	Kartutsnitt tegning nr.	Bergartsbetegnelse (nomenklatur etter Streckeisen for uomvandlete bergarter)		Slip T=Tynnslip P=Polerslip K=Kombislip S=Stort tynnslip
N 58	1,5 km vest for Raudhøgda, Lia-vatnet, Skjåk	1518 IV Poll-foss	3490/5685	-07	sterkt sek.omvandlet harzburgitt ~10 % opx-relikter 10-15 % finkornet olivin 30-40 % talk ~40 % magnesitt	*	K
N 59	Krosshø 1805 m, nord for Grotli, Skjåk	1319 III Tafjord	2965/8160	-08	pyroksen og hornblendrik gang i ultramafittkuppe 40-50 % opx 30-40 % hbl ~5 % oksyder < 10 % feltspat	-	K
N 60	"	"	"	"	olivinorthopyroksenitt delvis sek. omvandlet 40-50 % opx 10-20 % olivin 15-20 % talk 10-15 % kloritt 5-10 % sek. amfibol	-	K
N 61	"	"	2950/8175	"	fortalket og klorittisert dunitt med kromittåre ~50 % olivin 5-10 % opx ~25 % talk ~25 % kloritt	-	K
N 62	"	"	"	"	delvis fortalket dunitt 50-60 % olivin ~5 % opx 30-40 % talk < 5 % kloritt	*	K
N 63	"	"	"	"	fortalket og klorittomvandlet harzburgitt ~30 % olivin ~20 %? opx-relikter? ~20 % kloritt ~10 %?sek.amfibol ~20 % talk	-	S
N 64	"	"	2945/8165	"	fortalket og klorittomvandlet harzburgitt ~30 % olivin ~20 %? opx ~30 % talk ~20 % kloritt	*	K
N 65	"	"	2970/8060	"	fortalket og klorittomvandlet harzburgitt ~30 % olivin < 10 % opx 40-50 % talk 10-15 % kloritt	*	K
N 66	Dørkampen, Skjåk	1319 II Toksvatnet	4715/8635	-09	krommalm. gangmineraler: oksyder:andelen ~40 % olivin sek. oksyder>> ~40 % talk uomvand. kromitt ~20 % kloritt	-	K
N 67	"	"	"	"	dels fortalket og rekrystallisert dunitt/harzburgitt ~60 % olivin < 5 % opx 30-40 % talk < 5 % kloritt	*	K
N 68	"	"	4720/8640	"	krommalm m. noe uomvandlet kromitt i kjernen av oksydkornene; gangmineraler: opx og talk	-	K
N 69	"	"	4720/8635	"	krommalm gangmineraler: oksyder: ~30 % olivin < 5 % opx bare sek. ~30 % talk oksyder ~30 % magnesitt < 5 % kloritt	*	K

Prøvenr.	Lokalitetsnavn	Kartblad (nr. og navn)	UTM-koordinat	Kartutsnitt tegning nr.	Bergartsbetegnelse (nomenklatur etter Streckeisen for uomvandlete bergarter)	Utført kjemisk analyse *	Slip T=Tynnslip P=Polerslip K=Kambislip S=Stort tynnslip
N 70	Hæggøyen, Skjåk	1319 II Torsvatnet	4315/8395	-09	svakt fortalket og klorittisert dunitt > 80 % olivin 5-10 % talk < 5 % kloritt	*	K
N 71 (løsblokk)	"	"	"	"	krommalm	-	-
A 72	Kjerringtjørne, 3 km NV for Grotli, Skjåk	1319 III Tafjord	2710/7960	-08	sterkt sek.omv. peridotitt/pyroksenitt 10-15 % opx-relikter 80-90 % sek.min. herav ~10% talk	-	K
A 73	"	"	"	"	fortalket og klorittisert orthopyroksenitt ~40 % opx 40-50 % talk 10-20 % kloritt	*	K
A 74	"	"	2705/7950	"	fortalket og klorittisert orthopyroksenitt	-	-
A 75	"	"	"	"	svakt fortalket og klorittisert harzburgitt	-	-
A 76	Kjerringtjørne, 2,5 km NV for Grotli, Skjåk	"	2710/7895	"	sterkt sek. omv. ultramafitt hovedmin.: talk og kloritt	-	-
A 77	"	"	"	"	fortalket og klorittisert harzburgitt ~50 % rekryst. fink. olivin 20 % grovk, olivin + opx? 15-20 % talk ~5 % opx-relikter 5-10 % kloritt	*	K
A 78	"	"	"	"	serpentinisert(?) og fortalket ultramafitt	-	-
A 79	Ottas elvefar, 750 m syd for Grotli, Skjåk	"	2855/7595	"	fortalket og klorittisert harzburgitt 60-70 % fink. olivin ~5 % magnesitt 15-20 % talk 10-15 % kloritt	*	K
A 79A	"	"	"	"	fortalket og klorittisert orthopyroksenitt	-	-
N 80	Veslefjell, VNV for Billingen, Skjåk	1319 II Torsvatnet	3540/7840	"	svakt fortalket og klorittisert harzburgitt 70-80 % olivin 10-20 % opx ~5 % talk ~5 % kloritt < 5 % magnesitt	*	K
N 81	"	"	3525/7835	-08	grovkornet tremolittbergart (tremolitt i radiære aggregater)	-	-
N 82	"	"	3530/7855	"	glimmergneis nær kontakten til ultramafittkuppen	-	-
N 83	"	"	"	"	kontaktbergart (grovkrystallinsk amfibol-biotittbergart)	-	-
N 84	"	"	"	"	kontaktbergart (biotittrik bergart)	-	-
N 85	"	"	3545/7840	"	asbestgang (serpentinast)	-	-
N 86	Bårstad, Lalm (gammelt kleberbrudd, nedlagt)	1718 IV Otta	1560/5595	-	kleberstein 65-70 % talk 30-35 % magnesitt < 5 % kloritt ~5 % dissem. kromitt + sek.mt.	*	K

Prøvenr.	Lokalitetsnavn	Kartblad (nr. og navn)	UTM-koordinat	Kartutsnitt tegning nr.	Bergartsbetegnelse (nomenklatur etter streckeisen for uårvandlete bergarter)	ert kjemisk analyse *	
N 87	Raudberget, Rauddalsvatn, Skjåk	1518 IV Poll-	3705/6485	-06	talk og klorittomvandlet peridotitt 30-40 % olivin < 10 % opx? 15-20 % talk ~10 % kloritt 20-30 % sek.amfibol	-	K
N 88	"	"	"	"	talk og klorittomvandlet harzburgitt/pyroksenitt ~60 % opx og olivin 15-20 % talk ~5 % sek. amfibol 15-20 % kloritt	-	S
N 89	Asårlien kleberbrudd (gammelt brudd, nedlagt)	1718 IV Otta	2295/5370	-	klorittrik kleberstein 50-60 % talk 30-40 % kloritt ~10 % magnesitt	-	K
N 90	Skamsdalen, Lesja	1419 I Stor-skrynten	0380/0690	-10	delvis talk-, kloritt- og magnesittomvandlet serpentinit	-	K
N 91	Skamsdalen, Lesja (nordsiden av Langvassbekken, ved søndre gruveåpning)	"	0395/0710	"	serpentinisert dunitt 60-70 % olivin 30-40 % serpentin	-	K
N 92	"	"	"	"	serpentinisert dunitt 30-40 % olivin 60-70 % serpentin	*	K
N 93	Skamsdalen, Lesja (søndre gruveåpning)	"	"	"	krommalm;gangmineral: 100 % kloritt	-	K
N 93B	"	"	"	"	krommalm;gangmineral: 100 % kloritt	-	K
N 94	Nysetri, Lesja (liten kuppe)	1419 II Dom-bås	9520/9590	-11	sek.omv. ultramafitt(kleber) 30-40 % talk 30-40 % magnesitt 5-10 % kloritt ~5 % sek.amfibol 10-15 % antofyllittfliser og vifter	*	K
N 95	Nysetri, Lesja (Olstad kromgruver)	"	9525/9620	"	serpentinisert, klorittisert harzburgitt 15-20 % olivin 50 % serpentin + kloritt ~10 % karbonat (magn?) 15-20 % opx	-	K
N 95B	"	"	"	"	sek. omv. ultramafitt (kleber) 25-30 % talk 25-30 % kloritt 10-20 % akt./trem./antofyllitt 25-30 % magnesitt	-	S
N 96	"	"	9530/9635	"	amfibolholdig serpenisert dunitt 60-70 % olivin ~30 % serpentin < 1 % opx ~5 % antofyllitt	*	K
N 97	"	"	9540/9645	"	krommalm;gangmineraler: ~50 % kloritt (type 1)Cr-holdig 20-40 % kloritt (type 2)perennia ~5 % opx ~5 % olivin ~5 % serpentinfliser	-	K
N 98	"	"	9535/9615	"	serpentinisert dunitt med kromittimpregnasjon	-	-
N 99	Kollen, Tandseterfeltet, Lesja	"	9210/9525	"	sek.omv. grovkornet ultramafitt 40-50 % fink. talk-klorittaggregat 15-20 % talk ellers 20-25 % kloritt ellers ~10 % trem.-akt. < 5 % magnesitt	*	K

Prøvenr.	Lokalitetsnavn	Kartblad (nr. og navn)	UTM-koordinat	Kartutsnitt tegning nr.	Bergartsbetegnelse (nomenklatur etter Streckeisen for uomvandlete bergarter)	*	
N 100	Tandseterfeltet, Lesja	1419 II Dom- bås	9275/9530	-11	sek.omv. ultramafitt 10-20 % tremolitt-aktinolit ~40 % talk ~40 % kloritt	*	K
N 101	"	"	9280/9535	"	sek.omv. ultramafitt ~50 % grovk. tremolitt-aktinolit inkl. ev. litt antofyllitt 30-40 % magnesitt 10-20 % talk	*	K
N 102	"	"	"	"	karbonatrik kleberstein 40-50 % magnesitt 30-40 % talk 10-20 % kloritt	-	K
N 103	Tandseterfeltet, Lesja, (ved mastfundament, øvre kraftlinje)	"	9285/9585	"	serpentinisert olivinrik ultra- mafitt med amfibolnåler som delvis er gått over til talk. ~40 % olivin ~40 % serpentin 5-10 % talk 5-10 % amfibol (akt-trem/anto- fyllitt)	*	K
N 104	Tandseterfeltet, Lesja	"	9385/9610	"	talk-, kloritt- og magnesittom- vandlet olivinrik ultramafitt ~40 % olivin ~30 % talk ~20 % kloritt 5-10 % karbonat (magnesitt/dol)	-	K
T 1	Klefstadlykkja, Nord-Fron	1718 II Vin- stra	3845 4520	-	Kleberstein 65-70 % talk 30-35 % magnesitt ~5 % kloritt <1 % rester av olivin+pyroksen	*	K
T 2	"	"	3845 4520	-	serpentinitt	*	-
4044	Raudhamran, Øvre Haverdalen, Dovre	1718 IV Otta	2980 7360	-	serpentinisert dunitt ~30 % olivin ~70 % serpentin	*	K
1321	Haldorpiggen, NV for Otta	"	2535 5430	-	serpentinitt med litt karbonat ~90 % fibrig serpentin ~10 % karbonat (magnesitt/dol)	*	K
LPN 110	Pollfoss, Skjåk (veiskjæring ved bru vest for hotellet, Ø-siden av Otta- elva)	1518 IV Poll- foss	4220/7040	-	hornblende- og muskovittførende gneis > 90 % kvarts + feltspat ~5 % hbl ~5 % muskovitt	-	K
LPN 111	Raudberget, Rauddalsvatn, Skjåk. (sydlige trapp, nederste plattform)	"	ca3685/ca6495	-06	>95 % aktinolit < 5 % hbl + biotitt	*	K
LPN 112	Raudberget, Rauddalsvatn, Skjåk (damkrone, nordlige til- slutning, ned- erste stige)	"	ca3685/ca6500	"	serpentinisert peridotitt med litt tremolitt-aktinolitnåler	-	-
LPN 113	NØ for Botnseter ca 4 km VNV for Pollfoss	"	ca3870/ca7200	-	stripet gneis	-	-
LPN 114 A	nordsiden av Grotlivatnet (veiskjæring langs RV 15)	1319 III Ta- fjord	3105/7625	-	granatbiotittgneis 60-70 % kvarts+feltspat ~30 % biotitt 5-10 % granat	-	T

Prøvenr.	Lokalitetsnavn	Kartblad (nr. og navn)	UTM-koordinat	Kartutsnitt tegn. nr.	Bergartsbetegnelse (nomenklatur etter Streckisen for uomvandlete bergarter)	Utført kjemisk analyse	Slip T=Tynnslip P=Polerslip K=Kombislip S=Stort tynnslip
LPN 114B	nordsiden av Grotlivatnet (veiskjæring langs RV 15)	1319 III Ta- fjord	3105/7625	-	granat-hornblende-biotittgneis ~60 % kvarts+feltspat 15-20 % biotitt 15-20 % hornblende < 5 % granat	-	K
LPN 115	nordskråningen av Skridulaupen 1962 m, Skjåk	1418 I Skridu- laupen	2695/7025	-	epidot-kalkspatbergart	-	-
LPN 116	syd for Hugu- vardtjern, Skjåk	"	3085/7020	-06	talk og magnesittomvandlet harz- burgitt ~50 % olivin 20-30 % opx 10-20 % talk 10-20 % magnesitt	*	K
LPN 117	"	"	"	"	svakt fortalket harzburgitt ~50 % olivin ~30 % opx 10-20 % talk << 5 % kloritt < 5 % magnesitt	*	K
LPN 118	Blankåhaugen, Skjåk	"	3180/7235	"	talk-, kloritt-og magnesittomv. harzburgitt > 70 % olivin < 10 % opx ~10 % talk ~10 % kloritt 5-10 % magnesitt	*	K
LPN 119	Fallingen, Nord- berg, Skjåk	1518 I Skjåk	5445/6540	-	pegmatittisk gneis	-	K
LPN 120	Rustakpiggen, Leirdalen	1518 II Vis- dalen	6220/4250	-	kvartsfyllitt 70-80 % kvarts+feltspat 20-30 % muskovitt ~5 % biotitt	-	K
LPN 121	"	"	"	-	svartskifer (kvarts-grafittskifer)- 20-30 % grafitt 60-70 % kvarts 5-10 % muskovitt < 5 % kloritt	-	K
LPN 122	Rustakpiggen, Leirdalen (vei- skjæring, øverste sving)	"	6235/4245	-	kvartsfyllitt med litt grafitt 3-5 % grafitt 70-80 % kvarts 10-15 % muskovitt ~5 % karbonat	-	T
LPN 123	ved utløpet av Juvvatnet	"	6630/3850	-12	dunitt/peridotitt ~90 % olivin 5-10 % cpx < 5 % opx 1-2 % hbl	*	K
LPN 124a,b	"	"	6600/3845	"	<u>124a:</u> smal gang av symplektittomv. pyroksenitt i dunitt/serp. hbl.-perid. <u>124b:</u> svakt serpentinisert hornblende- peridotitt/dunitt	*	a: T b: K
LPN 125	"	"	"	"	delvis symplektittomv. horn- blendepyroksenitt opx>cpx~hbl	*	K
LPN 126	"	"	6625/3830	"	svakt serpentinisert pyroksen- peridotitt 85 % olivin+serpentin 10-15 % cpx < 5 % hbl	*	T
LPN 127	ca 2,7 km ØNØ for Juvasshytta	"	6930/3890	"	svakt sek.omvandlet (serpentin+ hornblende+biotitt)lherzolitt/ wehrlitt ol>>pyroksenrelikter+sek.hbl+ sek.biotitt	*	K

Prøvenr.	Lokalitetsnavn	Kartblad (nr. og navn)	UM-kordinat	Kartutsnitt tegning nr.	Bergartsbetegnelse (nomenklatur etter streckelsen for uomvandlete bergarter)	Født kjemisk analyse *	Slip T=Tynnslip P=Polerslip K=Kombislip S=Stort tynnslip
LPN 128	ved Grotas munning i Visdalen Visdalen (veiskjæring ved sydenden av bru over Grotta)	1518 II Vis-	7060/3910	"	omvandlet jotun-noritt (granulittisk gneis). omv. feltspat ~ cpx-relikter + sekundær amfibol (inkl. hbl.)	*	K
LPN 129	nordsiden av Glitra, ca. 1 km øst for Glitras utløp i Visa, Vis- dalen	"	7095/3725	"	svakt sek. omvandlet lher- zolitt ol~cpx+hbl >opx aksess. biotitt	*	T
LPN 130	"	"	7115/3725	"	svakt biotittholdig lher- zolitt 30-40% cpx 30-40% olivin 15-20% opx < 5% grønn spinell 2- 3% biotitt	*	K
LPN 131	nord for Lauva Visdalen (ny veiskjæring)	"	ca 6960/4510	-	muskovitt-hbl-epidotførende lys skifer. Kvarts og felt- spat er hovedmineralene (tilsammen 60-70%) 30-40% mørke mineraler	-	T
LPN 132	Visas gjel, ca 50 m syd for utløpet av Grotta, Vis- dalen	"	7045/3915	-12	klorittrik kleberstein 60-70% talk 20-30% kloritt ~10% magnesitt ~1% apatitt	*	K
LPN 133a	Tristeinen	BST 89-90-20 Yågavatn (øk. kart)	y=30270 x=424650 (øk. kart koord.)	-13	sterkt karbonatisert ser- pentinkonglomerat 60-70% finkornet aggregat av talk, kloritt, amfibol og magnesitt ~10% større magnesittkorn 10-20% rel. mer grovkornete og renere partier av talk og kloritt <10% serpentin < 1% tremolitt-aktinolitt	*	K
LPN 133b	"	"	"	"	sterkt karbonatisert ser- pentinkonglomerat 70-80% nett-struktur ser- pentin og karbonat ~10% annen litt grovere serpentin ~10% magnesitt/ev. dolo- mitt i større selv- stendige korn eller aggregater av korn	-	T
LPN 134	Synslia	"	y=31020 x=426410	"	svakt serpentinisert dunitt ~80% olivin ~20% serpentin	*	K
LPN 135	"	"	y=31100 x=426300 (øk. kart koord.)	"	svakt serpentinisert dunitt 70-80% olivin 20-30% serpentin	*	T
LPN 148	Grásubekken Veodalen	1618 III Veodalen	ca 8130/3550	-03	lherzolitt/wehrlitt m. sek. hbl-dannelse 70-80% olivin 10-15% hbl+cpxrester 10-15% opx 5-10% oksyder	*	K
LPN 149	"	"	ca 8100/3560	"	særlig oksydrik olivin- websteritt ~60% cpx ~10% (ol-opx) symplektitt ~10% opx ~10% oksyder 5-10% olivin 2- 3% biotitt	*	K

Prøvenr.	Lokalitetsnavn	Kartblad (nr. og navn)	UTM-koordinat	Kartutsnitt tegning nr.	Bergartsbetegnelse (nomenklatur etter Streckeisen for uomvandlete bergarter)	Slip T=Tynnslip P=Polerslip K=Kambislip S=Stort tynnslip
LPN 150a-c	Gråsubekken, Veodalen	1618 III Veodalen	ca 8090/3555	-03	150a: særlig oksydrik websteritt (hornblendeførende og svakt symplektittomvandlet) 40-50% cpx ~20% opx ~20% oksyder ~10% oksyd-silikatsym- plektitt ~5% hbl.	a:K b:P c:P
LPN 151	"	"	"	"	websteritt (særlig oksydrik, svakt symplektittomvandlet, hbl og olivinførende) ~30% cpx ~20% opx 15-20% oksyd-olivin-pyrok- senssymplektitt ~5% hbl ~5% olivin	K
LPN 152a,b	"	"	ca 8120/3570	"	152a: websteritt (særlig oksydrik; hbl-, oli- vin- og biotittførende; meget svak symplektittdan- nelse) 30-40% cpx 30-40% opx 15-20% oksyder 5-10% symplektitt ~5% olivin < 5% hbl 1- 2% biotitt	a:K b:P
LPN 153	Sikkilsdals- hornet, Sikkilsdalen	1617 I Vin- stri	9950/1755	-01	lys jotun-noritt/gabbro (nesten en anorthositt) 80-90% feltspat ~5% opx 3- 5% cpx ~1% hbl ~1% biotitt	T
LPN 154	"	"	9920/1765	"	pyroksen-hbl-peridotitt (el. olivinrik lherzolitt med sekundær hornblende- dannelse) ~70% olivin 5-10% opx 10-15% cpx 5-10% hbl	K
LPN 155	Birisjøen, Sjodalen	BS 083-10 Nedre Sjo - dalsvatn (øk. kart)	y=30980 x=396880 (øk. kart koord.)	-14	pyroksen-hbl-peridotitt (el. olivinrik harzburgitt sekundær hornblendedan- nelse) 35-45% olivin 35-45% hbl 10-20% opx	K
LPN 156	"	"	y=31270 x=396500 (øk.kart koord.)	"	jotungabbro	-
LPN 157	"	"	y=31150 x=396570 (øk.kart koord.)	"	biotitt og hbl-førende jotungabbro (sekundær bio- titt og hbl-dannelse) 40-50% feltspat 20-30% hbl 15-25% cpx 2- 3% opx <5% biotitt (?)	T

Prøvenr.	Lokalitetsnavn	Kartblad (nr. og navn)	UIM-koordinat	Kartutsnitt tegning nr.	Bergartsbetegnelse (nomenklatur etter Streckelsen for uomvandlete bergarter)	*	
LPN 158	Birisjøen, Sjodalen	BS 083-10 Nedre Sjo- dalsvatn (øk.kart)	y=30840 x=396800 (øk.kart koord.)	-14	olivin-hbl-pyrokse- nitt (primært en olivinwebste- ritt) 5-10% olivin 40-50% cpx ~10% opx 30-40% hbl	*	T
LPN 159	"	"	y=30750 x=396550 (øk.kart koord.)	"	olivin-hbl-pyrokse- nitt (primært en olivinwebste- ritt) 10-15% olivin ~40% cpx ~40% hbl < 1% opx	*	K
LPN 160	Hindseter, Sjodalen	BS084-10 Russlia (øk.kart)	y=31380 x=402660 (øk.kart korr.d.)	"	svakt serpentinisert hbl- peridotitt 65-75% olivin 10-15% serpentin 10-15% hbl	*	K
LPN 161	"	"	y=31440 x=402870 (øk.kart koord.)	"	svakt serpentinisert hbl- peridotitt 60-70% olivin 10-15% serpentin 5-10% hbl 5-10% olivin-magnesitt- sympletitt i smal åre	*	T
LPN 162	"	"	y=31490 x=402860 (øk.kart koord.)	"	lherzolitt med sterk symple- tittdannelse ~50% hbl-opx-mt symplek- titt ~25% olivin ~15% cpx ~10% opx	*	T
LPN 163	"	"	y=31340 x=402990 (øk.kart koord.)	"	jotun-noritt med sekundær hbl-dannelse 60-70% feltspat med litt serisittomvandling 15-20% hbl 10-15% opx (mest relikter)	-	K
LPN 164a-c	Reiggehaugen, Lemonsjøen	BST 087088- 20 Tesse (øk.kart)	y=37640 x=422140 (øk.kart koord.)	-15	164a: serp.kgl. (sterkt karbonat- ~40% serpentin isert og 30-40% magnesitt fortalket) 10-20% talk 5-10% sek.mt. ~5% kloritt! 164b: serp.kgl. (sterkt karbonat- 30-40% serpentin isert) 50-60% magnesitt 5-10% talk 5-10% sek.mt. 164c: serpentinkonglomerat (sterkt karbonisert) 30-40% serpentin 40-50% magnesitt ~ 5% talk 5-10% kloritt 5-10% sek.mt.	a: * b: - c: -	a: K b: T c: T
LPN 165	Darthushaugen, Lemonsjøen	"	y=37340 x=421830 (øk.kart koord.)	"	foliert grønnstein 25-35% feltspat + kvarts(?) 50-60% hbl + ev. noe kloritt < 5% sek. penninitt på sprekker ~10% epidot	*	K
LPN 166	Darthusseter, Lemonsjøen	"	y=36860 x=421610 (øk.kart koord.)	"	delvis karbonatisert serpentinitt ~80% serpentin ~20% magnesitt < 1% pyrokse-relikter	*	K



Prøvenr.	Lokalitetsnavn	Kartblad (nr. og navn)	UIM-koordinat	Kartutsnitt tegning nr.	Bergartsbetegnelse (nomenklatur etter Streckeisen for omvandlede bergarter)		Slip T=Tynnslip P=Polerslip K=Kombislip S=Stort tynnslip
					matriks: mest karbonat, men også noe serpentin 172c: omvandlet serpentinkonglo- merat boller: 1) 100% karbonat 2) finkornet aggregat av talk + serpentin + ev. karbonat 3) 100% serpentin (ev. inkl. litt sek. mt) matriks: 30-40% talk 60-70% karbonat anm: små fragmenter av bolle- materiale (serpentin) fins i tillegg i matriksen	c:-	c: T
LPN 173	SV for østenden av Bessvatn, Jotunheimen	1618 III Veodalen	8900/2035	-02	Lherzolitt med begynnende hbl- dannelse 10-20% cpx, 5-10% hbl 20-30% opx, 50-60% olivin	*	K
LPN 174	NV-siden av Bessvatn	"	8580/2095	"	Lherzolitt med begynnende hbl- dannelse + svak symplektittdannelse langs korn grense 50-60% olivin 20-30% opx 10-15% ? cpx < 5% hbl.	*	K
LPN 175	N for østenden Russvatn	"	8880/2660	"	Svakt serpentinisert olivinweb- steritt/olivinklinopyroksenitt m. små mengder opx svak symplektittdannelse langs korn grensene 50-60% cpx ~30% olivin ~5% opx 5-10% serpentin	*	K
LPN 176	Ved østenden av Russvatn	"	ca 8805/ca 2545	"	Svakt serpentinisert lherzolitt med begynnende symplektitt- dannelse langs korn grensene 40-50% olivin 10-20% opx 30-40% cpx 5-10% serpentin	*	K
LPN 177 -1, -2	Høgsetrene, Heidal	1718 III Skåbu	2055/4060	-16	177-1: Sek. omvandlet peridotitt 20-30% serpentin 20-30% kloritt 10-15% talk 20-30% aktinolit-tremolit 5-10% sek. mt. 177-2: sek. omvandlet peridotitt 35-45% rel. grovkornet olivin 5-10% finkornet nydannet (?) olivin 15-20% talk 15-20% kloritt ~5% karbonat 5-10% sek. mt. ~5% aktinolit-tremolitnåler	*	-1: K -2: T
LPN 178	"	"	2055/4055	"	Krystallinsk, basisk, foliert berg- art; tilhørende Ottadekkets un- derste enhet 50-60% feltspat + ev. kvarts (?) 25-30% hbl. 5-10% biotitt ~5% epidot ~1% rutil	-	T

Prøvenr.	Lokalitetsnavn	Kartblad (nr. og navn)	UTM-koordinat	Kartutsnitt tegning nr.	Bergartsbetegnelse (nomenklatur etter Streckeisen for uomvandlete bergarter)	*	Slip T=Tynnslip P=Polerslip K=Kombislip S=Stort tynnslip
LPN 179 1-2	SV for Otta	1718 IV Otta	2710/4855	-17	179-1: Klebenstein (særlig klorittrik) 50-60% talk 40-50% kloritt <5% karbonat 179-2: klebenstein (særlig klorittrik) 60-70% talk 30-40% kloritt <5% karbonat	*	-1: K  -2: T
LPN 180	SV for Otta	"	2585/4770	"	Kleberstein 30-40% talk 10-20% kloritt ~50% karbonat; herav 2-3% av dolomittkomponenten iflg. kjemisk analyse; resten er magnesitt	*	K
LPN 181	Nonshaugen, SV for Otta	1718 IV Otta	2530/4810	-17	Kleberstein 60-70% talk 30-40% magnesitt + litt dolomitt <5% kloritt	*	K
LPN 182	Veggumskampen	BW 088-5-2 Veggumskampen (ø.k. kart)	Y=56850 X=420755 (ø.k. kart koordinater)	-	Sulfidmalm (mest magnetkis) med granat	-	-
LPN 183	Brekkebekk- dalen, Folldal	1619 III Alvdal	ca 8170/ca 9510	-	Karbonatisert serpentinkonglomerat ~90% karbonat (magnesitt?) ~10% talk	-	K
LPN 184	Reinsliåsen, Folldal	1519 II Folldal	6335/8890	-	Kleberstein 80-90% talk 10-20% kloritt	-	T
LPN 185 a-e	Tollefshaugen Grimsdalen	"	4260/8495 (senterkoordinat for kuppen)	-18	185 a og e: serpentinisert dunitt ~50% olivin ~50% serpentin 185 b,c,d: kromittpregnasjoner	a,c: * b,d: e:-	a, e: K, dvs. 3P b,c,d: P, dvs. 3P
LPN 186 a-j	Raudhamran Haverdalen, Dovre	1718 IV Otta	2965/7345	"	186a: Kromittpregnasjon i serpentisert dunitt; gangmineraler: ~80% olivin ~20% serpentin 186b-j: Kromittpregnasjon i serpentisert dunitt	-	a: K b-j: P, dvs. 8P
LPN 187 a-d, 187-2	"	"	"	"	187a-d: kromittpregnasjon i serpentinisert dunitt 187-2: kromittpregnasjon i serpentinisert dunitt gangmineraler: 85-90% olivin 10-15% serpentin	-	a-d: P, dvs. 4P -2: K
LPN 188 a,b	"	"	3035/7340	"	188a: serpentinisert dunitt ~60% olivin ~40% serpentin 188b: serpentinisert dunitt/harzburgitt ~50% olivin ~50% serpentin <5% opx <1% cpx (ett korn observert)	a:* b:*	K K
LPN 189	"	"	2985/7350	"	Rene asbestfibre (krysotilasbest)	*	-



Prøvenr.	Lokalitetsnavn	Kartblad (nr. og navn)	UTM-koordinat	Kartutsnitt tegning nr.	Bergartsbetegnelse (nomenklatur etter streckelsen for uomvandlete bergarter)	Prøvet kjemisk analyse *	Slip
LPN 198 (løsblokk)	Grønbotn, Romsdalen	1319 I Romsdalen	5100/2515	-	Grovkornet hornblenditt (i gang) 70-80% hbl 10-15% feltspat 10-15%biotitt (begynnende bio- tittdannelse på bekostning av hbl)	-	T
LPN 199 (løsblokk)	"	"	5100/2480	-	Svakt sek. omvandet harzburgitt 50-60% olivin 20-30% opx-relikter 20-30% nåler/fliser av antofyllitt. (dannet på bekostning av opx)	*	K
LPN 200	Inntaksdam, in- dre Mardøla, Romsdalen	"	5450/2575	-	Biotittrik gneis	-	-
LPN 201 A, B, C, Da, Db	Raudbergi Lesjaskog	1419 III Lesjaskog	6695/9805	-11	<u>201 A:</u> Amfibol-olivinbergart 50-60% olivin 30-40% nåler av aktinolitt- tremolitt + evt. noe antofyllitt 5-10% kloritt? <u>201 B:</u> Kontakten mellom dunitt (øvre halvdel av slipet) og orthopyroksenitt/olivinorthopyro- ksenitt med begynnende amfibol- dannelse (nedre halvdel av slipet) Øvre halvdel 80-90% olivin 10-20% kloritt Nedre halvdel ~70% opx 10-15% olivin 10-15% sek. amfibol <5% klorittdannelse langs kontak- ten mellom olivin og opx-korn <u>201 C:</u> Grensen mellom dunitt og orthopyroksenitt/ol-opxitt ol } hovedmin. ca like store opx } mengder av hver amfibol } sek.dannet av opx talk } kloritt: litt i dunitten karbonat: litt på grensen mellom ol-korn og opx-korn <u>201 Da:</u> grensen mellom ultrama- fitt og sideberg (gneis) ~70% aktinolitt- tremolitt/anto- fyllitt ~30% kloritt <u>201 Db:</u> i grensesonen mellom ultramafitt og sideberg (gneis), men noe lenger inne i ultrama- fitten enn pr 201 Da. ~70% finkornet masse av intimt assosiert kloritt, talk og sek.amfibol ~30% uorienterte aktinolitt- tremolittlister	A:* B:* C:- Da:- Db:-	A, B: K, dvs. 2K C, Da, Db: T, da dvs. 3T
LPN 202 A, B	Nyanlagt sti ved vestenden av Lesjaskogvatn	"	ca 6690/ca 9950	"	<u>202 A:</u> Hornblendegneis 35-45% hbl 40-50% feltspat + kvarts <5% biotitt 5-10 % epidot <u>202 B:</u> Hornblenditt 90-95% hbl 5-10% feltspat	-	A: K B: T

Prøvenr.	Lokalitetsnavn	Kartblad (nr. og navn)	UTM-koordinat	Kartutsnitt tegning nr.	Bergartsbetegnelse (nomenklatur etter streckelsen for omvandlete bergarter)	Art Kjemisk analyse *	Slip
LPN 203 A -E	Aurland gruve, Tandseterfeltet, Lesja	1419 II Dombås	9285/9555	"	<u>203 A,B,D,E</u> : Krommalm (kompaktmalm og impregnasjons- malm i smale årer) <u>203 C</u> : Krommalm (smal åre med impregnasjonsmalm) gangmineraler: 40-50% karbonat ~40% serpentin 10-15% talk ? % muligens litt kloritt til- stede	-	A,B,D,E:P, dvs. 4P  C: K
LPN 204	Lite skjerp i Tandseterfeltet, Lesja	"	9265/9580	"	Krommalm Svak kromittimpregnasjon i ser- pentinisert dunitt	-	P
LPN 205 A,B	Lite skjerp i Tandseterfeltet, Lesja	"	9315/9590	"	Krommalm Kompaktmalm/impregnasjonsmalm i smal åre i serp.dunitt	-	A: P B: P
LPN 206 A,B	Lite skjerp i Tandseterfeltet, Lesja	"	9335/9560	"	Krommalm Kompakt/impregnasjonsmalm i smal åre i serp.dunitt	-	A: P B: P
LPN 207 A-T	Severine skjerp, Fillingtjørni, Lesja	"	9060/9500	"	<u>207 b-n, s,t</u> : Krommalm (kompaktmalm og impregnasjons- malm i smale årer) <u>207 a</u> : krommalm (impregnasjons- malm) gangmineraler: 30-40% serpentin 20-30% karbonat (magnesitt) ~10% aktinolit-tremolitt 10-20% talk 10-20% kloritt <u>207 o</u> : krommalm (impregnasjons- malm/leopardmalm) 1) gangmineraler olivin, karbonat (magnesitt), talk, litt kloritt 2) malmårens umiddelbare sideberg: 50-60% karbonat (magnesitt) 25-35% olivin 15-20% talk <u>207 p</u> : sekundært omvandlet ultra- mafitt ~50% olivin 25-35% talk 15-20% karbonat (magnesitt) <u>207 q</u> : sekundært omvandlet ultra- mafitt 30-40% tremolitt 20-25% talk 20-25% kloritt 20-25% karbonat (magnesitt) <u>207 r</u> : sekundært omvandlet ultra- mafitt 50-60% tremolitt (i store, lange korn) 15-20% karbonat (magnesitt) 15-20% talk 10-15% kloritt	-	a,o: K, dvs. 2K p,q,r: T, dvs. 3T b-n, s,t: P, dvs. 15P
LPN 208 A-G	Halvførhøi gruve, SØ for Filling- tjørni, Lesja	"	9155/9380	"	<u>208 a-f</u> : Krommalm (kompakt- og impregnasjonsmalm i smale årer) <u>208 g</u> : sekundært omvandlet ultra- mafitt 50-60% tremolitt 30-40% talk 10-15% kloritt	-	a-f: P, dvs. 6P g: K
LPN 209	Galdhøpiggen	1518 II Visdalen	6360/3410	-	Jetun-noritt 60-70% feltspat (bl.a. albitt) 30-40% cpx (herav noen få prosent hbl. cpx→hbl i svak grad) 2-3% biotitt (cpx→biotitt)	-	T
LPN 210 (mulig løsblokk)	SØ-siden av Juvvatnet	"	ca 6650/ca 3740	-12	Svakt hbl-omvandlet olivinweb- steritt 40-50% cpx 10-15% opx 5-10% hbl (cpx→hbl) 25-35% olivin	-	T

## BILAG 1..fortsettelse

## Prøvefortegnelse

Ref. dagbok JH 1980

dagbokutskrift TK 1980, KT 1980, EE 1980.

Prøvet kjemisk analyse \*

Bilag 1, s. 18

Slip  
T=Tynnslip  
P=Polerslip  
K=Kambislip  
S=Stort  
tynnslip

Prøvenr.	Lokalitetsnavn	Kartblad (nr. og navn)	UTM-koordinat	Kartutsnitt tegning nr.	Bergartsbetegnelse (nomenklatur etter Streckeisen for uomvandlete bergarter)	Prøvet kjemisk analyse *	Slip T=Tynnslip P=Polerslip K=Kambislip S=Stort tynnslip
TK 7	Lesjehorungene, Lesja	1419 II Dombås	9425/9535	-	Serpentinbergarter	-	-
KT 8001	SSV for toppen av Glittertind	1618 III Veodalen	7460/3530	-03	Svakt serpentinisert lherzolitt olivin > opx > spinell/kromitt <sup>mt</sup> (ca. 5-10% tils. av oksyder)	*	K
KT 8002	NØ-skråningen av Heranoshø, syd- siden av Smådalen	"	9150/4170	-04	Sterkt symplektittomvandlet olivinklinopyroksenitt ~5% opx 15-25% olivin 30-40% cpx 30-35% sekundærminerale + symplektittdannelse (mye cpx i denne) ~1% karbonat aksess. biotitt Av oksyder opptrer grønn spinell og magnetitt	*	T
KT 8003	"	"	"	"	Svakt symplektittomvandlet lher- zolitt 40-50% olivin ~10% symplektitt ~25% cpx ~25% opx	-	T
KT 8004	Lesjehorungene, Lesja	1419 II Dombås	9425/9530	-	Amfibolitt ~60% hbl ~40% feltspat + kvarts	-	T
KT 8005	" (200 SØ for Aurtand grube)	"	9300/9540	-	Krommalm (kompaktmalm/impregnasjonsmalm i smal åre)	-	P
EE 1	Raudbergi, Rauddalsvatn, Skjåk	1518 IV Pollfoss	ca 3685/ca 6495	-	Aktinolittrik bergart fra kon- taksjonen mellom ultramafitt og glimmerskifer	-	-
EE 2	"	"	ca 3685/Ca 6500	-	Kromitt og magnetitt i serpen- tinisert peridotitt med litt ak- tinolit - tremolit	-	-
EE 3	Pollfoss	"	4200/7130	-	Gneis med magnetittårer	-	-
EE 4	Ved Vulu, ca 1 km NØ for Ny- setri, Skjåk	1319 II Torsvatn	3480/7750	-	Hornblendegneis 30-40% hbl 50-60% feltspat (bl.a. albitt) + kvarts < 5% titanitt ~5% epidot	-	K
EE 5	"	"	"	-	Amfibolitt	-	-
EE 6	Nord for Sæter- setri, Heidal	1718 III Skåbu	2095/4575	-16	Kvartsfyllitt/gl.sk. med en del Kloritt (tuffitt?)	-	-
EE 7	Ca 1 km syd for Ranglarkampen 1262m, Heidal	"	2080/4620	"	Kvartsfyllitt/gl.sk. med en del kloritt (tuffitt?)	-	-
JH (løs- blokker)	Gråsubremorenen, Veodalen	1618 III Veodalen	ca 8075/ca 3585?	-03	Gabbropegmatitt > 95% feltspat (bl.a. mikrolin og albitt) ~2% biotitt ~1% granat ~1% talk litt symplektittdannelse langs korngrensene	-	K

Prøvenr.	Lokalitetsnavn	Kartblad (nr. og navn)	UTM-koordinat	Kartutsnitt tegnings nr.	Bergartsbetegnelse (nomenklatur etter Strecheisen for omvandlede bergarter)		Slip T=Tynnslip P=Polerslip K=Kambislip S=Stort tynnslip
LPN 280	Tessekrokene	BS 089-10 Tesseosen (øk.kart)	y=29100 x=425920 (øk.kart koordinater)	-20	karbonatrik kleber ~50% karbonat (magnesitt) ~40% intimt sammenvokst talk og kloritt (talk > kloritt) ~5% kloritt i rene (dvs. talk - frie) parter ~5% oksyder (sek. magnetitt og kromitt med omvandlet rand- sone) ~1% rutil (?)	-	T
LPN 308 A	Lite prøvebrudd i NV-skråningen av Råsdalsfjell	BW 089-5-2 Råsdalen (øk. kart)	y=56225 x=425315 (øk. kart koordinater)	-	skifrig kleber } parallell- 60-70% talk } orienterte og ~30% kloritt } sammenvokste korn ~5% sek. magnetitt, som nåler parallelt med skifrig- hetsplanet og i aggregater sammen med kloritt ~1% kvarts i form av små lin- ser konkordant med skifrig hetsplanet.	-	T
LPN 309	ca. 400 m V for Råsdalsseter, N for skiferbrudd	BW 089-5-2 Råsdalen (øk. kart)	y=54970 x=426230 (øk. kart koordinater)	-	kvartsrik kleber 30-40% kvarts ~30% talk } intimt sammen- ~20% kloritt } vokst 2- 3% kromitt og sekundær magnetitt ~2% tremolitt-lister småknuste kvartsrike bånd i veksling med talk og klorittrike bånd.	-	T
LPN 310	ca. 500 m V for Råsdalsseter, N for skiferbrudd	BW 089-5-2 Råsdalen (øk. kart)	y=54900 x=426245 (øk. kart koordinater)	-	kvartsrik kleber ~40% kvarts ~40% talk (delvis i pseudo- morfose etter tremo- litt) 10-20% kloritt 2- 3% kromitt og sekundær magnetitt 2- 3% tremolitt	-	T
LPN 311	i veiskjøring på riksvei 51 ved Pålstuguset	BT 089-10 Flatningen (øk. kart)	y=33520 x=423215 (øk. kart koordinater)	-	rødfiolett serpentinkonglomerat ~95% serpentin med rødfiolett farge hvilket skyldes finfordelt hematittstøv ~5% sek. magnetitt ~1% talk	-	T
LPN 315	mellom Tristeined og Tesseosen	BS 089-10 Tesseosen (øk. kart)	y=29730 x=424680 (øk. kart koordinater)	-13	sterkt presset serpentinkonglo- merat, noe karbonatomvandlet	-	-
LPN 399	i Geitåa ved Sagflaten, Nord- Sel	BW 089-5-1 Tolstadåsen (øk. kart)	y=53270 x=427085 (øk. kart koordinater)	-	klorittskifer	-	-

Prøvenr.	Lokalitetsnavn	Kartblad (nr. og navn) serie M711 ev. økon. kart	UTM-koordinat (x/y) ev. økon. kart koordinat	Kartutsnitt se tegning	Bergartsbetegnelse og mineralfordeling		Slip T=Tynnslip P=Polerslip K=Kombislip S=Stort tynnslip
LPN 82-407 (løsklokk)	Sydskråningen av Veggumskampen, Sel.	BW 088-5-2 Veggumskampen (økon. kart)	y=55830 x=420650		Kleberstein ~60% talk ~30% karbonat (magnesitt/dolo- mitt) ~10% kloritt ~1% oksyder	-	T
LPN 82-412	Rindtjern (nord for Melingen i Vågå.)	BU 089-10 Melingen (økon. kart)	y=43060 x=424860	1709-21	serpentinkonglomerat (svakt presset) boller: serpentin Matriks: serpentin	-	-
LPN 82-420	Skytningen i Vågå	BT 089-10 Flatningen (økon. kart)	y=33490 x=424970	-21	sterkt karbonatisert serp.kgl. boller 1: ~80% særlig fink. karbonat ~20% serpentin med overgang til boller 2: ~50% særlig fink. karbonat ~50% serpentin eller enda mer serpentin i for- hold til karbonat: boller 3: ~100% serpentin (ev. inkl. noe sek. magnetitt) matriks: ~25% karbonat (rel. grovkornet i forhold til karbonatet i bollene) ~25% ? serpentin ~25% ? kloritt ~25% ? talk ~5% oksyder (sek. mt.)	-	2T
LPN 82-421A	ved bekken Veslegrovåi, VSV for Otta	BX 088-5-3 Pillarguri (økon.kart)	y=ca. 57615 x=ca. 418515	-17	kleberstein ~40% talk ~50% karbonat (magnesitt/dolo- mitt) < 10% kloritt ~1% oksyder (ørså små korn, jevnt disseminert)	-	T
LPN 82-421B	"	"	"	"	kleberstein ~30% karbonat ~60% talk < 10% kloritt ~1% oksyder	-	T
LPN 82-421C	"	"	"	"	kleberstein 20-30% karbonat ~60% talk < 10% kloritt < 1% oksyder	-	T
LPN 82-421D	"	"	"	"	kleberstein ~60% karbonat (rel. grovkrys- tallistinsk) (30)-35% talk 5-(10)% kloritt < 1% oksyder	-	T
LPN 82-424A	nord for Guttormstjern, Sel	BX 089-5-1 Laurbrulia (økon.kart)	y=57680 x=425815		massiv serpentinit 95-100% serpentin 0- 5% sekundær magnetitt	-	-
LPN 82-424B	"	"	"	"	forskifret serpentinit 95-100% serpentin 0- 5% sekundær magnetitt	-	-
LPN 82-426	ca. 100 m NV for felleseter Høg- seter, SV for Guttormstjern, Sel	BW 089-5-2 Råsdalen (økon.kart)	y=57250 x=424915		sterkt forskifret serpentinit 95-100% serpentin 0- 5% sekundær magnetitt	-	-

Prøvenr.	Lokalitetsnavn	Kartblad (nr. og navn) serie M/II ev. økonomisk kart	UTM-koordinat x/y ev. ø.k.kart koord.	Kartutsnitt se tegning	Bergartsbetegnelse og mineralsammensetning		
LPN 82-428	syd for Kleivrudtjern, Sel	BX 089-5-3 Søråsen (ø.k.kart)	y=59060 x=422580		serpentinitt eller serp.kgl. (ingen tydelig konglomeratstruktur)	-	-
LPN 82-430	Råsdalsfjell, Sel	BW 089-5-2 Råsdalen (ø.k.kart)	y=56395 x=425710		forskifret kvartsholdig kleber ~ 30% kvarts ~ 50% talk 5-10% { 1) uorienterte akt./tremolister 2) amfibolnåler parallelt skifriheten 5-10% kloritt 3- 5% oksyder	-	T
LPN 82-308B	Råsdalsfjell, Sel	"	y=56225 x=425815		sterkt forskifret kleber 40-50% talk 40-50% kloritt (i pseudomorfose etter amfibol) ↑ 5-10% aktinolit/tremolitt-nåler parallelt skifriheten. Under omvandling til kloritt < 1% oksyder	-	T
LPN 82-308C	"	"	"		sterkt forskifret kleber ~ 60% talk ~ 5% kloritt i korona rundt oksydkorn 20-30% kloritt i pseudomorfose etter amfibol (akt./tremolitt) ↑↓ 5-10% aktinolit/tremolitt under omvandling til kloritt ~ 1% oksyder 0- 1% kvarts	-	T
LPN 82-437A	ca. 1 km øst for Øyasetri i Jøndalen, Dovre	1618 I Vågå	0770/6855	1709/D-22	karbonatrik kleber 40-50% talk 40-50% karbonat ~ 5% kloritt ~ 2% oksyder	-	T
LPN 82-437B	"	"	"	"	karbonatrik kleber 60-70% karbonat ~ 30% talk ~ 10% kloritt ~ 1% oksyder	-	T
LPN 82-437C	"	"	"	"	karbonatrik kleber ~ 60% talk ~ 30% karbonat ~ 10% kloritt 2- 3% oksyder (mest rester av delvis silikat-omvandlede kromittkorn)	-	T
LPN 82-437D	"	"	"	"	karbonatrik kleber ~ 30% karbonat ~ 60% talk ~ 10% kloritt ~ 1% oksyder	-	T
LPN 82-437E	"	"	"	"	karbonatrik kleber 60-70% talk 20-30% karbonat ~ 10% kloritt ~ 1% oksyder	-	T
LPN 82-441	Syd for Svarttjern, Tolstadsåsen, Vågå	BV 089-5-2 Styggemannstjern (ø.k.kart)	y=49110 x=426060		serpentin-konglomerat (ingen tydelig konglomeratstruktur). Noe karbonatisert.	-	-
LPN 82-442A (Løsblokk)	øst for Nysetri i Einarplassberget, Lalm	BV 089-5-1 Lalm (ø.k.kart)	y=45325 x=425380	-22	serpentinitt 95-100% serpentin 0- 5% sekundær magnetitt	-	-

Prøvenr.	Lokalitetsnavn	Kartblad (nr. og navn) serie M711 ev ø.k.kart	UTM-koordinat (x/y) ev. ø.k.kart koord.	Kartutsnitt se tegning	Bergartsbetegnelse og mineralfordeling	tført kjemisk analyse	Slip T=Tynnslip P=Polerslip K=Kambislip S=Stort tynnslip
LPN 82-442B	øst for Nysetri i Einarsplass- berget, Lalm	BV 089-5-1 Lalm (ø.k.kart)	y=45325 x=425380	1709/D-22	serpentinitt 95-100% serpentin 0- 5% sekundær magnetitt	-	-
LPN 82-443	"	"	y=45450 x=425365	-22	serpentinitt 95-100% serpentin 0- 5% sekundær magnetitt	-	-
LPN 82-447A (løsblokk)	Nyseterbruddet (lite brudd ØNØ for hovedbruddet SØ for Sagflaten i Sel	BW 089-5-1 Tolstadåsen (ø.k.kart)	y=54080 x=426000 (senterkoord. for bruddet)		mørk klorittrik kleber	-	-
LPN 82-447B (løsblokk)	"	"	"		serpentinitt eller bolle (>30cm) av serpentin i serp.kgl.	-	-
LPN 82-448B (løsblokk)	Nyseterbruddet (hovedbruddet) SØ for Sagflaten i Sel	"	y=54020 x=425980 (Senterkoord. for bruddet)		mørk klorittrik kleber ~60% talk } intimt sammen- ~30% kloritt } vokst 5-10% karbonat (rel.grovkryst.) 3- 5% oksyder (mest rester av sterkt silikat- omvandlete kromittkorn) aksessorisk: rutil	-	T
LPN 82-449	blotning ved myrkant ca. 650m VNV for Hansen- bruddet	BW 089-5-2 Råsdalen (ø.k.kart)	y=54650 x=425430		serpentin-konglomerat bestående bare av serpentin pluss litt sekundær magnetitt. Ingen karbonatisering eller talk/ klorittdannelse å spore	-	-
LPN 82-450 (div.løsb1)	Fredheimbruddet	BW 089-5-1 Tolstadåsen (ø.k.kart)	y=ca. 52200 x=ca. 426050		kleber	-	-
LPN 82-451 div.løsb1.	Hansenbruddet og (øvre) Åsårbrud- det	BW 089-5-2 Råsdalen (ø.k.kart)	y=ca. 55300 x= ca. 425275 (Hansenbr.) y=ca. 55400 x=ca. 425150 (øvre Åsårbr.)		kleber	-	-
LPN 82-452	lite prøvebrudd ca.250 m V-VSV for Hansenbrud- det	"	y=55050 x=425240		tremolittførende klorittrik kleber 60-70% rel. meget finkornet aggregat av talk og kloritt i omtrent like store mengder ~30% rel. mer grovkornet kloritt i form av spredte enkeltkorn, bladformede/ vifteformede og i pseudo- morfose etter tremolitt ~5% tremolitt under omvandling til kloritt ~1% finfordelt særlig fin- kornet sekundær magnetitt	-	T

Bilag 2

Røntgenspektrografiske analyser på hovedelementer og sporelementer i :

116 prøver av ultramafiske bergarter,

5 prøver av gabbroide bergarter (pr. 8, 21, 128, 153, 157) og

1 prøve av grønnstein (pr. 165).

Våtkjemisk analyse på  $Fe^{2+}$ ,  $H_2O^+$  og  $H_2O^-$  i 21 prøver.

BERGARTSBETEGNELSE og mineralfordeling											
	PRØVE NR.										
ELEMENT	N 1	Å 2	Å 4	N 5	N 7	Å 8	Å 10	N 12	N 13	N 14	
SiO <sub>2</sub>	47.71 %	38.15 %	43.17 %	44.24 %	40.21 %	41.55 %	41.74 %	38.82 %	42.15 %	45.89 %	
Al <sub>2</sub> O <sub>3</sub>	3.95 %	.31 %	5.62 %	3.88 %	3.49 %	20.50 %	.99 %	3.05 %	3.09 %	6.15 %	
Fe <sub>2</sub> O <sub>3</sub> <sub>tot</sub>	10.60 %	21.82 %	15.33 %	14.41 %	17.17 %	15.79 %	13.77 %	21.36 %	20.15 %	14.43 %	
FeO	6.95 %						9.97 %			8.76 %	
TiO <sub>2</sub>	.30 %	.02 %	.26 %	.32 %	.29 %	1.53 %	.04 %	.10 %	.17 %	.32 %	
MgO	21.91 %	40.17 %	30.00 %	26.97 %	36.20 %	5.63 %	39.84 %	32.99 %	34.77 %	21.35 %	
CaO	15.42 %	.21 %	2.58 %	9.08 %	2.05 %	9.77 %	4.00 %	2.03 %	1.28 %	12.04 %	
Na <sub>2</sub> O	.7 %	< .1 %	.7 %	.1 %	.9 %	2.6 %	.4 %	.3 %	< .1 %	.7 %	
K <sub>2</sub> O	.03 %	< .01 %	1.04 %	.19 %	.22 %	.66 %	.02 %	.14 %	.37 %	.20 %	
MnO	.18 %	.27 %	.21 %	.19 %	.24 %	.09 %	.19 %	.28 %	.27 %	.21 %	
P <sub>2</sub> O <sub>5</sub>	.02 %	.01 %	.04 %	.05 %	.03 %	.19 %	.02 %	.05 %	.04 %	.04 %	
glødetap	.45 %	÷1,29 %	1.66 %	0.23 %	0.05 %	0.60 %	÷0,35 %	0,16 %	÷0,51 %	0,29 %	
H <sub>2</sub> O <sup>+</sup>	0.49 %						,30 %			,37 %	
H <sub>2</sub> O <sup>-</sup>	0.03 %						,08 %			,07 %	
SUM	101,27 %	99,78 %	100,61 %	99,66 %	100,85 %	98,72 %	100,66 %	99,28 %	101,88 %	101,62 %	
NB	< 5.PPM	< 5.PPM	< 5.PPM	< 5.PPM	< 5.PPM	< 5.PPM	< 5.PPM	< 5.PPM	< 5.PPM	< 5.PPM	
ZR	16.PPM	< 5.PPM	57.PPM	32.PPM	30.PPM	42.PPM	24.PPM	25.PPM	29.PPM	35.PPM	
Y	10.PPM	< 5.PPM	9.PPM	11.PPM	8.PPM	18.PPM	6.PPM	< 5.PPM	7.PPM	10.PPM	
SR	78.PPM	8.PPM	113.PPM	108.PPM	123.PPM	.14 %	26.PPM	155.PPM	108.PPM	221.PPM	
RB	< 5.PPM	< 5.PPM	30.PPM	< 5.PPM	< 5.PPM	7.PPM	< 5.PPM	< 5.PPM	11.PPM	< 5.PPM	
ZN	53.PPM	135.PPM	111.PPM	70.PPM	115.PPM	108.PPM	63.PPM	130.PPM	122.PPM	75.PPM	
CU	< 5.PPM	12.PPM	10.PPM	8.PPM	30.PPM	449.PPM	< 5.PPM	18.PPM	14.PPM	25.PPM	
NI	237.PPM	732.PPM	538.PPM	413.PPM	696.PPM	140.PPM	770.PPM	542.PPM	572.PPM	224.PPM	
CR	.17 %	281.PPM	.25 %	.18 %	.32 %	93.PPM	.36 %	823.PPM	562.PPM	620.PPM	
V	154.PPM	16.PPM	87.PPM	150.PPM	114.PPM	595.PPM	32.PPM	61.PPM	51.PPM	157.PPM	
BA	23.PPM	10.PPM	616.PPM	135.PPM	240.PPM	592.PPM	16.PPM	118.PPM	307.PPM	145.PPM	
PB	< 10.PPM	< 10.PPM	< 10.PPM	< 10.PPM	< 10.PPM	< 10.PPM	< 10.PPM	< 10.PPM	< 10.PPM	< 10.PPM	
CO	70.PPM	188.PPM	115.PPM	90.PPM	136.PPM	57.PPM	131.PPM	157.PPM	164.PPM	81.PPM	

BERGARTSBETEGNELSE og mineralfordeling	PRØVE NR.	N 16	N 17	N 18	N 20	Å 21	Å 25	Å 26	Å 27	Å 28	N 31	N 33	N 34	N 35
	ELEMENT													
pr. N16 pyroksen-hornblende-peridotitt ol>opx>hbl	SiO2	39.28 %	50.44 %	39.44 %	40.75 %	45.20 %	45.78 %	50.09 %	39.30 %	47.93 %	37.71 %	49.74 %	46.38 %	38.42 %
	Al2O3	5.17 %	5.68 %	3.68 %	4.86 %	21.14 %	3.06 %	4.88 %	1.71 %	3.55 %	1.54 %	5.92 %	3.86 %	.83 %
pr. N17 klinopyroksenitt med begynnende hbl-dannelse cpx>>hbl>opx	Fe2O3 FeO	18.62 %	9.50 % 4.96 %	17.64 %	18.95 %	6.00 %	13.55 %	7.61 %	16.09 %	11.08 %	18.70 %	8.44 %	11.98 %	15.72 %
	TiO2	.15 %	.32 %	.23 %	.07 %	.19 %	.15 %	.25 %	.04 %	.34 %	.07 %	.38 %	.24 %	.04 %
pr. N18 dunitt/pyroksen-hbl-peridotitt ol>>hbl>opx	HgO	32.45 %	17.57 %	35.95 %	32.10 %	8.84 %	28.73 %	19.59 %	41.26 %	20.37 %	36.52 %	15.56 %	24.06 %	42.89 %
	CaO	3.83 %	16.95 %	2.25 %	4.11 %	16.25 %	9.84 %	16.60 %	1.03 %	15.00 %	2.40 %	19.47 %	13.20 %	.51 %
pr. N20 lherzolitt ol>opx=cpx	Na2O	.3 %	.7 %	.3 %	.1 %	1.9 %	.1 %	.3 %	.1 %	.2 %	.1 %	.3 %	.3 %	.1 %
	K2O	.04 %	.01 %	.11 %	.01 %	.09 %	.01 %	.01 %	.01 %	.14 %	.01 %	.04 %	.02 %	.01 %
pr. Å 21 jotun-noritt maf.>feltspat (antipertitt)	MnO	.24 %	.17 %	.21 %	.23 %	.07 %	.18 %	.15 %	.19 %	.17 %	.23 %	.17 %	.18 %	.19 %
	P2O5	.02 %	.03 %	.02 %	.03 %	.04 %	.02 %	.02 %	.01 %	.03 %	.01 %	.03 %	.02 %	.02 %
pr. Å 25 lherzolitt med begynnende horn- blendedannelse ol>cpx=opx>hbl	glødetap	0.53 %	0.20 %	0.04 %	÷0.24 %	0.89 %	0.12 %	0.57 %	0.78 %	1.75 %	2.52 %	0.69 %	1.25 %	0.67 %
	H2O <sup>+</sup>		.02 %							.43 %				
	H2O <sup>-</sup>		.10 %							.05 %				
pr. Å 26 olivinersteritt cpx>>opx=ol	SUM	100.63 %	101.57 %	99.87 %	100.97 %	100.61 %	101.54 %	100.07 %	100.52 %	100.56 %	99.81 %	100.74 %	101.49 %	99.40 %
pr. Å 27 dunitt (med litt pyroksen) ol>>destruert cpx>>opx (aksess)	NB	< 5.PPM	< 5.PPM	< 5.PPM	< 5.PPM	< 5.PPM	< 5.PPM	< 5.PPM	< 5.PPM	< 5.PPM	< 5.PPM	< 5.PPM	< 5.PPM	< 5.PPM
	ZR	13.PPM	37.PPM	12.PPM	12.PPM	16.PPM	22.PPM	25.PPM	8.PPM	37.PPM	14.PPM	18.PPM	18.PPM	11.PPM
pr. Å 28 hornblendepyroksenitt cpx>>hbl>opx	Y	5.PPM	13.PPM	7.PPM	6.PPM	7.PPM	9.PPM	10.PPM	6.PPM	14.PPM	6.PPM	13.PPM	10.PPM	< 5.PPM
	SR	241.PPM	92.PPM	91.PPM	211.PPM	.11 %	48.PPM	81.PPM	11.PPM	82.PPM	20.PPM	98.PPM	66.PPM	13.PPM
pr. N31 svakt serpentinisert olivinrik lherzolitt ol>>serpentin>opx=opx	RB	< 5.PPM	< 5.PPM	< 5.PPM	< 5.PPM	< 5.PPM	< 5.PPM	< 5.PPM	< 5.PPM	< 5.PPM	< 5.PPM	< 5.PPM	< 5.PPM	< 5.PPM
	ZN	115.PPM	40.PPM	100.PPM	95.PPM	23.PPM	54.PPM	27.PPM	82.PPM	47.PPM	106.PPM	27.PPM	59.PPM	82.PPM
pr. N33 klinopyroksenitt med begynnende hornblendedannelse cpx>>sek.hbl>opx	CU	9.PPM	< 5.PPM	44.PPM	< 5.PPM									
	NI	435.PPM	193.PPM	978.PPM	623.PPM	118.PPM	714.PPM	341.PPM	.15 %	194.PPM	733.PPM	131.PPM	334.PPM	.13 %
pr. N34 sympлектittomvandlet olivinrik peridotitt	CR	843.PPM	.10 %	.26 %	242.PPM	318.PPM	.30 %	.50 %	.67 %	.13 %	.21 %	.16 %	.13 %	.41 %
	V	71.PPM	202.PPM	116.PPM	45.PPM	93.PPM	119.PPM	196.PPM	69.PPM	132.PPM	64.PPM	223.PPM	147.PPM	40.PPM
pr. N35 svakt serpentinisert dunitt ol>>serpentin	BA	62.PPM	21.PPM	96.PPM	17.PPM	91.PPM	18.PPM	24.PPM	16.PPM	78.PPM	12.PPM	39.PPM	16.PPM	14.PPM
	PB	< 10.PPM	< 10.PPM	< 10.PPM	< 10.PPM	< 10.PPM	< 10.PPM	< 10.PPM	< 10.PPM	< 10.PPM	< 10.PPM	< 10.PPM	< 10.PPM	< 10.PPM
	CO	147.PPM	53.PPM	154.PPM	132.PPM	28.PPM	97.PPM	45.PPM	148.PPM	63.PPM	173.PPM	41.PPM	95.PPM	166.PPM

BILAG 2 . - fortsettelse

BERGARTSBETEGNELSE og mineralfordeling		PRØVE-NR.										
prøve nr.		ELEMENT	N 37	N 39	N 40	Å 41	Å 43	Å 44	Å 46	Å 47	Å 50	N 54
N 37	sterkt sek.omvandlet peridotitt ~50 % karbonat ~50 % talk + kloritt	SiO <sub>2</sub>	41.05 %	59.24 %	42.52 %	40.71 %	46.77 %	40.32 %	39.20 %	41.06 %	45.96 %	40.12 %
		Al <sub>2</sub> O <sub>3</sub>	.89 %	1.22 %	.84 %	.64 %	2.52 %	.22 %	.26 %	.41 %	.97 %	.15 %
N 39	sterkt sek.omvandlet dunitt 20-30 % karbonat 70-80 % kloritt + talk	Fe <sub>2</sub> O <sub>3</sub> tot.	6.38 %	5.84 %	7.01 %	5.96 %	6.61 %	7.76 %	8.01 %	8.58 %	5.59 %	8.11 %
		FeO	4.66 %		5.42 %		1.98 %					6.25 %
		TiO <sub>2</sub>	.02 %	.01 %	.01 %	< .01 %	.13 %	< .01 %	< .01 %	< .01 %	< .01 %	< .01 %
N 40	delvis fortalket serpentinit 60-70 % serp., 20-30 % talk + sek.amfibol	MgO	31.56 %	29.33 %	36.70 %	43.44 %	29.01 %	49.72 %	48.63 %	48.53 %	39.72 %	49.02 %
		CaO	1.88 %	.09 %	.56 %	.07 %	3.25 %	.09 %	.08 %	.07 %	.10 %	.48 %
		Na <sub>2</sub> O	< .1 %	< .1 %	< .1 %	.2 %	< .1 %	< .1 %	< .1 %	< .1 %	< .1 %	< .1 %
Å 41	sterkt serpentinisert dunitt 20-30 % olivin 60-70 % serpentin	K <sub>2</sub> O	< .01 %	< .01 %	< .01 %	< .01 %	< .01 %	< .01 %	< .01 %	< .01 %	< .01 %	< .01 %
		MnO	.08 %	.03 %	.08 %	.08 %	.11 %	.10 %	.11 %	.14 %	.07 %	.11 %
		P <sub>2</sub> O <sub>5</sub>	< .01 %	< .01 %	< .01 %	< .01 %	.01 %	< .01 %	< .01 %	< .01 %	< .01 %	< .01 %
Å 43	kleberstein ~50 % karbonat (magnesitt/dolomitt) ~50 % talk <5 % kloritt	glødetap	17.45 %	4.94 %	11.88 %	8.77 %	10.44 %	.92 %	2.88 %	.66 %	9.01 %	1.53 %
		H <sub>2</sub> O <sup>+</sup>	5.36 %		10.81 %		5.46 %					1.33 %
		H <sub>2</sub> O <sup>±</sup>	.04 %		.13 %		.04 %					.11 %
Å 44	svakt fortalket dunitt 70-80 % olivin ~20 % talk	SUM	99.43 %	100.82 %	99.72 %	99.90 %	98.96 %	99.26 %	99.30 %	99.58 %	101.55 %	99.65 %
		Nb	< 5.PPM									
		Zr	14.PPM	14.PPM	11.PPM	14.PPM	24.PPM	12.PPM	11.PPM	13.PPM	14.PPM	13.PPM
Å 46	serpentinisert og fortalket dunitt 50-60 % olivin 15-20 % serpentin 15-20 % talk <5 % kloritt	Y	< 5.PPM	< 5.PPM	< 5.PPM	< 5.PPM	7.PPM	6.PPM	< 5.PPM	< 5.PPM	< 5.PPM	< 5.PPM
		Sr	106.PPM	< 5.PPM	18.PPM	< 5.PPM	135.PPM	< 5.PPM	< 5.PPM	< 5.PPM	< 5.PPM	128.PPM
		Rb	< 5.PPM									
		Zn	35.PPM	35.PPM	33.PPM	25.PPM	27.PPM	42.PPM	37.PPM	45.PPM	32.PPM	36.PPM
Å 47	svakt fortalket dunitt ~70 % olivin 20 % talk <5 % kloritt	Cu	< 5.PPM	31.PPM	< 5.PPM	< 5.PPM	39.PPM	< 5.PPM				
		Ni	.16 %	.10 %	.20 %	.18 %	.17 %	.27 %	.28 %	.26 %	.20 %	.23 %
		Cr	.31 %	.34 %	.37 %	.32 %	.32 %	.50 %	.40 %	.23 %	.18 %	.22 %
Å 50	sterkt fortalket harzburgitt ~80 % talk 5% kloritt < 5 % opx-rester 10-15% sek.amfibol	V	33.PPM	51.PPM	36.PPM	25.PPM	62.PPM	14.PPM	18.PPM	18.PPM	17.PPM	10.PPM
		Ba	< 10.PPM									
		Pb	< 10.PPM	< 10.PPM	14.PPM	< 10.PPM						
N 54	svakt talk og klorittførende dunitt 80-90 % olivin 5-10 % talk ~5 % kloritt	Co	87.PPM	56.PPM	94.PPM	74.PPM	87.PPM	114.PPM	126.PPM	150.PPM	94.PPM	116.PPM

BILAG 2 . - fortsettelse

BERGARTSBETEGNELSE og mineralfordeling		PRØVE-NR.											
prøve nr.		ELEMENT	N 55	N 57	N 58	N 62	N 64	N 65	N 67	N 69	N 70	Å 73	
N55	talk, kloritt og amfibolførende dunitt 60-70 % rekrystallisert(?) olivin ~20 % talk ~10 % kloritt ~5 % sek.amfibol (antofyllitt)	SiO <sub>2</sub>	40.87 %	58.24 %	41.18 %	41.28 %	41.41 %	43.06 %	40.12 %	40.02 %	39.82 %	54.25 %	
		Al <sub>2</sub> O <sub>3</sub>	.38 %	.79 %	.47 %	.45 %	.90 %	1.80 %	.40 %	.94 %	.44 %	1.67 %	
		Fe <sub>2</sub> O <sub>3</sub> tot. FeO	8.12 %	6.30 %	6.77 %	8.78 %	8.88 %	8.43 %	10.18 %	5.61 %	8.90 %	8.90 %	5.55 %
		TiO <sub>2</sub>	< .01 %	.02 %	< .01 %	.01 %	.01 %	.02 %	< .01 %	< .01 %	< .01 %	< .01 %	.03 %
N57	sterkt fortalket ultramafitt (kleber) > 90 % talk 5-10 % kloritt	MgO	48.19 %	29.98 %	47.65 %	43.77 %	43.66 %	41.30 %	46.70 %	48.85 %	47.49 %	35.12 %	
		CaO	.13 %	.07 %	.10 %	.14 %	.07 %	.82 %	.16 %	.07 %	.08 %	.09 %	
		Na <sub>2</sub> O	< .1 %	.1 %	.2 %	< .1 %	< .1 %	< .1 %	.6 %	< .1 %	< .1 %	< .1 %	< .1 %
N58	sterkt sek.omvandlet harzburgitt ~10 % opx-relikter 10-15 % finkornet olivin 30-40 % talk ~40 % magnesitt	K <sub>2</sub> O	< .01 %	< .01 %	< .01 %	< .01 %	< .01 %	< .01 %	.02 %	< .01 %	< .01 %	< .01 %	
		MnO	.10 %	.02 %	.08 %	.10 %	.10 %	.09 %	.10 %	.09 %	.11 %	.07 %	
		P <sub>2</sub> O <sub>5</sub>	< .01 %	< .01 %	.01 %	< .01 %	< .01 %	< .01 %	.01 %	< .01 %	< .01 %	< .01 %	< .01 %
N62	delvis fortalket dunitt 50-60 % olivin ~5 % opx 30-40 % talk < 5 % kloritt	glødetap	1.24 %	4.84 %	2.68 %	4.38 %	3.28 %	3.07 %	1.42 %	2.64 %	2.35 %	3.20 %	
		H <sub>2</sub> O <sup>+</sup> H <sub>2</sub> O <sup>-</sup>											
N64	fortalket og klorittomvandlet harzburgitt ~30 % olivin ~20 % opx ~30 % talk ~20 % kloritt	SUM	99.16 %	100.38 %	99.16 %								
		Nb	< 5.PPM	< 5.PPM									
N65	fortalket og klorittomvandlet harzburgitt ~30 % olivin <10 % opx 40-50 % talk 10-15 % kloritt	Zr	11.PPM	10.PPM	15.PPM	9.PPM	9.PPM	13.PPM	14.PPM	12.PPM	14.PPM	12.PPM	
		Y	< 5.PPM										
		Sr	7.PPM	< 5.PPM	7.PPM	< 5.PPM	< 5.PPM	6.PPM	< 5.PPM	< 5.PPM	< 5.PPM	< 5.PPM	
N67	dels fortalket og rekrystallisert dunitt/harzburgitt ~60 % olivin < 5 % opx 30-40 % talk < 5 % kloritt	Rb	< 5.PPM										
		Zn	34.PPM	26.PPM	36.PPM	33.PPM	37.PPM	38.PPM	41.PPM	29.PPM	46.PPM	38.PPM	
		Cu	< 5.PPM	27.PPM	< 5.PPM	49.PPM							
N69	svakt fortalket dunitt	Ni	.23 %	.13 %	.23 %	.23 %	.21 %	.21 %	.26 %	.25 %	.28 %	.14 %	
		Cr	.30 %	.14 %	.31 %	.34 %	.35 %	.34 %	.43 %	.46 %	.36 %	.31 %	
N70	svakt fortalket og klorittisert dunitt > 80 % olivin 5-10 % talk < 5 % kloritt	V	18.PPM	23.PPM	17.PPM	28.PPM	38.PPM	58.PPM	37.PPM	11.PPM	29.PPM	32.PPM	
		Ba	11.PPM	< 10.PPM	13.PPM								
Å 73	fortalket og klorittisert orthopyroksenitt ~40 % opx 40-50 % talk 10-20 % kloritt	Pb	< 10.PPM										
		Co	112.PPM	62.PPM	107.PPM	114.PPM	105.PPM	103.PPM	121.PPM	88.PPM	127.PPM	62.PPM	

Bilag 2, s 4

BILAG 2 . - fortsettelse

BERGARTSBETEGNELSE og mineralfordeling		PRØVE-NR.										
prøve nr.		ELEMENT	Å 77	Å 79	N 80	N 86	N-92	N-94	N-96	N-99	N-100	N-101
Å 77	fortalket og klorittisert harzburgitt ~50 % rekryst. fink. olivin 20 % grovk. olivin + opx? 15-20 % talk ~5 % opx-relikter 5-10 % kloritt	SiO <sub>2</sub>	45.14 %	41.27 %	42.25 %	30.25 %	40.10 %	35.44 %	39.36 %	43.51 %	47.65 %	31.59 %
		Al <sub>2</sub> O <sub>3</sub>	1.30 %	.87 %	.60 %	.50 %	1.76 %	.82 %	.32 %	1.58 %	2.08 %	.19 %
Å 79	fortalket og klorittisert harzburgitt 60-70 % fink. olivin ~5 % magnesitt 15-20 % talk 10-15 % kloritt	Fe <sub>2</sub> O <sub>3</sub> tot.	6.51 %	7.60 %	9.28 %	6.08 %	3.07 %	7.33 %	9.64 %	10.79 %	10.50 %	7.83 %
		FeO				4.03 %	1.08 %	4.22 %	3.43 %	4.34 %	4.76 %	3.54 %
N 80	svakt fortalket og klorittisert harzburgitt 70-80 % olivin 10-20 % opx ~5 % talk ~5 % kloritt <5 % magnesitt	TiO <sub>2</sub>	.02 %	< .01 %	.01 %	< .01 %	.01 %	.01 %	.01 %	.08 %	.08 %	.02 %
		MgO	41.72 %	46.65 %	44.68 %	32.75 %	45.21 %	34.80 %	47.50 %	30.69 %	30.64 %	29.74 %
N 86	kleberstein 65-70 % talk 30-35 % magnesitt <5 % kloritt ~5 % dissem. kromitt + sek.mt.	CaO	.07 %	.08 %	.21 %	.16 %	.06 %	.16 %	.13 %	1.37 %	1.70 %	4.68 %
	serpentinisert dunitt 30-40 % olivin 60-70 % serpentin	Na <sub>2</sub> O	< .1 %	.5 %	< .1 %	< .1 %	< .1 %	< .1 %	< .1 %	< .1 %	.2 %	< .1 %
N 92	sek. omv. ultramafitt (kleber) 30-40 % talk 30-40 % magnesitt 5-10 % kloritt ~5 % sek. amfibol 10-15 % antofyllittfliser og vifter	K <sub>2</sub> O	< .01 %	< .01 %	< .01 %	< .01 %	< .01 %	< .01 %	< .01 %	< .01 %	.03 %	< .01 %
	amfibolholdig serpenisert dunitt 60-70 % olivin ~30 % serpentin < 1 % opx ~5 % antofyllitt	MnO	.08 %	.09 %	.12 %	.07 %	.04 %	.10 %	.14 %	.10 %	.11 %	.16 %
N 94	sek. omv. grovkornet ultramafitt 40-50 % fink. talk-klorittaggregat 15-20 % talk ellers 20-25 % kloritt ellers ~10 % trem.-akt. <5 % magnesitt	P <sub>2</sub> O <sub>5</sub>	< .01 %	.01 %	.01 %	< .01 %	< .01 %	< .01 %	< .01 %	.01 %	.01 %	.01 %
		glødetap	4.55 %	2.85 %	2.37 %	29.41 %	8.56 %	22.12 %	3.19 %	10.69 %	6.93 %	25.42 %
N 96	sek. omv. ultramafitt 10-20 % tremolitt-aktinolit ~40 % talk ~40 % kloritt	H <sub>2</sub> O <sup>+</sup>				4.15 %	6.63 %	3.24 %	2.83 %	3.27 %	4.32 %	2.41 %
	sek. omv. ultramafitt ~50 % grovk. tremolitt-aktinolit inkl. ev. litt antofyllitt 30-40 % magnesitt 10-20 % talk	H <sub>2</sub> O <sup>±</sup>				.05 %	.14 %	.05 %	.09 %	.08 %	.09 %	.06 %
N 99		SUM										
		Nb	< 5.PPM	5.PPM	5.PPM	5.PPM	< 5.PPM					
N 100		Zr	14.PPM	14.PPM	11.PPM	10.PPM	16.PPM	14.PPM	10.PPM	17.PPM	16.PPM	18.PPM
		Y	< 5.PPM	< 5.PPM	6.PPM	5.PPM	< 5.PPM	< 5.PPM	< 5.PPM	6.PPM	6.PPM	< 5.PPM
N 101		Sr	< 5.PPM	< 5.PPM	< 5.PPM	52.PPM	< 5.PPM	< 5.PPM	< 5.PPM	32.PPM	30.PPM	21.PPM
		Rb	< 5.PPM	< 5.PPM								
	Zn	52.PPM	54.PPM	42.PPM	74.PPM	12.PPM	31.PPM	34.PPM	38.PPM	48.PPM	21.PPM	
	Cu	9.PPM	< 5.PPM	9.PPM	8.PPM	38.PPM	21.PPM					
	Ni	.19 %	.21 %	.24 %	.24 %	.15 %	.12 %	.28 %	.23 %	.21 %	.13 %	
	Cr	.56 %	.32 %	.32 %	1.29 %	.68 %	.31 %	.37 %	.58 %	.63 %	.22 %	
	V	38.PPM	24.PPM	32.PPM	83.PPM	36.PPM	42.PPM	27.PPM	61.PPM	73.PPM	35.PPM	
	Ba	< 10.PPM	< 10.PPM	< 10.PPM	< 10.PPM	33.PPM	40.PPM	28.PPM	20.PPM	35.PPM	27.PPM	
	Pb	< 10.PPM	< 10.PPM	< 10.PPM	< 10.PPM	< 10.PPM	< 10.PPM	< 10.PPM	< 10.PPM	< 10.PPM	< 10.PPM	
	Co	82.PPM	100.PPM	110.PPM	120.PPM	56.PPM	69.PPM	123.PPM	89.PPM	92.PPM	70.PPM	

BILAG 2 . - fortsettelse

BERGARTSBETEGNELSE og mineralfordeling		PRØVE-NR.										
prøve nr.		ELEMENT	N-103	T 1	T 2	1321	4044	LPN80-111	LPN80-116	LPN80-117	nr. 118	nr. 123
N 103	serpentinisert olivinrik ultra- mafitt med amfibolnåler som delvis er gått over til talk. ~40 % olivin ~40 % serpentin 5-10 % talk 5-10 % amfibol (akt-trem/anto- fyllitt)	SiO <sub>2</sub>	41.04 %	43.03 %	43.02 %	36.73 %	40.82 %	54.56 %	44.14 %	42.64 %	41.63 %	40.56 %
		Al <sub>2</sub> O <sub>3</sub>	.97 %	.50 %	.61 %	1.11 %	.76 %	3.91 %	.22 %	.52 %	.27 %	.94 %
		Fe <sub>2</sub> O <sub>3</sub> tot. FeO	8.01 % 3,79%	5.96 % 3,02%	7.86 % 4,10 %	8.88 % 3,30 %	8.58 % 2,57 %	7.41 %	8.43 %	7.92 %	7.78 %	16.11 %
		TiO <sub>2</sub>	.01 % <	.01 % <	.01 %	.02 %	.01 %	.10 % <	.01 % <	.01 % <	.01 % <	.05 %
		MgO	43.41 %	30.85 %	37.07 %	36.27 %	42.18 %	20.71 %	41.81 %	44.63 %	40.34 %	39.99 %
T 1	Kleberstein 65-70 % talk 30-35 % magnesitt ~5 % kloritt <1 % rester av olivin+pyroksen	CaO	.69 %	3.32 %	.09 %	1.18 %	.07 %	10.26 %	.04 %	.07 %	.10 %	2.55 %
		Na <sub>2</sub> O	< .1 % <	.1 %	.4 %	.1 %	< .1 %	.6 %	< .1 % <	.1 % <	.1 % <	.1 % <
T 2	serpentinitt	K <sub>2</sub> O	< .01 % <	.01 %	.03 % <	.01 %	< .01 %	.08 %	< .01 % <	.01 % <	.05 % <	.01 %
		MnO	.11 %	.11 %	.05 %	.10 %	.10 %	.18 %	.15 %	.11 %	.11 %	.24 %
1321	serpentinitt med litt karbonat ~90 % fibrig serpentin ~10 % karbonat (magnesitt/dol)	P <sub>2</sub> O <sub>5</sub>	< .01 % <	.01 %	.02 %	.01 %	< .01 %	.04 %	.01 %	.02 %	.01 %	.03 %
		glødetap	6.17 %	16.16 %	11.64 %	7.28 %	15.75 %	1.97 %	4.33 %	4.70 %	8.07 %	.09 %
4044	serpentinisert dunitt ~30 % olivin ~70 % serpentin	H <sub>2</sub> O <sup>+</sup>	4.47 %	3.59 %	9.68 %	7.51 %	6.57 %					
LPN80-111	>95 % aktinitt < 5 % hbl + biotitt	H <sub>2</sub> O <sup>±</sup>	.12 %	.06 %	.07 %	.05 %	.08 %					
SUM												
LPN80-116	talk og magnesittomvandlet harz- burgitt ~50 % olivin 20-30 % opx 10-20 % talk 10-20 % magnesitt	Nb	< 5.PPM	< 5.PPM	< 5.PPM	< 5.PPM	< 5.PPM	< 5.PPM	< 5.PPM	< 5.PPM	< 5.PPM	< 5.PPM
		Zr	16.PPM	12.PPM	15.PPM	9.PPM	10.PPM	22.PPM	13.PPM	11.PPM	11.PPM	24.PPM
LPN80-117	svakt fortalket harzburgitt ~50 % olivin ~30 % opx 10-20 % talk << 5 % kloritt < 5 % magnesitt	Y	< 5.PPM	< 5.PPM	< 5.PPM	< 5.PPM	5.PPM	21.PPM	6.PPM	< 5.PPM	< 5.PPM	5.PPM
		Sr	< 5.PPM	57.PPM	< 5.PPM	< 5.PPM	15.PPM	31.PPM	< 5.PPM	< 5.PPM	< 5.PPM	12.PPM
nr. 118	talk-, kloritt-og magnesittomv. harzburgitt > 70 % olivin < 10 % opx ~10 % talk ~10 % kloritt 5-10 % magnesitt	Rb	< 5.PPM	< 5.PPM	< 5.PPM	< 5.PPM	< 5.PPM	< 5.PPM	< 5.PPM	< 5.PPM	< 5.PPM	< 5.PPM
		Zn	30.PPM	14.PPM	29.PPM	28.PPM	45.PPM	74.PPM	46.PPM	41.PPM	43.PPM	85.PPM
nr. 123	dunitt/peridotitt ~90 % olivin 5-10 % cpx < 5 % opx 1-2 % hbl	Cu	< 5.PPM	< 5.PPM	< 5.PPM	< 5.PPM	7.PPM	12.PPM	7.PPM	< 5.PPM	5.PPM	9.PPM
		Ni	.15 %	.13 %	.17 %	.19 %	.17 %	.12 %	.23 %	.24 %	.22 %	.13 %
		Cr	.33 %	.16 %	.37 %	.28 %	.65 %	.27 %	.40 %	.31 %	.30 %	.40 %
		V	43.PPM	23.PPM	39.PPM	34.PPM	53.PPM	63.PPM	27.PPM	26.PPM	21.PPM	51.PPM
		Ba	32.PPM	12.PPM	32.PPM	20.PPM	62.PPM	15.PPM	< 10.PPM	< 10.PPM	< 10.PPM	13.PPM
		Pb	< 10.PPM	< 10.PPM	< 10.PPM	< 10.PPM	< 10.PPM	< 10.PPM	< 10.PPM	< 10.PPM	< 10.PPM	< 10.PPM
		Co	74.PPM	57.PPM	70.PPM	86.PPM	100.PPM	60.PPM	106.PPM	109.PPM	108.PPM	159.PPM

BILAG 2 . - fortsettelse

BERGARTSBETEGNELSE og mineralfordeling		PRØVE-NR.										
prøve nr.		ELEMENT	124	125	126	127	128	129	130	132	133a	134
124	smal gang av symplektittomv. pyroksenitt i dunitt/serp.hbl.-perid.	SiO <sub>2</sub>	38.35 %	51.99 %	40.82 %	37.59 %	41.21 %	42.76 %	41.27 %	43.11 %	33.79 %	39.39 %
125	delvis symplektittomv. hornblendepyroksenitt opx>cpx+hbl	Al <sub>2</sub> O <sub>3</sub>	1.63 %	4.24 %	1.12 %	1.50 %	16.51 %	2.88 %	2.74 %	3.64 %	.64 %	.10 %
126	svakt serpentinisert pyroksen-peridotitt 85 % olivin+serpentin 10-15 % cpx < 5 % hbl	Fe <sub>2</sub> O <sub>3</sub> tot. FeO	13.58 %	12.19 %	15.71 %	20.64 %	15.28 %	13.64 %	16.95 %	18.52 %	10.35 %	7.86 %
		TiO <sub>2</sub>	.07 %	.21 %	.06 %	.15 %	1.43 %	.18 %	.19 %	.70 %	.01 %	< .01 %
127	svakt sek.omvandlet (serpentin+hornblende+biotitt)lherzolitt/wehrlitt ol>>pyroksenrelikter+sek.hbl+sek.biotitt	MgO	41.95 %	25.17 %	38.78 %	37.46 %	7.60 %	27.35 %	33.35 %	24.80 %	34.60 %	47.35 %
		CaO	4.02 %	6.17 %	3.40 %	1.60 %	12.80 %	11.10 %	5.98 %	2.25 %	2.18 %	.20 %
128	omvandlet jotun-noritt (granulittisk gneis). omv. feltspat ~cpx-relikter + sekundær amfibol (inkl. hbl.)	Na <sub>2</sub> O	.1 %	.4 %	.1 %	.2 %	1.1 %	.3 %	< .1 %	.3 %	.1 %	< .1 %
		K <sub>2</sub> O	.10 %	.06 %	.03 %	.05 %	1.08 %	< .01 %	.02 %	.01 %	< .01 %	.03 %
129	svakt sek. omvandlet lherzolitt ol~cpx+hbl >opx aksess. biotitt	MnO	.20 %	.24 %	.23 %	.28 %	.14 %	.23 %	.25 %	.14 %	.17 %	.14 %
		P <sub>2</sub> O <sub>5</sub>	.02 %	.03 %	.04 %	.05 %	.31 %	.04 %	.03 %	.29 %	.04 %	.03 %
130	svakt biotittholdig lherzolitt 30-40% cpx 30-40% olivin 15-20% opx < 5% grønn spinell 2- 3% biotitt	glødetap	1.79 %	.06 %	.59 %	.66 %	2.42 %	.47 %	.25 %	7.27 %	18.64 %	4.10 %
		H <sub>2</sub> O <sup>+</sup> H <sub>2</sub> O <sup>±</sup>										
132	svakt karbonatisert serpentinkonglomerat 60-70% finkornet aggregat av talk, kloritt, amfibol og magnesitt ~10% større magnesittkorn 10-20% rel. mer grovkornete og renere partier av talk og kloritt <10% serpentin < 1% tremolitt-aktinolit	SUM										
		Nb	< 5.PPM	< 5.PPM	< 5.PPM	6.PPM	< 5.PPM					
133a	sterkt karbonatisert serpentinkonglomerat 60-70% finkornet aggregat av talk, kloritt, amfibol og magnesitt ~10% større magnesittkorn 10-20% rel. mer grovkornete og renere partier av talk og kloritt <10% serpentin < 1% tremolitt-aktinolit	Zr	23.PPM	22.PPM	18.PPM	40.PPM	31.PPM	46.PPM	24.PPM	23.PPM	5.PPM	14.PPM
		Y	6.PPM	10.PPM	7.PPM	5.PPM	12.PPM	13.PPM	9.PPM	7.PPM	< 5.PPM	< 5.PPM
134	svakt serpentinisert dunitt ~80% olivin ~20% serpentin	Sr	41.PPM	30.PPM	14.PPM	47.PPM	.18 %	98.PPM	53.PPM	112.PPM	24.PPM	< 5.PPM
		Rb	< 5.PPM	< 5.PPM	< 5.PPM	< 5.PPM	26.PPM	< 5.PPM				
		Zn	76.PPM	81.PPM	88.PPM	147.PPM	118.PPM	92.PPM	104.PPM	173.PPM	89.PPM	46.PPM
		Cu	74.PPM	14.PPM	12.PPM	38.PPM	839.PPM	8.PPM	21.PPM	845.PPM	13.PPM	< 5.PPM
		Ni	.12 %	342.PPM	.12 %	927.PPM	124.PPM	295.PPM	725.PPM	.11 %	.21 %	.24 %
		Cr	.39 %	483.PPM	.38 %	.34 %	51.PPM	759.PPM	.25 %	.18 %	.65 %	.44 %
		V	59.PPM	163.PPM	59.PPM	77.PPM	423.PPM	100.PPM	110.PPM	83.PPM	44.PPM	13.PPM
		Ba	26.PPM	25.PPM	14.PPM	45.PPM	471.PPM	19.PPM	21.PPM	12.PPM	63.PPM	< 10.PPM
		Pb	< 10.PPM									
		Co	130.PPM	70.PPM	151.PPM	170.PPM	55.PPM	109.PPM	132.PPM	166.PPM	108.PPM	125.PPM

BILAG 2 . - fortsettelse

BERGARTSBETEGNELSE og mineralfordeling		PRØVE-NR.										
prøve nr.		ELEMENT	135	149	150	151	152	153	154	155	157	158
135	svakt serpentinisert dunitt 70-80% olivin 20-30% serpentin	SiO <sub>2</sub>	39.62 %	38.00 %	38.44 %	39.21 %	38.96 %	53.92 %	38.03 %	41.99 %	46.88 %	45.11 %
		Al <sub>2</sub> O <sub>3</sub>	.12 %	4.56 %	7.62 %	6.98 %	6.59 %	23.28 %	2.44 %	4.43 %	16.42 %	5.89 %
		Fe <sub>2</sub> O <sub>3</sub> +wt. FeO	6.17 %	24.94 %	22.62 %	23.99 %	22.95 %	3.54 %	20.58 %	16.86 %	14.13 %	14.13 %
149	særlig oksydrik olivin- websteritt	TiO <sub>2</sub>	< .01 %	1.07 %	1.17 %	1.23 %	1.13 %	.12 %	.09 %	.54 %	1.15 %	.84 %
		MgO	47.98 %	17.60 %	14.91 %	15.58 %	15.48 %	3.51 %	37.79 %	30.17 %	7.50 %	17.99 %
150	særlig oksydrik websteritt (hornblendeførende og svakt symplekttittomvandlet)	CaO	.04 %	12.97 %	12.61 %	12.90 %	13.27 %	9.00 %	1.43 %	3.98 %	9.79 %	14.80 %
		Na <sub>2</sub> O	< .1 %	.7 %	.3 %	.8 %	.9 %	5.0 %	.1 %	.4 %	2.9 %	.8 %
151	websteritt (særlig oksydrik, svakt symplekttittomvandlet, hbl og olivinførende)	K <sub>2</sub> O	.02 %	.05 %	.07 %	.08 %	.09 %	.49 %	.03 %	.32 %	1.27 %	.18 %
		MnO	.11 %	.20 %	.20 %	.22 %	.19 %	.08 %	.27 %	.22 %	.22 %	.19 %
		P <sub>2</sub> O <sub>5</sub>	.03 %	.04 %	.06 %	.06 %	.06 %	.03 %	.04 %	.16 %	.37 %	.04 %
152	websteritt (særlig oksydrik; hbl-, oli- vin- og biotittførende; meget svak symplekttiddannelse)	glødetap	4.43 % †	.55 %	.05 % †	.46 % †	.34 %	.45 % †	.36 %	.92 %	.75 %	1.33 %
		H <sub>2</sub> O <sup>+</sup>										
		H <sub>2</sub> O <sup>±</sup>										
153	lys jotun-noritt/gabbro (nesten en anorthositt)	SUM										
154	pyroksen-hbl-peridotitt (el. olivinrik lherzolitt med sekundær hornblende- dannelse)	Nb	< 5.PPM	8.PPM	< 5.PPM							
		Zr	13.PPM	28.PPM	32.PPM	29.PPM	30.PPM	15.PPM	21.PPM	32.PPM	62.PPM	35.PPM
		Y	< 5.PPM	11.PPM	12.PPM	12.PPM	11.PPM	< 5.PPM	5.PPM	14.PPM	34.PPM	16.PPM
155	pyroksen-hbl-peridotitt (el. olivinrik harzburgitt; sekundær hornblendedan- nelse)	Sr	< 5.PPM	73.PPM	367.PPM	265.PPM	241.PPM	.18 %	27.PPM	224.PPM	.10 %	221.PPM
		Rb	< 5.PPM	21.PPM	< 5.PPM							
157	biotitt og hbl-førende jotungabbro (sekundær bio- titt og hbl-dannelse)	Zn	31.PPM	104.PPM	101.PPM	107.PPM	96.PPM	30.PPM	154.PPM	113.PPM	137.PPM	72.PPM
		Cu	6.PPM	131.PPM	.15 %	768.PPM	858.PPM	12.PPM	20.PPM	15.PPM	261.PPM	55.PPM
158	olivin-hbl-pyroksenitt (primært en olivinwebste- ritt)	Ni	.27 %	135.PPM	93.PPM	96.PPM	109.PPM	23.PPM	.12 %	482.PPM	43.PPM	157.PPM
		Cr	.32 %	243.PPM	137.PPM	132.PPM	191.PPM	44.PPM	.40 %	.13 %	30.PPM	539.PPM
		V	7.PPM	841.PPM	900.PPM	920.PPM	848.PPM	51.PPM	97.PPM	171.PPM	317.PPM	290.PPM
		Ba	< 10.PPM	22.PPM	64.PPM	63.PPM	65.PPM	733.PPM	21.PPM	233.PPM	852.PPM	125.PPM
		Pb	< 10.PPM									
		Co	121.PPM	104.PPM	93.PPM	104.PPM	97.PPM	11.PPM	187.PPM	127.PPM	46.PPM	71.PPM

BILAG 2 . - fortsettelse

BERGARTSBETEGNELSE og mineralfordeling		PRØVE-NR.										
prøve nr.		ELEMENT	159	160	161	162	164a	165	166	167a	170b	172b
159	olivin-hbl-pyrokse-nitt (primært en olivinwebste-ritt)	SiO <sub>2</sub>	45.62 %	37.29 %	39.43 %	43.73 %	44.43 %	52.42 %	38.54 %	45.41 %	39.75 %	33.16 %
		Al <sub>2</sub> O <sub>3</sub>	6.12 %	.87 %	.98 %	2.29 %	1.35 %	13.37 %	.52 %	3.13 %	.62 %	.77 %
160	svakt serpentinisert hbl-peridotitt	Fe <sub>2</sub> O <sub>3</sub> +FeO	12.50 %	16.01 %	15.26 %	11.36 %	11.19 %	12.82 %	7.17 %	6.80 %	6.55 %	4.68 %
		TiO <sub>2</sub>	.80 %	.04 %	.04 %	.13 %	.04 %	1.32 %	< .01 %	.18 %	< .01 %	.02 %
161	svakt serpentinisert hbl-peridotitt	MgO	17.74 %	40.15 %	41.42 %	27.95 %	33.04 %	6.22 %	38.61 %	26.55 %	35.67 %	35.89 %
162	lherzolitt med sterk symple-tittdannelse	CaO	15.00 %	1.40 %	1.27 %	10.06 %	.41 %	9.84 %	.05 %	4.42 %	.50 %	4.63 %
		Na <sub>2</sub> O	.9 %	.6 %	< .1 %	< .1 %	< .1 %	2.1 %	< .1 %	.1 %	< .1 %	.1 %
		K <sub>2</sub> O	.27 %	.06 %	.05 %	.03 %	.02 %	.13 %	< .01 %	< .01 %	< .01 %	.02 %
164a	serp.kgl. (sterkt karbonat- ~40% serpentin isert og 30-40% magnesitt fortalket); 10-20% talk 5-10% sek.mt. ~5% kloritt	MnO	.21 %	.23 %	.22 %	.18 %	.08 %	.21 %	.14 %	.13 %	.11 %	.13 %
		P <sub>2</sub> O <sub>5</sub>	.03 %	.03 %	.05 %	.02 %	< .01 %	.10 %	.02 %	.05 %	.01 %	.02 %
165	foliert grønnstein 25-35% feltspat + kvarts(?) 50-60% hbl + ev. noe kloritt < 5% sek. penninitt på sprekker ~10% epidot	glødetap	1.57 %	1.80 %	1.85 %	3.62 %	9.80 %	3.60 %	15.08 %	11.85 %	15.91 %	21.72 %
		H <sub>2</sub> O <sup>+</sup>										
		H <sub>2</sub> O <sup>-</sup>										
		SUM										
166	delvis karbonatisert serpentinit ~80% serpentin ~20% magnesitt < 1% pyrokse-nirelikter	Nb	< 5.PPM									
		Zr	36.PPM	13.PPM	19.PPM	13.PPM	6.PPM	78.PPM	14.PPM	59.PPM	12.PPM	15.PPM
		Y	19.PPM	< 5.PPM	< 5.PPM	9.PPM	< 5.PPM	38.PPM	5.PPM	7.PPM	< 5.PPM	6.PPM
167a	167a: kleberstein 40-50% talk 15-25% kloritt 30-40% magnesitt + dolomitt (magnesitt delen > dolomitt delen)	Sr	276.PPM	31.PPM	24.PPM	51.PPM	6.PPM	220.PPM	< 5.PPM	49.PPM	6.PPM	28.PPM
		Rb	< 5.PPM									
		Zn	78.PPM	91.PPM	91.PPM	66.PPM	34.PPM	112.PPM	37.PPM	42.PPM	29.PPM	27.PPM
170b	170b: serpentinkonglomerat. total-sammensetning: ~50% karbonat 20-30% serpentin ~30% talk 5-10% kloritt akess. opx-relikt (ett korn)	Cu	17.PPM	11.PPM	10.PPM	6.PPM	< 5.PPM	90.PPM	< 5.PPM	< 5.PPM	< 5.PPM	< 5.PPM
		Ni	187.PPM	.12 %	.11 %	597.PPM	.25 %	70.PPM	.25 %	.15 %	.20 %	.18 %
		Cr	541.PPM	.30 %	.32 %	.27 %	.54 %	106.PPM	.27 %	.23 %	.29 %	.22 %
		V	241.PPM	35.PPM	33.PPM	98.PPM	72.PPM	373.PPM	30.PPM	65.PPM	45.PPM	61.PPM
172b	172b: omvandlet serpentinkonglom, totalt: 40-45% serpentin 10-20% talk 40-45% karbonat boller: en blanding av serpentin og talk/karbonat matriks: mest karbonat, men også noe serpentin	Ba	202.PPM	65.PPM	27.PPM	31.PPM	< 10.PPM	16.PPM	< 10.PPM	< 10.PPM	11.PPM	< 10.PPM
		Pb	< 10.PPM									
		Co	66.PPM	163.PPM	173.PPM	98.PPM	109.PPM	48.PPM	121.PPM	75.PPM	96.PPM	90.PPM

BILAG 2 . - fortsettelse

BERGARTSBETEGNELSE og mineralfordeling		PRØVE-NR.										
prøve nr.		ELEMENT	173	174	175	176	177	179	180	181	185 a	185 c
173	Lherzolitt med begynnende hbl-dannelse 10-20% cpx, 5-10% hbl 20-30% opx, 50-60% olivin	SiO <sub>2</sub>	45.48 %	40.98 %	45.88 %	42.94 %	40.88 %	48.16 %	38.99 %	40.10 %	38.55 %	37.08 %
	174	Lherzolitt med begynnende hbl-dannelse; svak symplektitt-dannelse langs korn grense 50-60% olivin 20-30% opx 10-15% ? cpx < 5% hbl.	Al <sub>2</sub> O <sub>3</sub>	4.54 %	1.71 %	2.85 %	2.35 %	3.27 %	5.00 %	4.06 %	.84 %	.37 %
175		Svakt serpentinisert olivinwebsteritt/olivinklinopyroksenitt m. små mengder opx svak symplektitt-dannelse langs korn grensene 50-60% cpx ~30% olivin ~5% opx 5-10% serpentin	Fe <sub>2</sub> O <sub>3</sub> tot. FeO	16.39 %	16.67 %	10.43 %	13.35 %	15.96 %	10.78 %	10.99 %	8.53 %	8.47 %
	176	Svakt serpentinisert olivinwebsteritt/olivinklinopyroksenitt m. små mengder opx svak symplektitt-dannelse langs korn grensene 50-60% cpx ~30% olivin ~5% opx 5-10% serpentin	TiO <sub>2</sub>	.31 %	.09 %	.19 %	.16 %	.17 %	.24 %	.29 %	.05 %	< .01 %
177		Svakt serpentinisert lherzolitt med begynnende symplektitt-dannelse langs korn grensene 40-50% olivin 10-20% opx 30-40% cpx 5-10% serpentin	MgO	27.09 %	38.27 %	26.45 %	30.94 %	30.25 %	28.96 %	29.29 %	29.69 %	44.57 %
	179-I, II	Sek. omvandlet peridotitt	CaO	7.15 %	3.19 %	12.86 %	9.09 %	1.99 %	.12 %	.84 %	3.74 %	.12 %
179-I, II		179-1: Kleberstein (særlig klorittrik) 50-60% talk 40-50% kloritt <5% karbonat	Na <sub>2</sub> O	.3 %	.2 %	.2 %	< .1 %	.1 %	.2 %	.6 %	.3 %	< .1 %
	180	179-2: kleberstein (særlig klorittrik) 60-70% talk 30-40% kloritt <5% karbonat	K <sub>2</sub> O	.07 %	.04 %	< .01 %	< .01 %	< .01 %	< .01 %	.02 %	.02 %	< .01 %
181		Kleberstein 30-40% talk 10-20% kloritt ~50% karbonat; herav 2-3% av dolomittkomponenten iflg. kjemisk analyse; resten er magnesitt	MnO	.24 %	.24 %	.18 %	.20 %	.17 %	.09 %	.13 %	.14 %	.15 %
	185-a 185-c	Kleberstein 60-70% talk 30-40% magnesitt + litt dolomitt <5% kloritt	P <sub>2</sub> O <sub>5</sub>	.06 %	.05 %	.02 %	.02 %	.06 %	.05 %	.04 %	.05 %	< .01 %
} serp.dunitt (~50% olivin/serpentin)		glødetap	± .36 %	± .51 %	.96 %	1.04 %	7.33 %	6.74 %	13.50 %	16.28 %	6.75 %	7.10 %
		H <sub>2</sub> O <sup>+</sup>										
		H <sub>2</sub> O <sup>±</sup>										
		SUM										
		Nb	< 5.PPM	< 5.PPM	< 5.PPM	< 5.PPM	< 5.PPM	5.PPM	5.PPM	< 5.PPM	< 5.PPM	< 5.PPM
		Zr	20.PPM	18.PPM	23.PPM	14.PPM	20.PPM	88.PPM	66.PPM	15.PPM	17.PPM	11.PPM
		Y	10.PPM	5.PPM	11.PPM	8.PPM	5.PPM	13.PPM	6.PPM	< 5.PPM	< 5.PPM	< 5.PPM
		Sr	84.PPM	37.PPM	81.PPM	39.PPM	8.PPM	74.PPM	25.PPM	65.PPM	< 5.PPM	< 5.PPM
		Rb	< 5.PPM	< 5.PPM	< 5.PPM	< 5.PPM	< 5.PPM	< 5.PPM	< 5.PPM	< 5.PPM	< 5.PPM	< 5.PPM
		Zn	77.PPM	97.PPM	60.PPM	73.PPM	115.PPM	68.PPM	51.PPM	41.PPM	42.PPM	33.PPM
		Cu	8.PPM	16.PPM	6.PPM	< 5.PPM	46.PPM	5.PPM	< 5.PPM	7.PPM	9.PPM	6.PPM
		Ni	492.PPM	.12 %	547.PPM	590.PPM	509.PPM	.19 %	.20 %	.25 %	.25 %	.25 %
		Cr	998.PPM	.54 %	.29 %	.22 %	.23 %	.61 %	.25 %	.41 %	.28 %	.57 %
		V	181.PPM	80.PPM	109.PPM	98.PPM	91.PPM	71.PPM	82.PPM	34.PPM	20.PPM	19.PPM
		Ba	65.PPM	40.PPM	14.PPM	14.PPM	31.PPM	151.PPM	23.PPM	< 10.PPM	< 10.PPM	< 10.PPM
		Pb	< 10.PPM	< 10.PPM	< 10.PPM	< 10.PPM	< 10.PPM	< 10.PPM	< 10.PPM	< 10.PPM	< 10.PPM	< 10.PPM
		Co	96.PPM	144.PPM	81.PPM	114.PPM	114.PPM	93.PPM	104.PPM	109.PPM	101.PPM	112.PPM

Bilag 2, s. 10

BILAG 2 . - fortsettelse

BERGARTSBETEGNELSE og mineralfordeling		PRØVE-NR.										
prøve nr.		ELEMENT	188 A	188 B	189	191	192	193 A	193 B	194 B	195 A	196 A
188 A	188a: serpentinisert dunitt ~60% olivin ~40% serpentin	SiO <sub>2</sub>	40.57 %	39.92 %	42.23 %	35.10 %	39.93 %	59.15 %	59.27 %	47.49 %	38.46 %	57.99 %
188 B	188b: serpentinisert dunitt/ harzburgitt ~50% olivin ~50% serpentin <5% opx <1% cpx (ett korn observert)	Al <sub>2</sub> O <sub>3</sub>	.14 %	.37 %	.91 %	.44 %	.08 %	.22 %	1.46 %	1.08 %	.05 %	3.30 %
		Fe <sub>2</sub> O <sub>3 tot.</sub> FeO	8.13 %	8.14 %	2.65 %	6.99 %	6.96 %	3.72 %	3.74 %	5.95 %	8.72 %	6.95 %
189	Rene asbestfibre (krysotilasbest)	TiO <sub>2</sub>	< .01 %	< .01 %	< .01 %	< .01 %	< .01 %	< .01 %	.02 %	.03 %	< .01 %	.19 %
		MgO	45.60 %	42.25 %	41.52 %	34.50 %	47.91 %	29.44 %	29.37 %	24.39 %	46.20 %	22.95 %
191	Kleberstein 50-60% talk ~40% magnesitt <5% kloritt	CaO	.05 %	.70 %	.07 %	.12 %	.03 %	.05 %	.32 %	13.26 %	.07 %	1.17 %
		Na <sub>2</sub> O	< .1 %	< .1 %	< .1 %	< .1 %	< .1 %	.4 %	.7 %	.4 %	< .1 %	.7 %
192	serpentinisert dunitt m.svak kromittimpregnasjon 70-75% olivin 25-30% serpentin	K <sub>2</sub> O	< .01 %	< .01 %	.02 %	< .01 %	< .01 %	.03 %	.04 %	.02 %	< .01 %	.77 %
		MnO	.10 %	.19 %	.03 %	.08 %	.16 %	< .01 %	.02 %	.13 %	.18 %	.08 %
193 A	193 A: talkskifer(nesten ren talk) spalter opp i løvtynne blad	P <sub>2</sub> O <sub>5</sub>	.01 %	.01 %	< .01 %	.01 %	.03 %	< .01 %	.02 %	.02 %	.02 %	.06 %
		glødetap	5.70 %	6.90 %	12.26 %	24.63 %	3.55 %	5.69 %	4.54 %	7.59 %	4.53 %	4.06 %
193 B	193 B: massiv, nesten ren talk >95% talk, <5% kloritt	H <sub>2</sub> O <sup>+</sup>										
194 B	194 B: sek. omvandlet klinopyrok- senitt ~20% cpx-relikter 20-30% karbonat 20-30% kloritt 20-30% sek.farveløs amfibol+ sek. amfibol i en ekstra finkornet masse	H <sub>2</sub> O <sup>-</sup>										
		SUM										
195 A	195 A: serpentinisert dunitt 65-70% olivin 30-35% serpentin	Nb	< 5.PPM	6.PPM								
		Zr	12.PPM	11.PPM	12.PPM	13.PPM	15.PPM	10.PPM	11.PPM	14.PPM	16.PPM	90.PPM
196 A	196 A: Kleberstein (dårlig kvali- tet) 50-60% talk ~15% kloritt 10-15% feltspat + kvarts (?) 2-4% epidot 15-20% svakt grønn amfibol (hbl)	Y	< 5.PPM	6.PPM	< 5.PPM	13.PPM						
		Sr	< 5.PPM	7.PPM	< 5.PPM	28.PPM	< 5.PPM	29.PPM				
		Rb	< 5.PPM	30.PPM								
		Zn	38.PPM	41.PPM	23.PPM	32.PPM	34.PPM	33.PPM	38.PPM	36.PPM	43.PPM	71.PPM
		Cu	6.PPM	< 5.PPM	< 5.PPM	6.PPM	< 5.PPM	< 5.PPM	< 5.PPM	80.PPM	13.PPM	7.PPM
		Ni	.28 %	.21 %	.10 %	.13 %	.26 %	.15 %	.15 %	536.PPM	.26 %	.19 %
		Cr	.27 %	.31 %	444.PPM	.34 %	.21 %	.23 %	129.PPM	.27 %	.38 %	.23 %
		V	14.PPM	28.PPM	29.PPM	25.PPM	9.PPM	26.PPM	< 5.PPM	74.PPM	14.PPM	41.PPM
		Ba	< 10.PPM	136.PPM								
		Pb	< 10.PPM									
		Co	125.PPM	118.PPM	47.PPM	67.PPM	119.PPM	69.PPM	70.PPM	55.PPM	153.PPM	90.PPM

BILAG 2 . - fortsettelse

BERGARTSBETEGNELSE og mineralfordeling		PRØVE-NR.									
prøve nr.		ELEMENT	197A	197B	199	201A	201B	207 p.	KT 8001	KT 8002	277
197A	197 A: Kleber (finkornet aggregat) av uorienterte korn av talk, kloritt, karbonat og amfibol (hbl) i omtrent like store mengder)	SiO <sub>2</sub>	42.32 %	50.76 %	40.68 %	44.18 %	42.59 %	38.05 %	38.95 %	44.37 %	42.07 %
	20-30% talk	Al <sub>2</sub> O <sub>3</sub>	4.57 %	5.64 %	1.88 %	1.08 %	.41 %	.25 %	5.13 %	3.91 %	.53 %
	20-30% kloritt	Fe <sub>2</sub> O <sub>3</sub> tot.	7.47 %	8.22 %	11.65 %	7.46 %	7.98 %	8.50 %	18.99 %	11.67 %	8.46 %
	20-30% karbonat	FeO	.22 %	.23 %	.13 %	.02 %	.02 %	< .01 %	.16 %	.24 %	< .01 %
	20-30% sek. amfibol (hbl)	TiO <sub>2</sub>									
197 B	197 B: Kleber (hbl-kloritt-talk-aggregat med litt feltspat) ~50% talk + kloritt (intimt sammenvokst) herav ca 2/3 kloritt og 1/3 talk	MgO	22.31 %	22.68 %	42.86 %	42.27 %	46.04 %	42.50 %	31.34 %	24.16 %	43.51 %
	40-50% sek. amfibol (hbl)	CaO	9.98 %	7.23 %	.25 %	1.78 %	1.41 %	.14 %	5.81 %	12.25 %	.04 %
	2-4% feltspat (albitt)	Na <sub>2</sub> O	.9 %	.4 %	< .1 %	.1 %	< .1 %	< .1 %	.9 %	.5 %	.2 %
199	Svakt sek. omvandlet harzburgitt	K <sub>2</sub> O	.04 %	.03 %	< .01 %	.03 %	.02 %	< .01 %	.06 %	.18 %	< .01 %
	50-60% olivin	MnO	.15 %	.16 %	.14 %	.14 %	.13 %	.14 %	.26 %	.18 %	.10 %
	20-30% opx-relikter	P <sub>2</sub> O <sub>5</sub>	.05 %	.05 %	.05 %	.03 %	.04 %	.01 %	.04 %	.04 %	< .01 %
	20-30% nåler/fliser av antofyllitt (dannet på bekostning av opx)	glødetap	11.14 %	4.37 %	1.84 %	1.72 %	1.08 %	8.80 %	÷ .44 %	1.90 %	? 2.93 % ?
201A	201 A: Amfibol-olivinbergart	H <sub>2</sub> O <sup>+</sup>									
	50-60% olivin	H <sub>2</sub> O <sup>±</sup>									
	30-40% nåler av aktinolit-tremolitt + evt. noe antofyllitt	SUM									
	5-10% kloritt?										
201B	201 B: Kontakten mellom dunitt (øvre halvdel av slipet) og orthopyroksenitt/olivinorthopyroksenitt med begynnende amfiboldannelse (nedre halvdel av slipet)	Nb	< 5.PPM	< 5.PPM	5.PPM	< 5.PPM	< 5.PPM	< 5.PPM	< 5.PPM	< 5.PPM	< 5.PPM
	Øvre halvdel	Zr	32.PPM	40.PPM	32.PPM	17.PPM	16.PPM	21.PPM	22.PPM	19.PPM	9.PPM
	80-90% olivin	Y	13.PPM	13.PPM	< 5.PPM	6.PPM	< 5.PPM	< 5.PPM	11.PPM	12.PPM	< 5.PPM
	10-20% kloritt	Sr	646.PPM	32.PPM	< 5.PPM	73.PPM	383.PPM	10.PPM	43.PPM	68.PPM	< 5.PPM
	Nedre halvdel	Rb	< 5.PPM								
	~70% opx	Zn	54.PPM	63.PPM	57.PPM	44.PPM	46.PPM	28.PPM	155.PPM	65.PPM	29.PPM
	10-15% olivin	Cu	9.PPM	10.PPM	34.PPM	5.PPM	24.PPM	9.PPM	23.PPM	11.PPM	? 125.PPM ?
	10-15% sek. amfibol	Ni	.12 %	.11 %	.19 %	.23 %	.25 %	.29 %	449.PPM	447.PPM	.22 %
	<5% klorittdannelse langs kontakten mellom olivin og opx-korn	Cr	.39 %	.40 %	.53 %	.35 %	.12 %	.37 %	80.PPM	.21 %	.28 %
207p.	207 p: sekundært omvandlet ultramafitt	V	91.PPM	103.PPM	35.PPM	42.PPM	20.PPM	18.PPM	118.PPM	176.PPM	27.PPM
	~50% olivin	Ba	< 10.PPM	< 10.PPM	< 10.PPM	< 10.PPM	101.PPM	< 10.PPM	14.PPM	42.PPM	< 10.PPM
	25-35% talk	Pb	< 10.PPM								
	15-20% karbonat (magnesitt)	Co	68.PPM	63.PPM	128.PPM	98.PPM	117.PPM	123.PPM	179.PPM	92.PPM	103.PPM
KT8001	Svakt serpentinisert lherzolitt olivin > opx > spinell/kromitt/ (ca. 5-10% tils. av oksyder) mt										
KT8002	Sterkt symplektittomvandlet olivinklinopyroksenitt										
277	serpentinitt/(serp. dunitt)										

Bilag 2, s. 12

< 5. PPM Mo  
< 10. PPM Sn

## Bilag 3

Mikrosondeanalyse av kromittkorn i krommalm og svake kromitt-mineraliseringer i dunit. Jfr. tegning 1709/D - 26.

Slip nr./ punkt nr. i slipet	Lokalitet	Malm/ mineralisering	Analyserte oksydfase	Sammensetningen av hovedelementer i vekt- % i analysepunktet			
				Cr <sub>2</sub> O <sub>3</sub>	FeO	Al <sub>2</sub> O <sub>3</sub>	MgO
N 61/1	Krosshø	1 cm tykk kromitt-	fk/kmt	15,8	72,7	0,2	2,4
" /2	N for Grotli	åre i dunit	"	14,6	74,5	0,1	2,0
N 66/1	Dørkampen	Impregmasjonsmalm/	fk	49,3	32,7	6,6	7,4
" /2	skjerp, Skjåk	massivmalm	k	53,4	24,5	12,0	9,8
" /3			fk	33,2	54,5	2,1	5,3
N 68/1	"	massivmalm	k/fk	51,5	34,0	4,4	7,3
" /2			k/fk	50,1	35,7	4,5	7,2
" /4			k	56,6	24,2	8,6	8,9
" /5			k	57,3	22,8	9,2	9,3
N 69/1	"	2-3 cm tykk kromitt-	k	51,8	25,0	12,7	9,0
" /2		åre	k	54,8	24,9	10,6	8,5
Å 72/1	Kjerringtjønni	1-3 mm tykk kromitt-	fk	49,7	30,7	14,6	3,2
" /2	NV for Grotli	åre i peridotitt	fk	49,0	31,5	14,6	2,7
N 93/1	Skamsdalen	Impregnasjonsmalm/	k	47,0	13,8	23,6	16,0
" /3	kromgruve,	massivmalm	fk	41,2	32,5	6,2	13,2
" /4	Lesja		fk	45,7	33,2	6,5	10,8
N 93B/1	"	Massivmalm	k	46,2	15,2	22,6	14,4
" /2			k	47,3	14,1	22,7	16,6
" /3			k	47,1	14,1	22,8	14,7
" /4			k	46,9	15,2	22,1	14,8
" /5			k	48,5	12,1	16,9	15,6
" /6			fk	48,5	24,6	12,7	13,2

## Bilag 3 (fortsettelse)

Slip nr./ punkt nr. i slipet	Lokalitet	Malm/ mineralisering	Analyserte oksydfase	Sammensetningen av hovedelementer i vekt-			
				% i analysepunktet			
				Cr <sub>2</sub> O <sub>3</sub>	FeO	Al <sub>2</sub> O <sub>3</sub>	MgO
N 97/1	Olstad krom-	Impregnasjonsmalm/	k	55,7	11,9	12,6	13,9
" /2	gruve, Lesje-	massivmalm	k	55,9	15,1	14,1	14,4
" /3	horrungane		k	55,1	16,2	13,0	14,3
" /4			fk	52,1	32,4	1,3	10,1
186a/1-1	Raudhamran,	Impregnasjonsmalm	k	55,9	20,5	13,1	8,0
" /1-2	Haverdalen,		k	54,8	26,9	9,9	7,1
" /1-3	Dovre		k	54,9	22,7	12,3	8,3
" /1-4			k	54,7	22,4	13,2	8,0
" /1-5			fk	50,6	37,2	3,3	5,1
" /2-1			k	55,3	20,2	13,7	9,7
" /2-2			fk/kmt	18,6	70,8	0,3	2,2
" /2-3			k	55,3	19,1	13,1	10,5
187II/1	"	Fattig kromitt-	k	51,1	22,4	12,6	9,8
" /2		impregnasjon i serp.	fk	36,2	54,9	0,3	3,7
" /3		dunitt	fk	50,6	35,6	5,2	5,8
" /4			k	55,6	22,0	13,4	9,2
" /5			k	55,7	22,3	13,3	9,1
" /6			k	55,8	21,7	13,2	9,9
203c/1	Aurtand krom-	Svak impregnasjons-	fk	41,6	47,5	0,9	5,3
" /2	gruve, Lesje-	malm	fk	41,0	47,4	0,9	5,4
" /3	horrungane		fk	42,4	45,4	2,3	6,1
" /4			fk	41,6	48,1	0,8	5,3
207a/1	Severine	Kraftig impregna-	k	51,3	24,6	12,7	10,9
" /2	kromskjerp,	sjonsmalm	fk	48,1	37,1	4,0	7,8
" /3	Lesje-		k	51,2	19,4	16,6	12,0
" /4	horrungane		k	50,9	23,1	13,8	11,0
" /5			fk	48,0	37,2	3,0	7,7

Følgende symboler er brukt: k: kromitt fk: ferrikromitt kmt: krommagnetitt

#### Bilag 4

Mikrosondeanalyse av oksyder og pyroksen i websteritt (pyroksenitt) fra Gråsubekken i Veodalen

#### Slip nr. 150 a

punkt nr.	analysert fase		gehalter i vekt-%						Sum
			MgO	Al <sub>2</sub> O <sub>3</sub>	TiO <sub>2</sub>	Cr <sub>2</sub> O <sub>3</sub>	MnO	FeO	
1	Al-spinell	Mg <sub>0,7</sub> Fe <sub>0,3</sub> Al <sub>2</sub> O <sub>4</sub>	17,2	63,0	-	0,1	0,2	19,4	99,9
2	"	"	17,1	63,9	-	0,1	0,2	19,4	100,7
3	magnetitt		0,5	0,2	2,6	0,1	0,2	88,3	91,9
4	"		0,8	0,7	2,9	0,1	0,4	86,4	91,3

		gehalter i vekt-%									Sum
		Na <sub>2</sub> O	MgO	Al <sub>2</sub> O <sub>3</sub>	TiO <sub>2</sub>	MnO	FeO	CaO	K <sub>2</sub> O	SiO <sub>2</sub>	
5	Titanholdig augitt	2,4	14,6	16,6	2,9	0,1	8,9	11,6	1,2	40,6	98,9

Punkt 1 og 2 ligger i en Al-spinell med ca. 70 mol-% av spinell-komponenten (Mg Al<sub>2</sub>O<sub>4</sub>) og ca. 30 mol-% av hercynitt-komponenten (Fe<sup>2+</sup>Al<sub>2</sub>O<sub>4</sub>).

Punkt 3 og 4 ligger i en titanholdig magnetitt. Det ble ikke observert ilmenitt-avblandingslameller i magnetitten.

Al-spinellen og magnetitten forekommer alltid side om side eller den ene fasen opptrer som inneslutninger i den andre. De to fasene må ha blitt utskilt fra en felles restsmelte som har størknet etter at silikatene var dannet. Ca. 60% av silikatmassen består av cpx. Resten er opx og litt hbl. Klinopyroksen (punkt 5) er en Ti-holdig augitt (Wo<sub>30</sub>En<sub>52</sub>Fs<sub>18</sub>).

## Bilag 5

Mikrosondeanalyse av sulfider i ultramafiske bergarter. Jfr. tegning 1709/D-24 og-27.

Slip nr. (lok.nr.)/ ev. delområde i slipet/ punkt nr.	Bergart	Analyserte sulfidfase	S	Fe	Co	Ni	Cu	Sum
Slip 54/pkt. 1		ptl	33,3	31,9	0,9	33,9		100,0
" / " 2	Svakt talk og	porøs ptl under nedbryting	30,5	30,1	0,7	30,2		91,5
" / " 3	kloritt-	ptl	32,9	32,4	0,3	34,1		99,7
" / " 4	førende dunitt	porøs ptl under nedbryting	31,6	30,5	0,3	32,4		94,8
" / " 5		ptl	33,1	32,0	0,2	34,0		99,3
" / " 6		ptl	33,1	31,6	0,3	34,3		99,3
Slip 56/amr. 1/pkt. 2		ptl	32,3	35,2	0,7	27,8		96,0
" / " / " 3		ptl	32,8	34,4	0,3	31,4		98,9
" / " / " 4	talk og	ptl	32,8	32,7	0,5	32,5		98,5
" / " / " 5	karbonat-	po	35,9	62,8	0,1	0,1		98,9
" / " / " 6	omvandlet	po	36,1	62,6	0,1	0,1		98,9
" /amr. 2/ " 1	peridotitt	ptl	32,8	32,5	0,1	32,7		98,1
" / " / " 2		ptl	33,8	34,8	0,3	25,0		93,9
Slip 90/amr. 1/pkt. 1	delvis talk-,	ptl	33,3	31,9	2,1	32,5		99,8
" / " / " 2	kloritt- og	ptl	33,1	31,3	2,1	32,6		99,1
" /amr. 2/ " 1	magnesitt-	ptl	33,1	32,6	1,1	32,5		99,3
" / " / " 3	omvandlet serpentinitt	ptl	33,4	31,6	1,0	31,1		97,1
Slip 94/pkt. 1	kleberstein	ptl	32,9	32,5	1,3	30,2		96,9
" / " 2		ptl	33,3	33,6	1,3	30,9		99,1
Slip 111/pkt. 1	aktinolittrik reaksjonssone	porøs ptl under nedbryting	37,5	32,7		21,7		91,9
" / " 2		ptl	32,6	29,7		36,0		98,3

## Bilag 5 (fortsettelse)

punkt nr.

Slip nr. (lok.nr.)/

Innhold i vekt - %

Slip nr. (lok.nr.)/ punkt nr.	Bergart	Analyserte sulfidfase	Innhold i vekt - %					
			S	Fe	Co	Ni	Cu	Sum
Slip 150a/pkt.nr. 1	særlig	cp	34,6	30,1			34,6	99,3
" / " 2	oksydrik		25,3				73,2	98,5
" / " 4	websteritt (hbl-førende og svakt)	cc el. dig. med solid solution av cov.	25,0				74,1	99,1
" / " 6	symplektitt-	( $\sim\text{Cu}_3\text{S}_2$ )	24,2				71,5	95,7
" / " 7	omvandlet)		22,8				75,6	98,4
Slip 187II/pkt.nr. 1	kramittimpr.	hz	26,9		-	72,1		99,0
" / " 2	i serp.dunitt	hz	26,9		-	72,4		99,3
Slip 1888/pkt.nr. 1	serp.	ged. Cu					99,9	99,9
" / " 2	dunitt/	ged. Cu					100,5	100,5
" / " 3	harzburgitt	ged. Cu					99,5	99,5
Slip 1908/pkt. 1	serpentinitt	hz	27,1			72,0		99,1
" / " 2		hz	27,1			71,9		99,0
Slip 191/pkt. 1	kleberstein	gersdorffitt	17,2	4,4	5,4	27,2	diff.(=45,8 er vesentlig arsen	
Slip 1958/pkt. 2	serpentinisert	hz	28,0		0,6	68,6		97,2
" / " 3	harzburgitt	hz	26,8		0,1	70,9		97,8
Slip 202A/pkt. 1	hornblende-	cp	34,5	30,2	0,1		34,4	99,2
" / " 2	gneis	cp	34,0	30,1	0,1		34,2	98,4
" / " 3		cp	34,1	30,1	-		34,0	98,2
Slip T4044/pkt. 1	serp.	hz	27,3		-	72,7		100,0
" / " 2	dunitt	hz	27,1		-	72,4		99,5

Bilag 5 (fortsettelse)

Følgende symboler er brukt for den analyserte sulfidfase;

ptl: pentlanditt  $(\text{Ni}, \text{Fe})_9 \text{S}_8$   
cp : kobberkis  $\text{CuFeS}_2$   
hz : heazlewoodit  $\text{Ni}_3\text{S}_2$   
ged Cu: gedigent kobber Cu  
gersdorfitt  $(\text{Ni}, (\text{Co}), (\text{Fe}))_{1+x} \text{As}_{1+x} \text{S}$ ,  $x=0,1-0,2$   
cc: kobberglans  
dig: digenitt  
cov: kovellin

Bilag 6

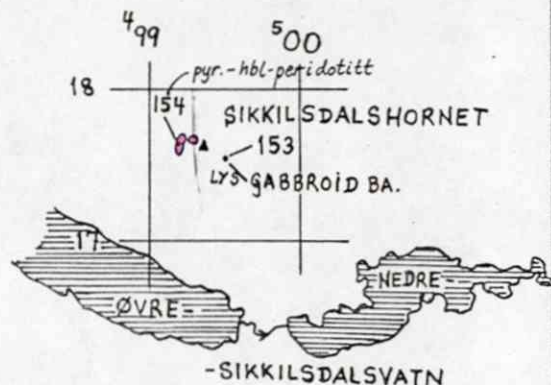
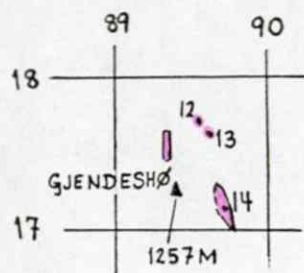
Edelmetallanalyser utført ved Lakefield Research of Canada Limited,  
Lakefield, Ontario, Canada pr. 24.03.81.

Prøver av ultramafitter innenfor Jotundekket:

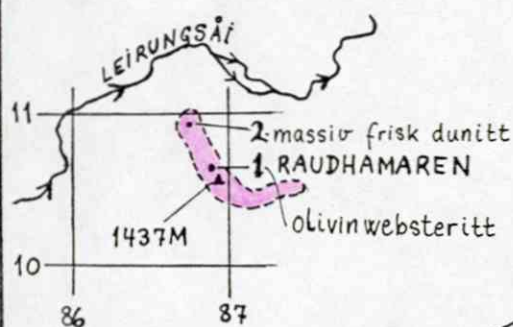
Prøve nr.	Bergart	gehalter i ppm		
		Au	Pt	Pd
Å27	dunitt	0,01	<0,04	-
149	olivin-websteritt	0,06	0,04	0,21
150	websteritt	0,11	<0,04	-
151	"	0,04	<0,04	-
152	"	0,025	<0,04	-

Prøver av primitive ultramafitter og serpentinkonglomerat innenfor  
kambro-silurbergartene og Bergen-Namsos gneisområde:

Prøve nr.	Bergart	gehalter i ppm		
		Au	Pt	Pd
Å41	serpentinisert dunitt	0,01	<0,04	-
N69	svakt fortalket dunitt	<0,01	<0,04	-
133	serpentinkonglomerat	0,01	<0,04	-
186 a	krommalm	<0,01	<0,04	-
207 a	krommalm	<0,01	<0,04	-

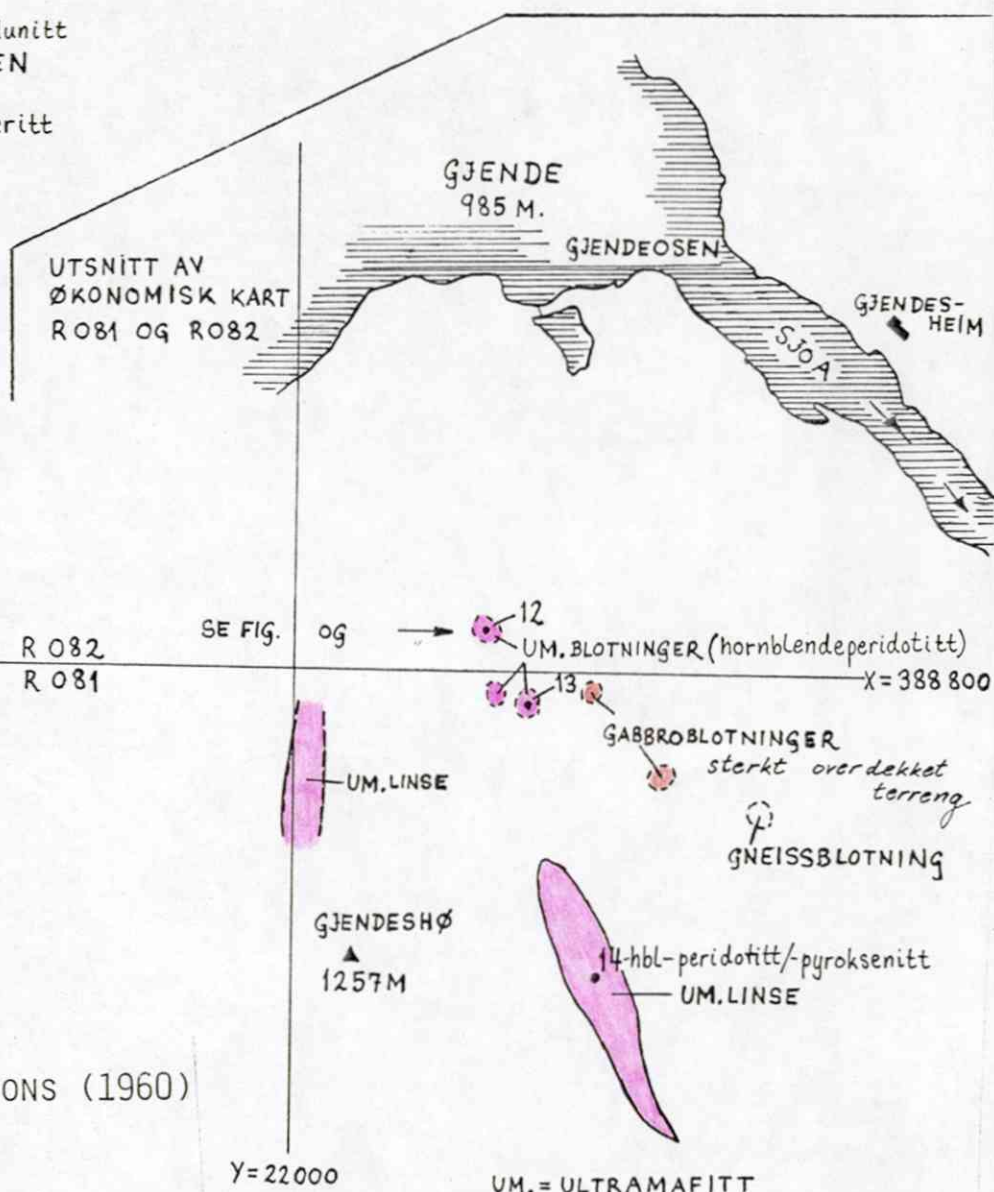


UTM: KARTBLAD 1617 IV GJENDE



• = PRØVELOKALITET MED PRØVENUMMER

= ULTRAMAFITTER INNEN JOTUNDEKKET



REF: HOLTEDAHL OG DONS (1960)  
 BARKEY (1968)  
 MURTHY (1973)

UM. = ULTRAMAFITT

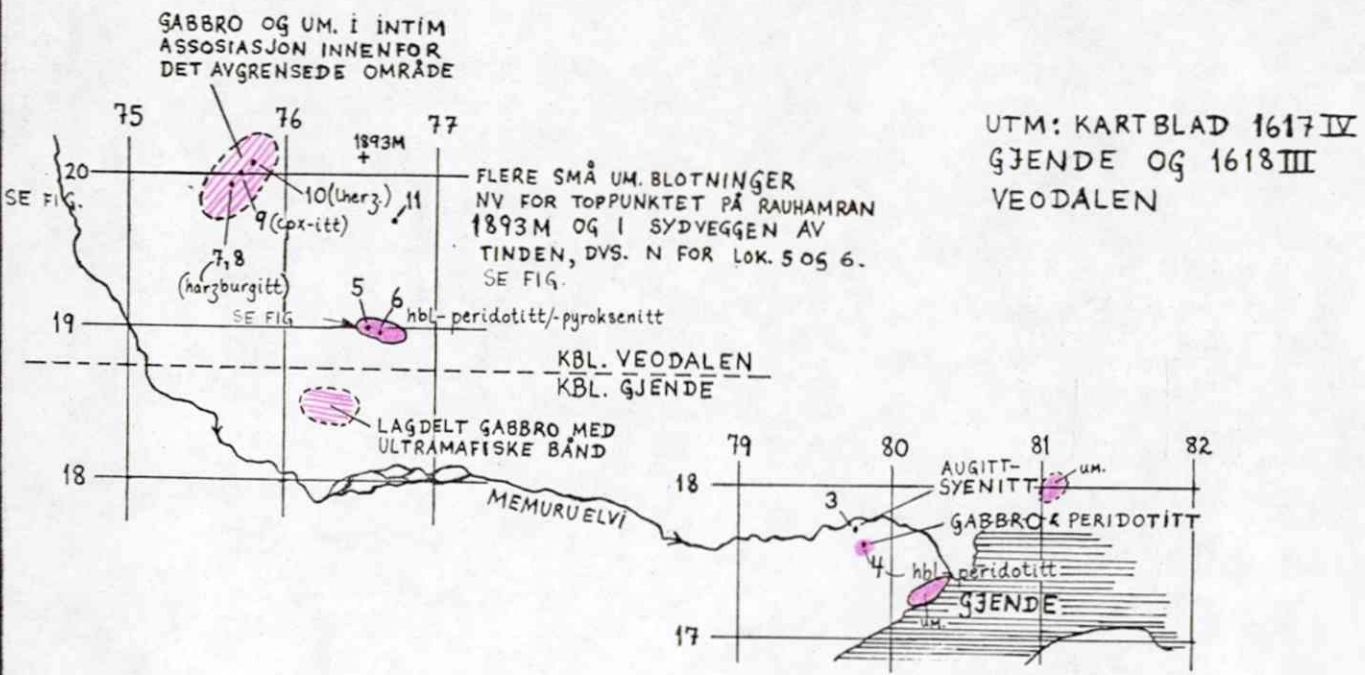
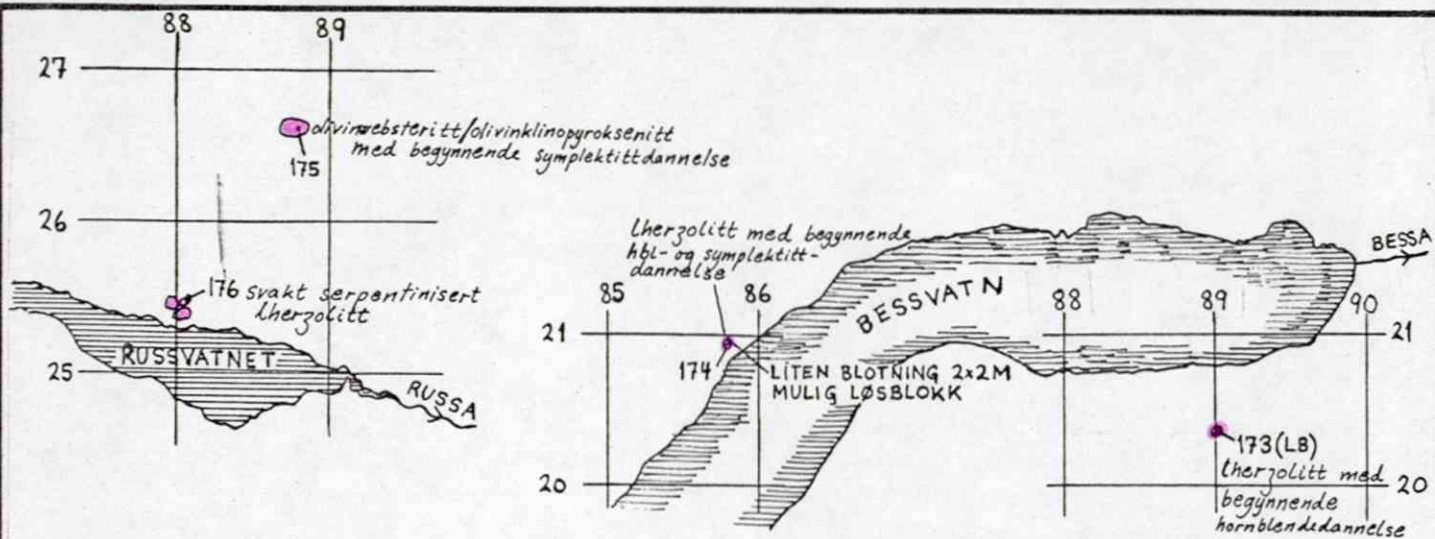
A/S NORDDALSMALM  
 UNDERSØKELSE AV ULTRAMAFISKE BERGARTER  
 GJENDESHØ, SIKKILSDALSHORNET OG RAUDHAMAREN  
 I LEIRUNGSDALEN, VÅGÅ OG NORD-FRON KOMM.

NORD-GUDBRANDSDALEN, OPPLAND

NORGES GEOLOGISKE UNDERSØKELSE  
 TRONDHEIM

MÅLESTOKK	OBS. LPN	1979, 80
1:50 000	TEGN. LPN	JAN. 1981
OG	TRAC.	
1:10 000	KFR.	

TEGNING NR.	KARTBLAD NR.
1709/D-01	1617I, IV

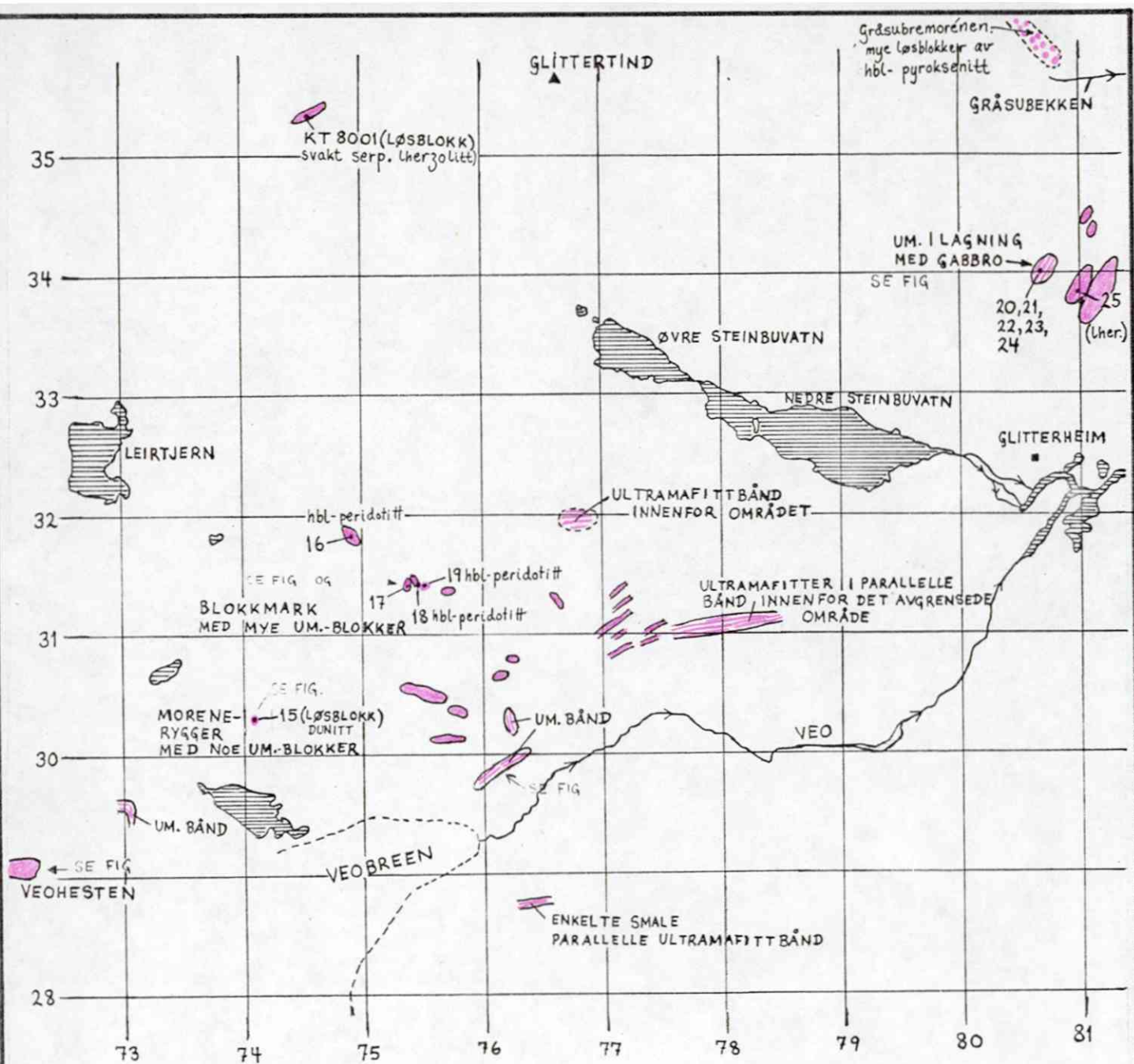


• = PRØVELOKALITET MED PRØVENUMMER

= SMÅ ULTRAMAFITTKUPPER OG LINSER INNEN JOTUNDEKKET

REF: REKSTAD (1904)  
HOLTEDAHL OG DONS (1960)  
BARKEY (1970)

A/S NORDDALSMALM UNDERSØKELSE AV ULTRAMAFISKE BERGARTER OMRÅDER VED RUSSVATN, BESSVATN OG I MEMURUDALEN, VÅGÅ OG LOM KOMMUNER	MÅLESTOKK	OBS. LPN	1979, 80
	1:50 000	TEGN. LPN	JAN. 1981
		TRAC.	
		KFR.	
NORD-GUDBRANDSDALEN, OPPLAND			
NORGES GEOLOGISKE UNDERSØKELSE TRONDHEIM	TEGNING NR. 1709/D-02	KARTBLAD NR. 1617IV, 1618III	



UTM: KARTBLAD 1618 III VEODALEN

• = PRØVELOKALITET MED PRØVENUMMER

 = SMÅ ULTRAMAFISKE BÅND, LINSER OG KUPPER INNEN JOTUNDEKKET

UM. = ULTRAMAFITT

REF: REKSTAD (1904)  
HOLTEDAHL OG DONS (1960)  
BARKEY (1968)

A/S NORDDALSMALM  
UNDERSØKELSE AV ULTRAMAFISKE BERGARTER  
INDRE DEL AV VEODALEN, LOM KOMMUNE

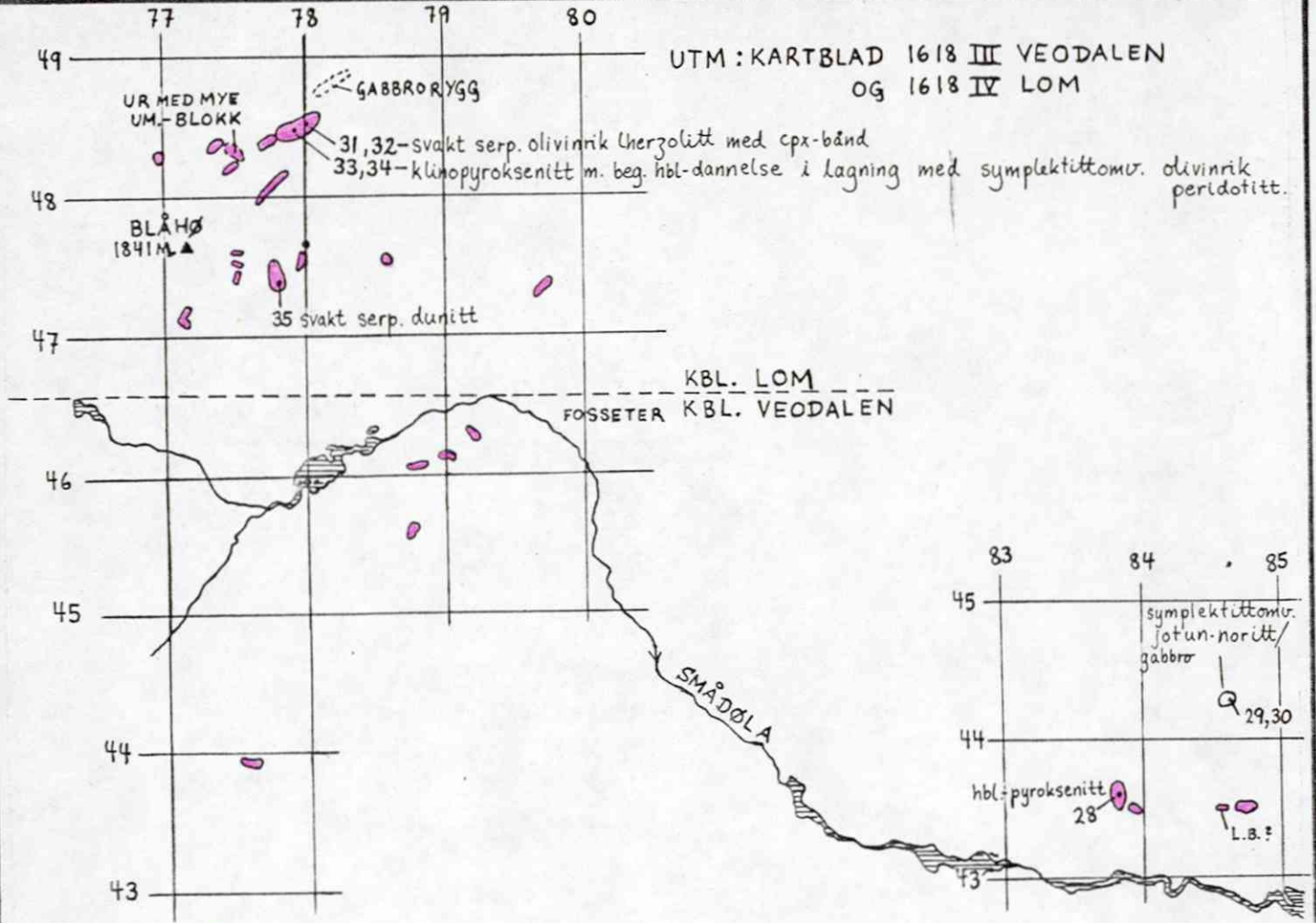
MÅLESTOKK 1:50 000	OBS. LPN	KT, JUL. 1980
	TEGN. LPN	JUL. 1979
	TRAC.	JAN. 1981
	KFR.	

NORD-GUDBRANDSDALEN, OPPLAND

NORGES GEOLOGISKE UNDERSØKELSE  
TRONDHEIM

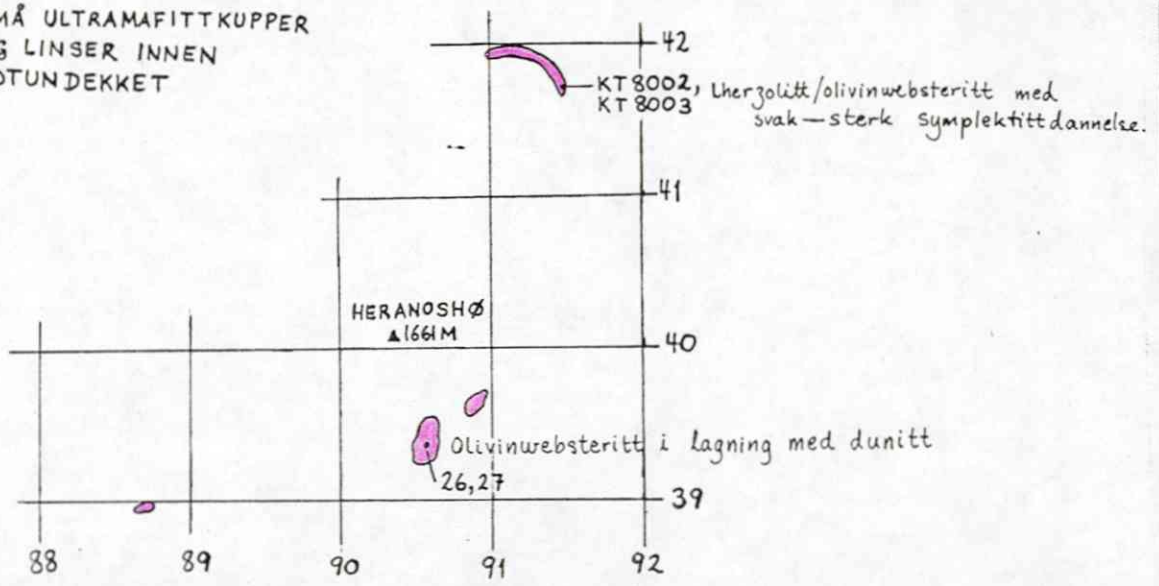
TEGNING NR. 1709/D -03  
KARTBLAD NR. 1618 III

UTM : KARTBLAD 1618 III VEODALEN  
OG 1618 IV LOM



• = PRØVELOKALITET  
MED PRØVENUMMER

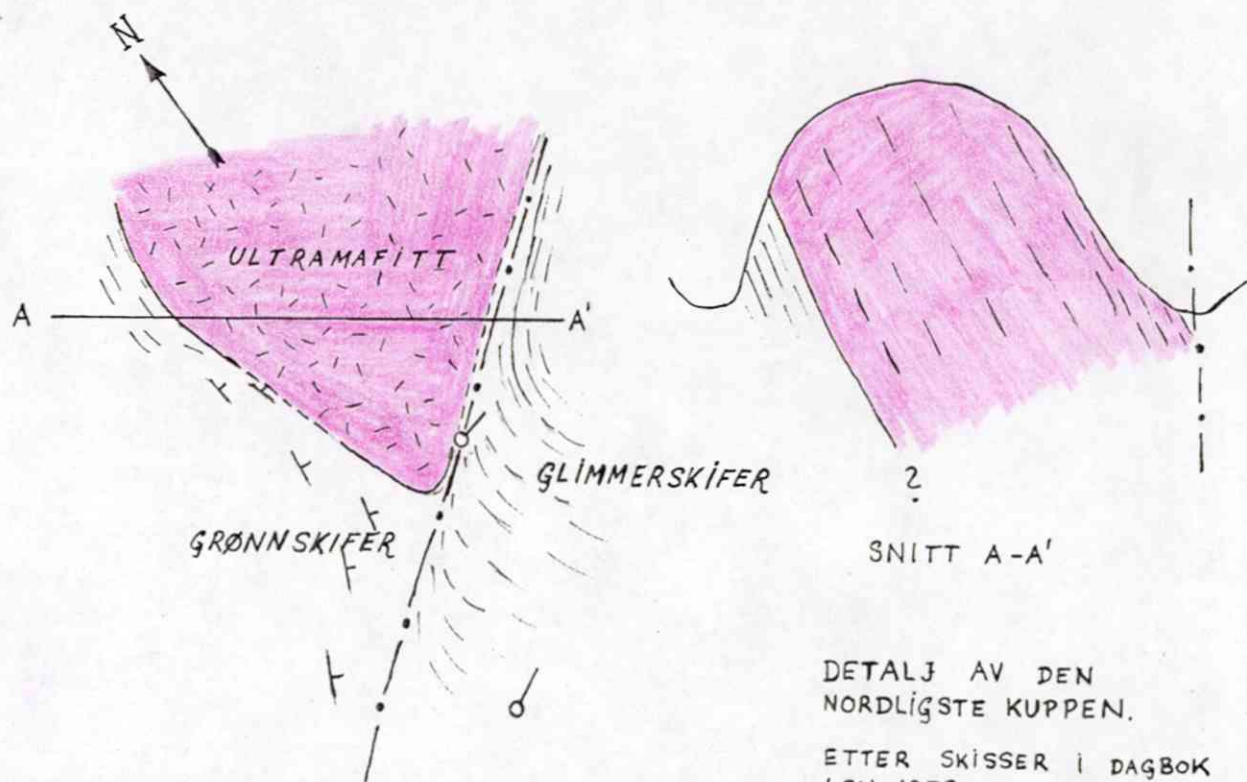
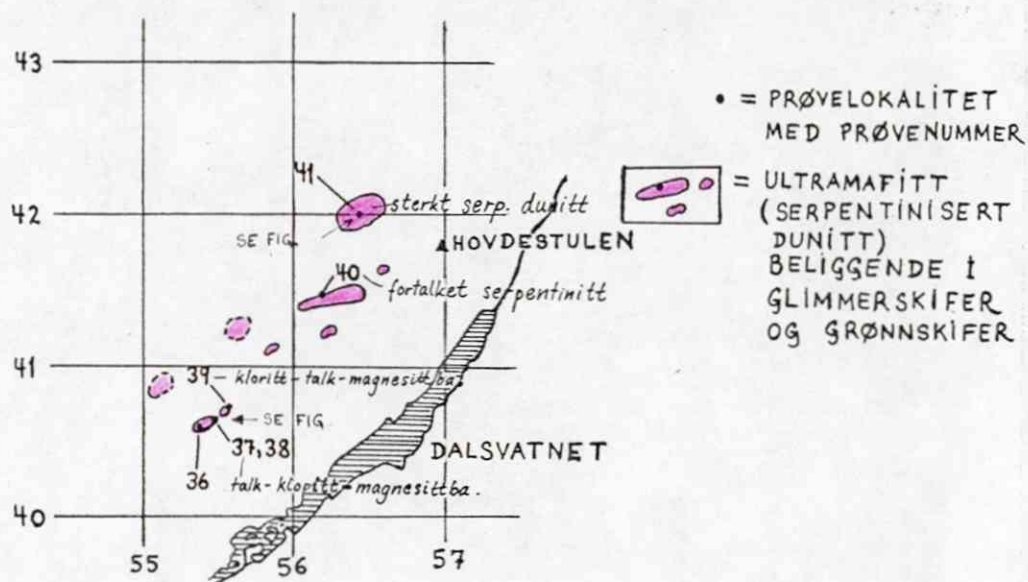
 = SMÅ ULTRAMAFITTKUPPER  
OG LINSER INNEN  
JOTUNDEKKET



REF: REKSTAD (1904), HOLTEDAHL OG DONS (1960)

A/S NORDDALSMALM UNDERSØKELSE AV ULTRAMAFISKE BERGARTER OMRÅDET BLÅHØ-FOSSETER-SMÅDALEN OG OMRÅDET RUNDT HERANOSHØ, LOM KOMMUNE  NORD-GUDBRANDSDALEN, OPPLAND	MÅLESTOKK	KT, OBS. LPN	JUL. 1980	
		TEGN. LPN	JUL. 1979	
	1:50 000	TRAC.	JAN. 1981	
		KFR.		
NORGES GEOLOGISKE UNDERSØKELSE TRONDHEIM	TEGNING NR.	KARTBLAD NR.		
	1709/D -04	1618III, IV		

UTM: KARTBLAD  
1518 II VISDALEN



DETALJ AV DEN  
NORDLIGSTE KUPPEN.

ETTER SKISSER I DAGBOK  
LPN 1979.

M. CA. 1:2000

REF: HULTIN (1966)  
BARKEY (1969)

A/S NORDDALSMALM  
UNDERSØKELSE AV ULTRAMAFISKE BERGARTER  
HOVEDSTULFJELLET I BØVERDALEN, LOM KOMMUNE

NORD-GUDBRANDSDALEN, OPPLAND

NORGES GEOLOGISKE UNDERSØKELSE  
TRONDHEIM

MÅLESTOKK  
1:50 000  
OG  
CA. 1:2000

OBS. LPN JUL. 1979

TEGN. LPN JAN. 1981

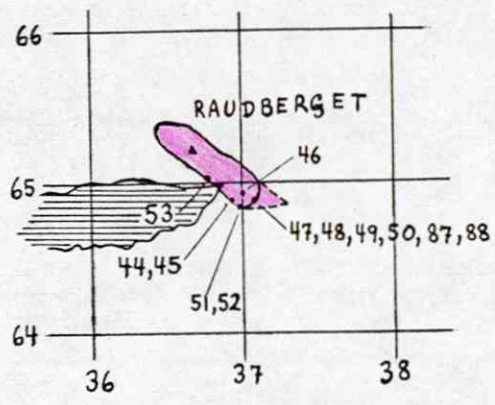
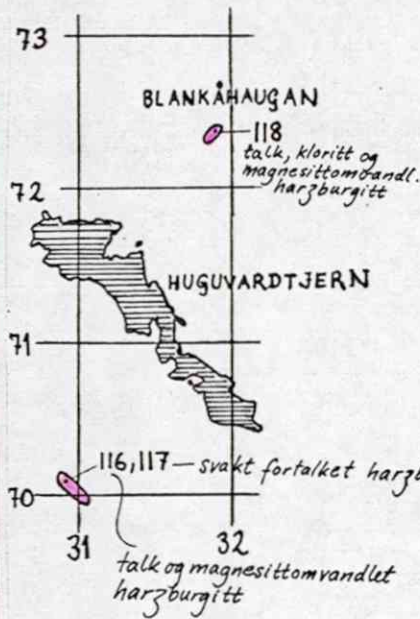
TRAC.

KFR.

TEGNING NR.  
1709/D-05

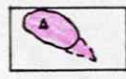
KARTBLAD NR.  
1518II

UTM: KARTBLAD  
1418 I SKRIDULAUPEN



UTM: KARTBLAD 1518 IV  
POLLFOSS

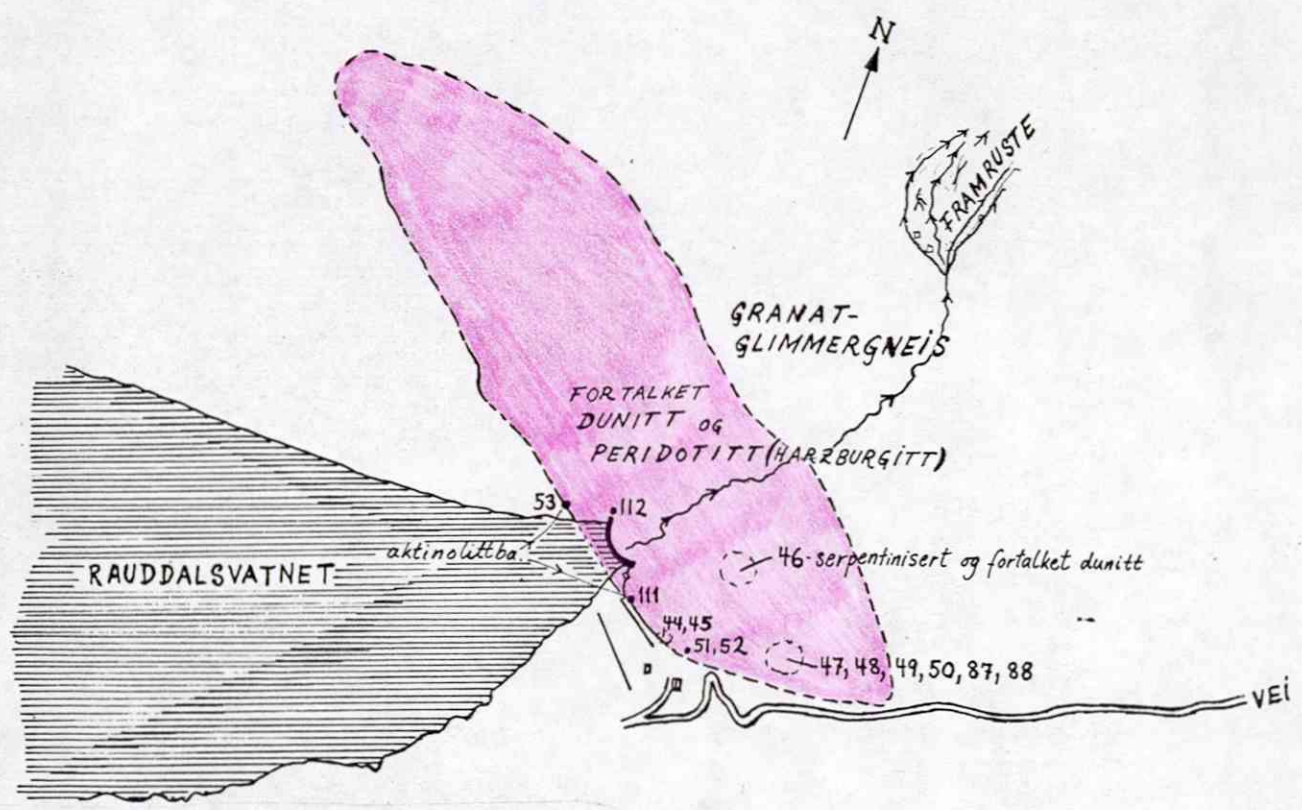
• = PRØVELOKALITET MED PRØVENUMMER



= ULTRAMAFITT (DUNITT OG PERIDOTITT)  
BELIGGENDE I GRANAT-GLIMMERGNEIS

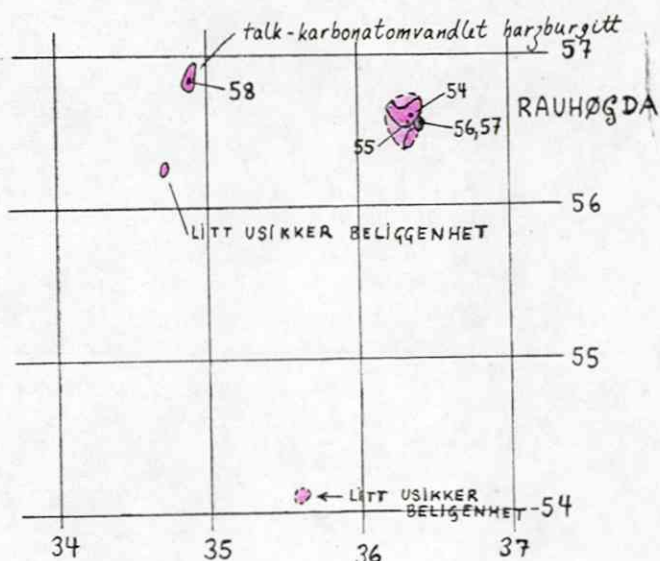
(UNNTAK: KUPPEN VED BLANKÅHAUGAN LIGGER I KVARTSITT)

RAUDBERGET.  
ETTER FLYFOTO SERIE W 1202,  
BILDE K 5



REF: HOLTEDAHL OG DONS (1960)  
BARKEY (1969)

A/S NORDDALSMALM UNDERSØKELSE AV ULTRAMAFISKE BERGARTER RAUDBERGET VED RAUDDALSVATNETS ØSTENDE OG KUPPENE VED HUGUVARDTJERN, SKJÅK KOMMUNE	MÅLESTOKK	OBS. LPN	AUG. 1979
	1:50 000 OG 1:10 000	TEGN. LPN	JAN. 1981
NORD-GUDBRANDSDALEN, OPPLAND		TRAC.	
		KFR.	
NORGES GEOLOGISKE UNDERSØKELSE TRONDHEIM	TEGNING NR.	KARTBLAD NR.	
	1709/D -06	1418I, 1518IV	



UTM: KARTBLAD 1518 IV  
POLLFOSS

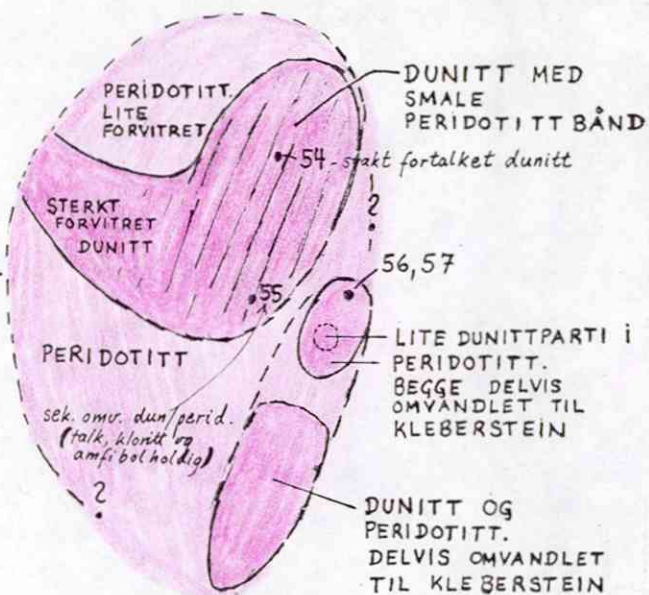
• = PRØVELOKALITET MED  
PRØVENUMMER

 = ULTRAMAFITT  
BELIGGENDE I  
GLIMMERGNEISS

DETALJSSKISSE AV RAUHØGDA  
(ETTER DAGBOK LPN 1979)



STIPLETE LINJER HVOR  
DET ER STERKT OVERDEKKET.  
TRE BLOTNINGER STÅR  
MARKERT OPP AV OVERDEKKET  
OG ER TRUKKET MED HEL  
STREK.



REF: STADHEIM (1939,1941)  
HOLTEDAHL OG DONS (1960)  
HOLMSEN (1961)  
BARKEY (1969)

M. CA. 1:5000

A/S NORDDALSMALM  
UNDERSØKELSE AV ULTRAMAFISKE BERGARTER  
RAUHØGDA ØST FOR LIAVATNET I SKJÅK KOMMUNE

MÅLESTOKK  
1:50 000  
OG  
CA. 1:5000

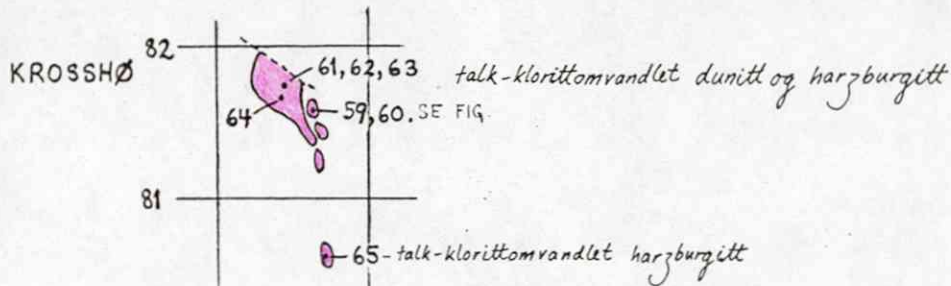
OBS. LPN	AUG. 1979
TEGN. LPN	JAN. 1981
TRAC.	
KFR.	

NORD-GUDBRANDSDALEN, OPPLAND

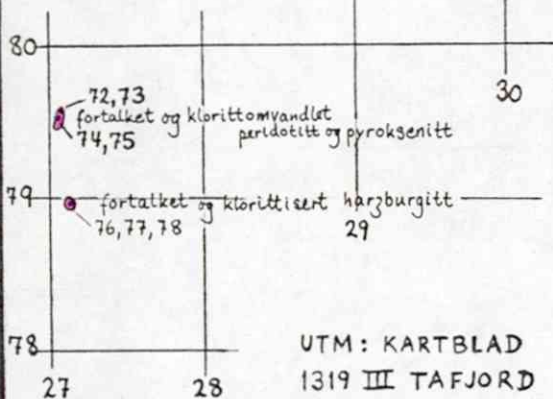
NORGES GEOLOGISKE UNDERSØKELSE  
TRONDHEIM

TEGNING NR.  
1709/D -07

KARTBLAD NR.  
1518IV

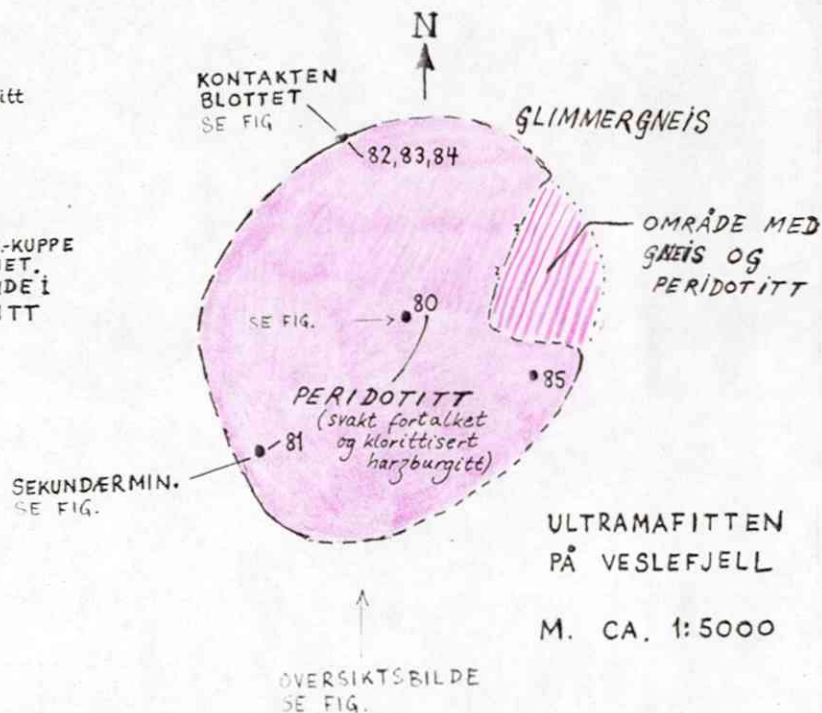
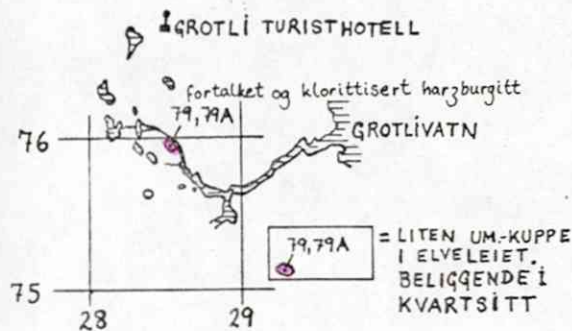
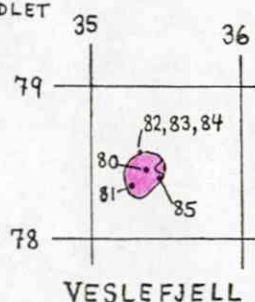


UTM: KARTBLAD 1319II  
TORSVATNET



• = PRØVELOKALITET MED PRØVENUMMER

= ULTRAMAFITT (TALK-KLORITOMVANDLET DUNITT OG PERIDOTITT) BELIGGENDE I GLIMMERGNEIS



REF: HOLTEDAHL OG DONS (1960)  
BARKEY (1969)  
STRAND (1969)

A/S NORDDALSMALM  
UNDERSØKELSE AV ULTRAMAFISKE BERGARTER  
OMRÅDET RUNDT GROTLI I SKJÅK KOMMUNE

MÅLESTOKK  
1:50 000  
OG  
CA. 1:5000

OBS. LPN	AUG. 1979
TEGN. LPN	JAN. 1981
TRAC.	
KFR.	

NORD-GUDBRANDSDALEN, OPPLAND

NORGES GEOLOGISKE UNDERSØKELSE  
TRONDHEIM

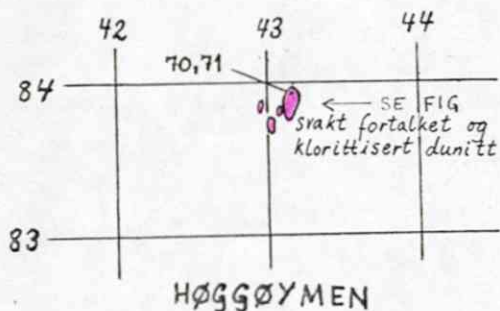
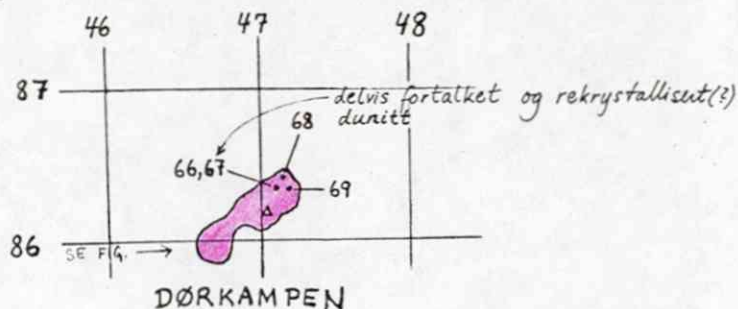
TEGNING NR.

1709/D-08

KARTBLAD NR.

1319II, III

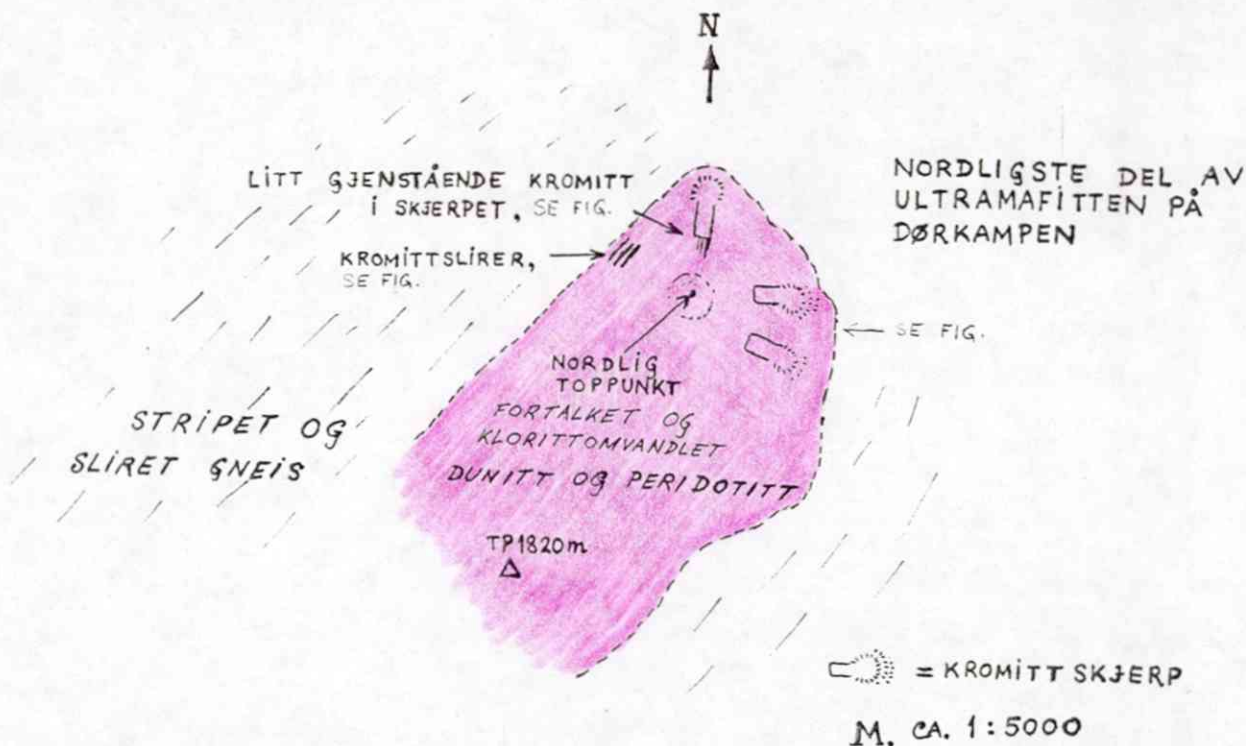
UTM: KARTBLAD 1319 II  
TORSVATNET



• = PRØVELOKALITET MED PRØVENR.



= ULTRAMAFITT (FORTALKET OG KLORITTMV. DUNITT OG PERIDOTITT) BELIGGENDE I STRIPET OG SLIRET GNEISS PÅ DØRKAMPEN OG I GLIMMERGNEISS PÅ HØGGØYMEN



☉ = KROMITT SKJERP

M. CA. 1:5000

REF: HOLTEDAHL OG DONS (1960)  
BARKEY (1969)

A/S NORDDALSMALM  
UNDERSØKELSE AV ULTRAMAFISKE BERGARTER  
HØGGØYMEN OG DØRKAMPEN I SKJÅK KOMMUNE

NORD-GUDBRANDSDALEN, OPPLAND

NORGES GEOLOGISKE UNDERSØKELSE  
TRONDHEIM

MÅLESTOKK  
1:50 000  
OG  
CA. 1:5000

OBS. LPN AUG. 1979

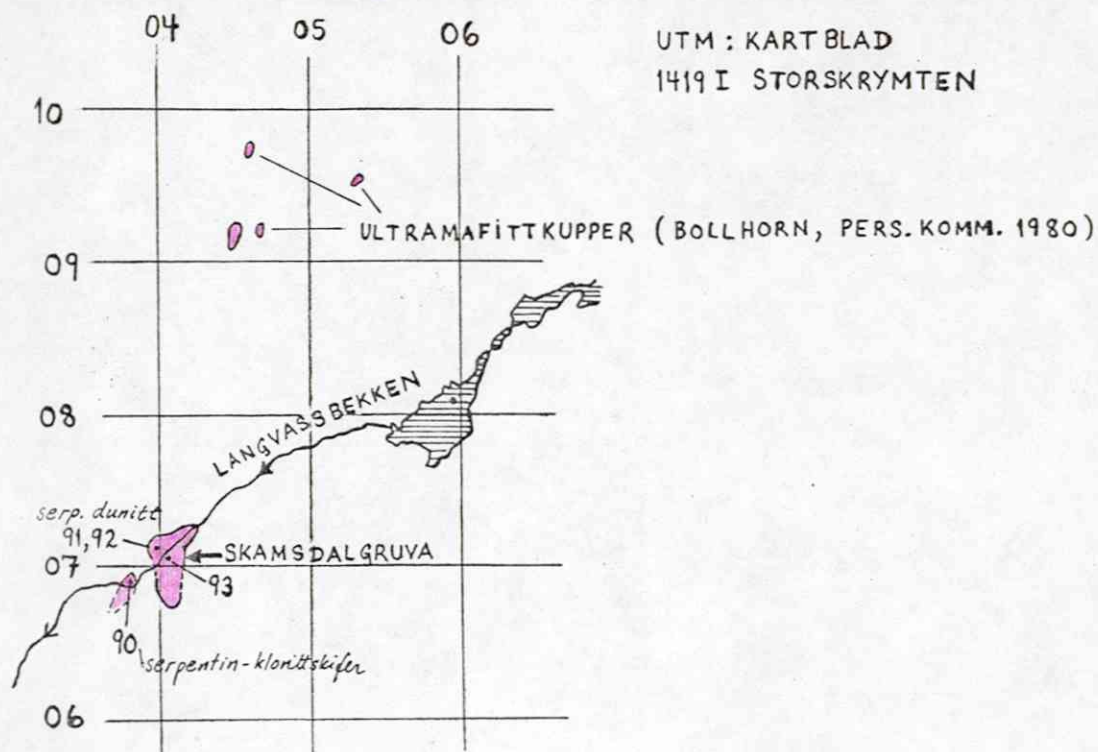
TEGN. LPN JAN. 1981

TRAC.

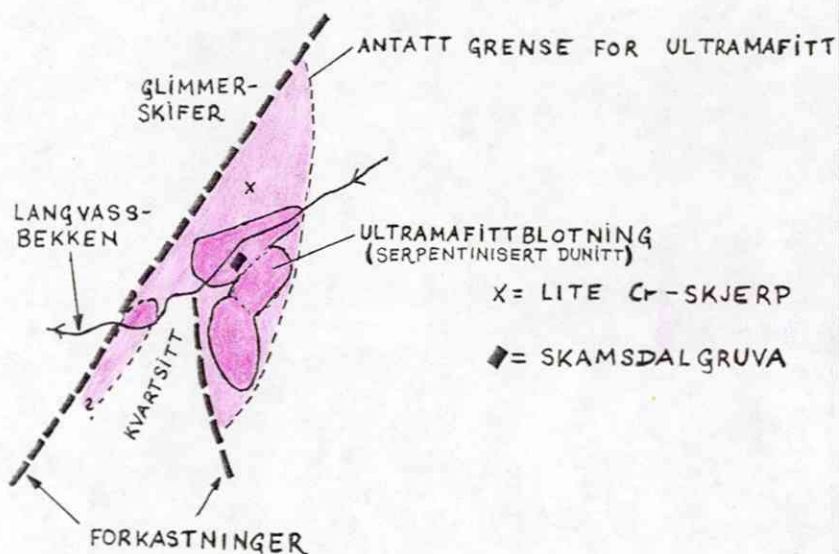
KFR.

TEGNING NR.  
1709/D-09

KARTBLAD NR.  
1319II



SE FIG.



### SKAMSDALEN

DETALJSKISSE ETTER  
BOLLHORN (1980)

REF: HELLAND (1873)  
FOSLIE (1925)  
BOLLHORN (PERS. KOMM. 1980)

A/S NORDDALSMALM  
UNDERSØKELSE AV ULTRAMAFISKE BERGARTER  
SKAMSDALEN, LESJA KOMMUNE

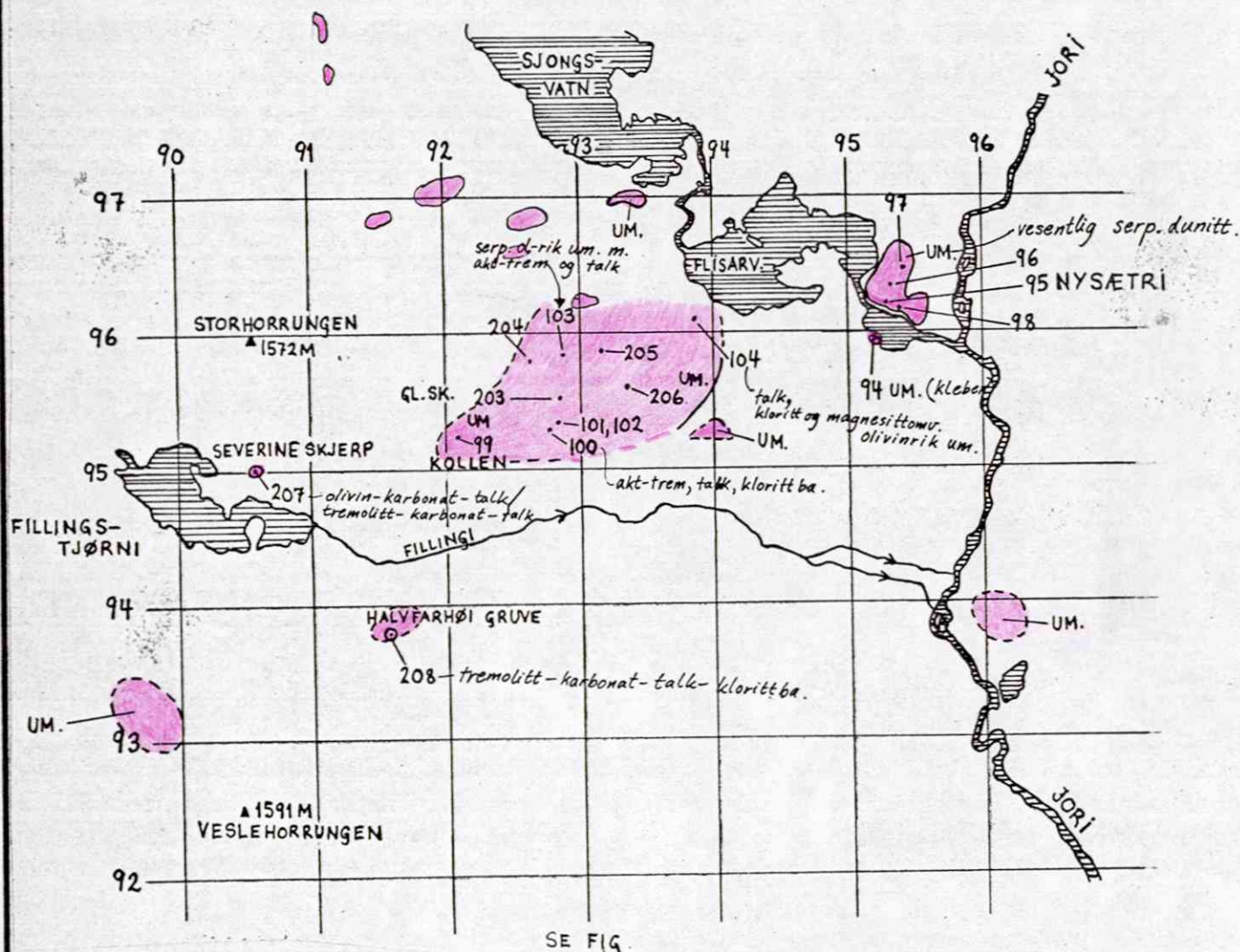
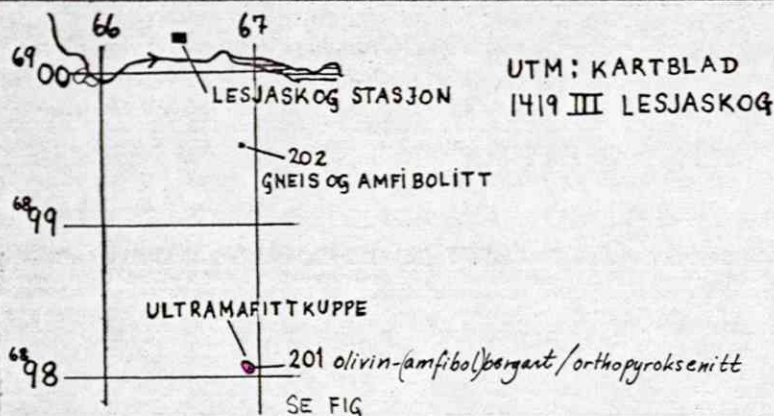
NORD-GUDBRANDSDALEN, OPPLAND

NORGES GEOLOGISKE UNDERSØKELSE  
TRONDHEIM

MÅLESTOKK	OBS LPN, JB	1979, 80
1:50 000	TEGN LPN	JAN. 1981
OG	TRAC.	
CA. 1:25000	KFR.	

TEGNING NR.  
1709/D-10

KARTBLAD NR.  
1419I



REF: HELLAND (1873)  
CARSTENS (1918)  
SMITH (1941 C)  
SANTARELLI (MANUSKRIPTKART LESJASKOG)  
GUEZOU (MANUSKRIPTKART DOMBÅS)  
BOLLHORN (PERS. KOMM. 1980)  
BAKKE (PERS. KOMM. 1982)

UTM: KARTBLAD  
1419 II DOMBÅS

UM = ULTRAMAFITT  
GL. SK. = GLIMMERSKIFER

• = PRØVETAKINGSPUNKT  
MED PRØVE NUMMER

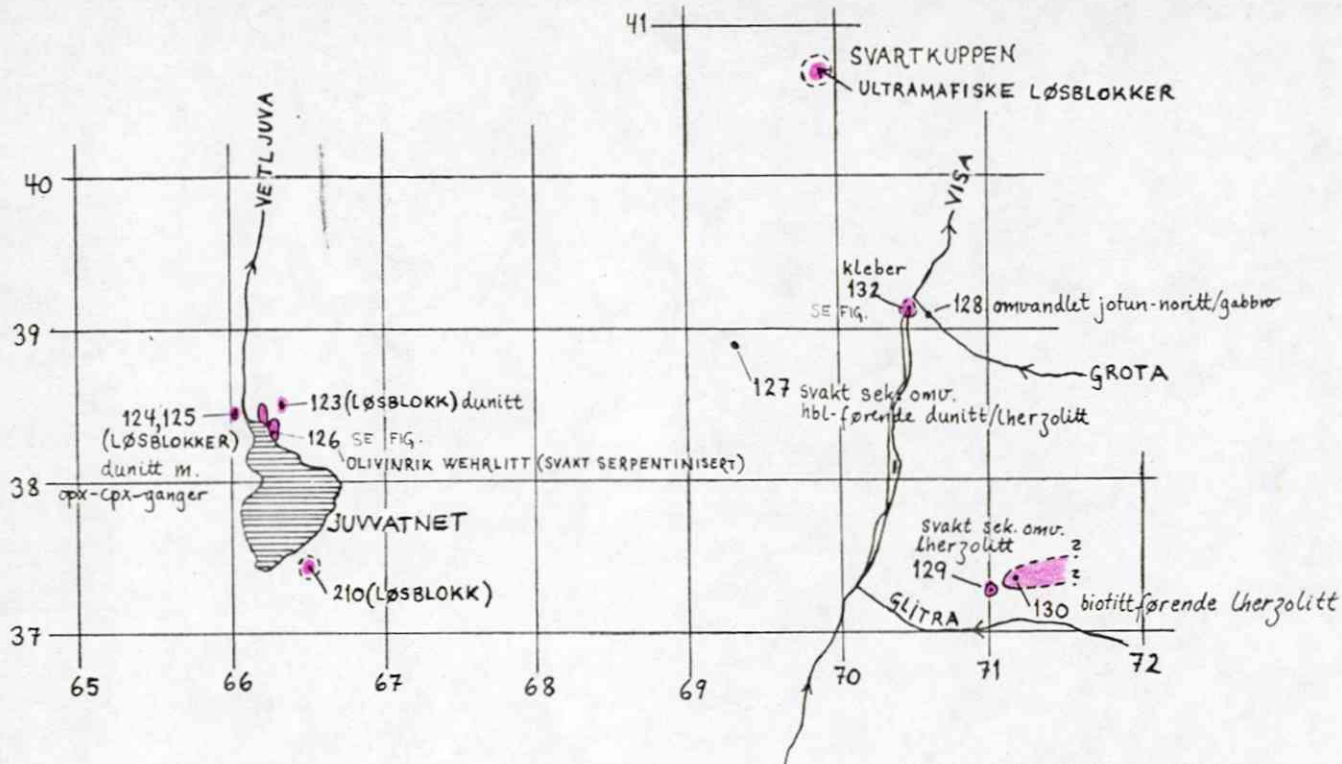
A/S NORDDALSMALM  
UNDERSØKELSE AV ULTRAMAFISKE BERGARTER  
RAUDBERGI I LESJASKOG OG LESJEHORRUNGANE,  
LESJA KOMMUNE

NORD-GUDBRANDSDALEN, OPPLAND

NORGES GEOLOGISKE UNDERSØKELSE  
TRONDHEIM

MÅLESTOKK 1:50 000	OBS. LPN	1979, 80
	TEGN. LPN	JAN. 1981
	TRAC.	
	KFR.	

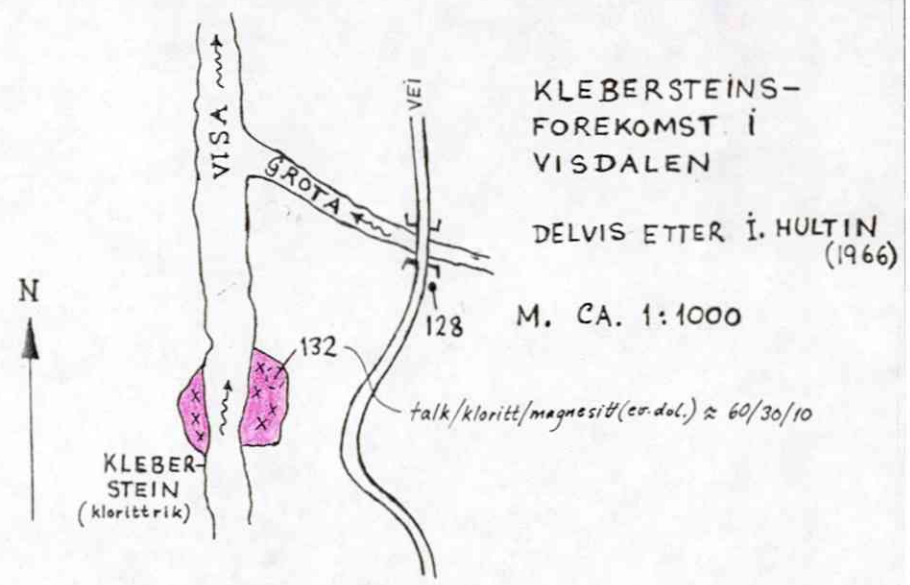
TEGNING NR. 1709/D-11	KARTBLAD NR. 1419II, III
--------------------------	-----------------------------



UTM: KARTBLAD 1518 II  
VISDALEN

• = PRØVELOKALITET  
MED PRØVENUMMER

 = ULTRAMAFITT FOREKOMSTER  
BELIGGENDE INNENFOR  
JOTUNDEKKET



KLEBERSTEINS-  
FOREKOMST I  
VISDALEN  
DELVIS ETTER I. HULTIN  
(1966)  
M. CA. 1:1000

REF: REKSTAD (1904)  
HULTIN (1966)

A/S NORDDALSMALM  
UNDERSØKELSE AV ULTRAMAFISKE BERGARTER  
OMRÅDET JUVVATNET-VISDALEN, LOM KOMMUNE

NORD-GUDBRANDSDALEN, OPPLAND

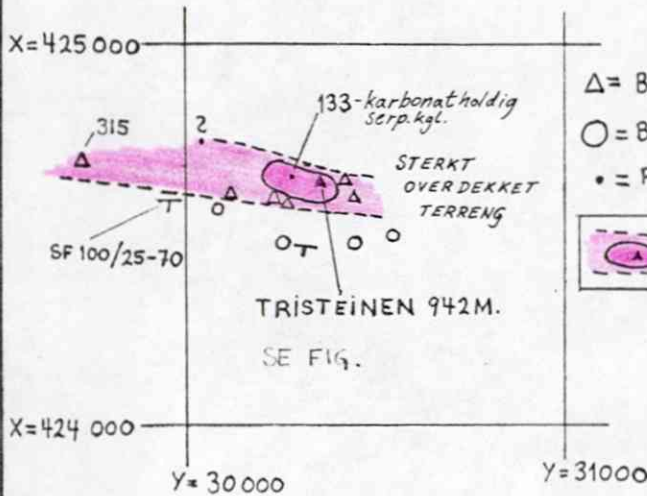
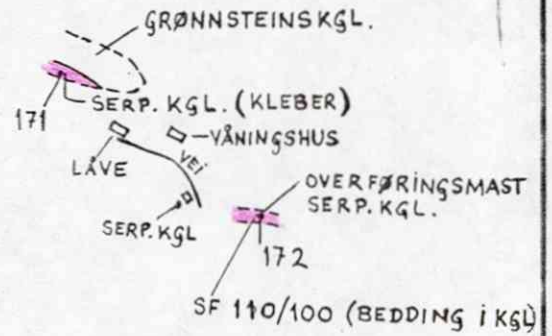
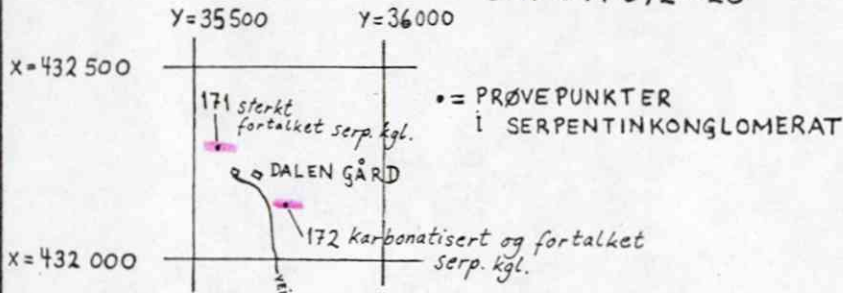
NORGES GEOLOGISKE UNDERSØKELSE  
TRONDHEIM

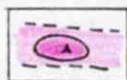
MÅLESTOKK 1:50 000 OG CA. 1:1000	OBS. LPN	JUN. 1980
	TEGN. LPN	JAN. 1981
	TRAC.	
	KFR.	

TEGNING NR. 1709/D -12	KARTBLAD NR. 1518 II
---------------------------	-------------------------

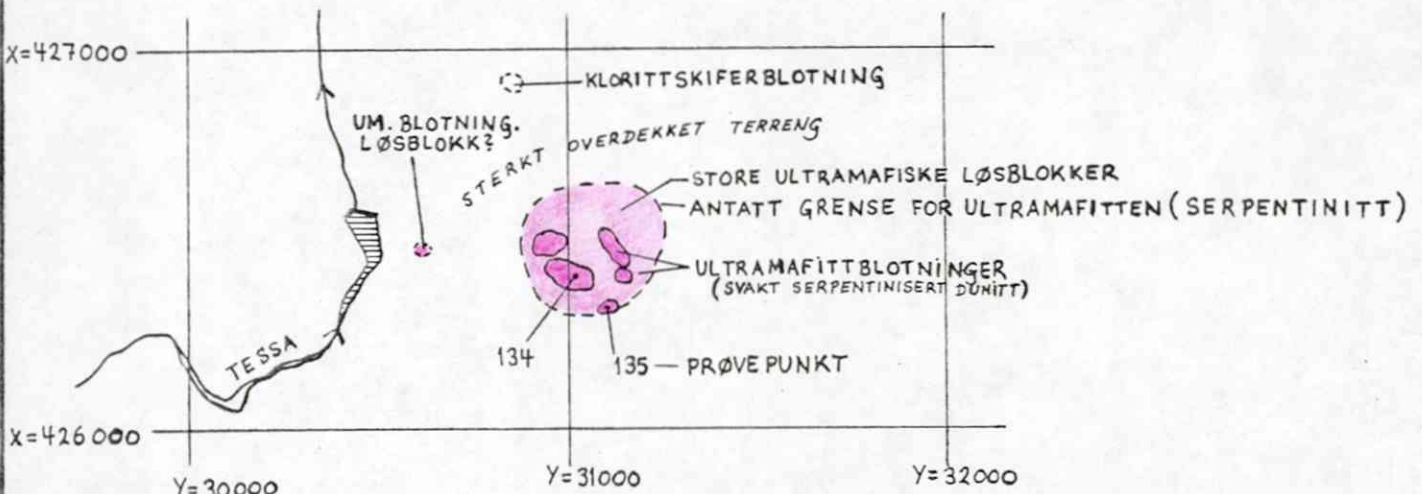
KOORD. ØK. KART NORDHERINGSLIA  
BST 091 092 - 20

SKISSE DALEN GÅRD:



Δ = BLOTNING AV SERPENTINKONGLOMERAT  
 ○ = BLOTNING AV GLIMMERSKIFER  
 • = PRØVEPUNKT I SERPENTINKONGLOMERAT  
 = SERP. KGL. KUPPE (HEL STREK) OG ANTATT UTSTREKNING AV SERP. KGL. (STIPLET).

KOORD. ØK. KART VÅGÅVATN BST 089090 - 20



KOORD. ØK. KART VÅGÅVATN  
BST 089090 - 20

REF: STRAND (1951)  
BARKEY (1970)

ALLE FOREKOMSTENE LIGGER INNENFOR  
KARTBLAD 1618 I VÅGÅ, M. 1:50 000

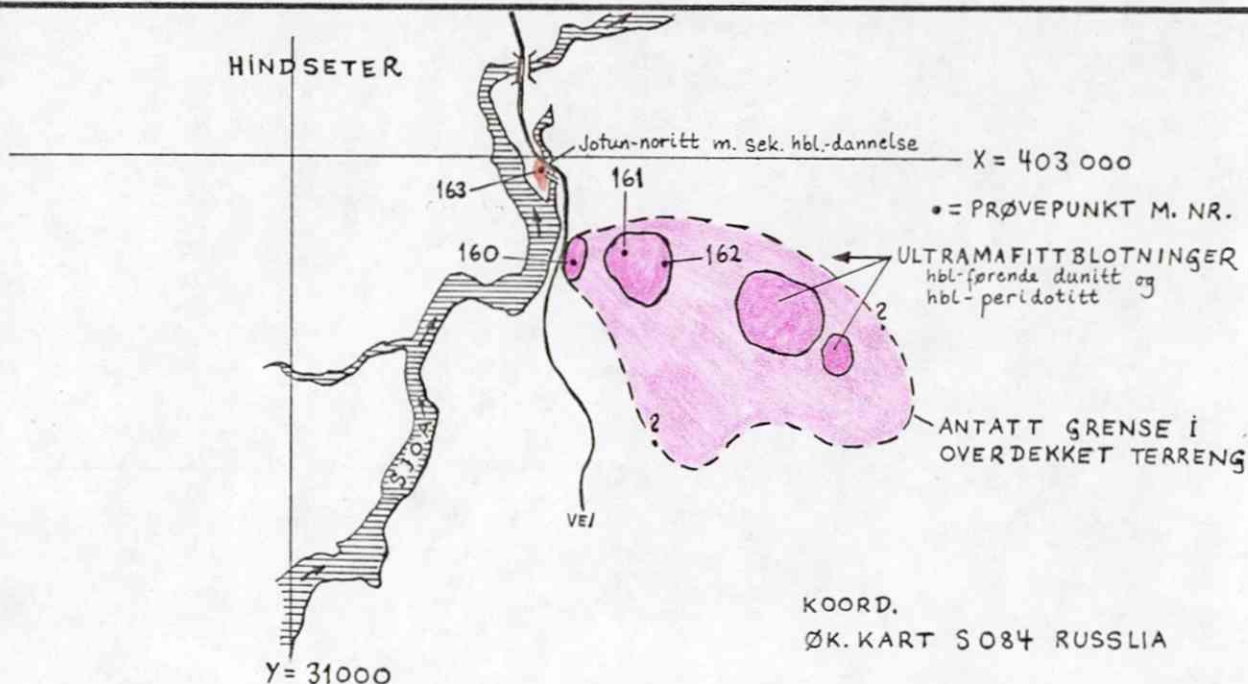
A/S NORDDALSMALM  
UNDERSØKELSE AV ULTRAMAFISKE BERGARTER  
DALEN GÅRD NV FOR VÅGÅMO, TRISTEINEN N FOR  
TESSE OG SYNSLIA N FOR TESSE, VÅGÅ KOMM.

NORD-GUDBRANDSDALEN, OPPLAND

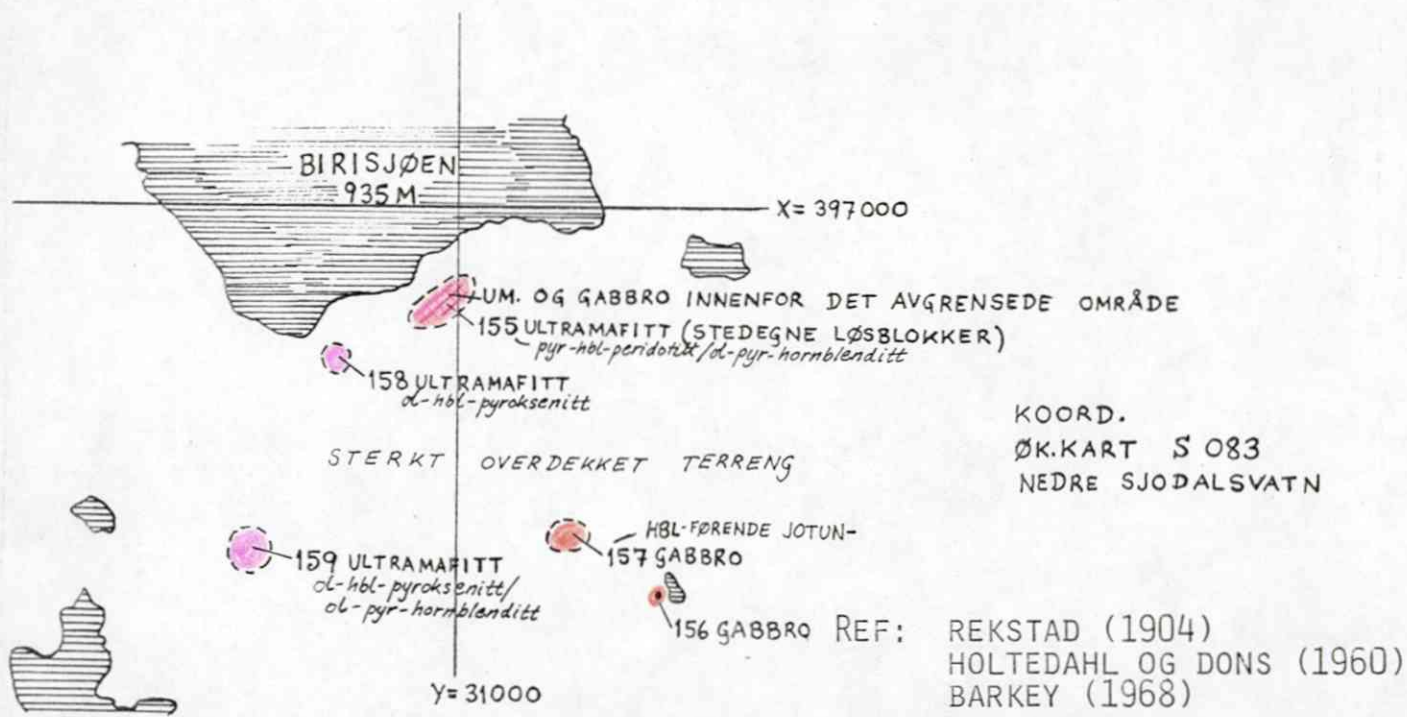
NORGES GEOLOGISKE UNDERSØKELSE  
TRONDHEIM

MÅLESTOKK 1:20 000	OBS. LPN	JUN, JUL. 80
	TEGN. LPN	JAN. 1981
	TRAC.	
	KFR.	

TEGNING NR. 1709/D-13  
KARTBLAD NR. 1618 I



ULTRAMAFITT FOREKOMSTENE  
VED BIRISJØEN OG HINDSETER  
LIGGER INNENFOR KARTBLAD  
1618 II REFJELL M. 1:50 000



A/S NORDDALSMALM UNDERSØKELSE AV ULTRAMAFISKE BERGARTER BIRISJØEN OG HINDSETER I SJODALEN, VÅGÅ KOMM.	MÅLESTOKK	OBS. LPN	JUL. 1980
	1:10 000	TEGN. LPN	JAN. 1981
		TRAC.	
		KFR.	
NORD-GUDBRANDSDALEN, OPPLAND			
NORGES GEOLOGISKE UNDERSØKELSE TRONDHEIM	TEGNING NR. 1709/D-14	KARTBLAD NR. 1618 II	

X=427000

KOORD.: ØK. KART  
VÅGÅVATN BST 089090-20

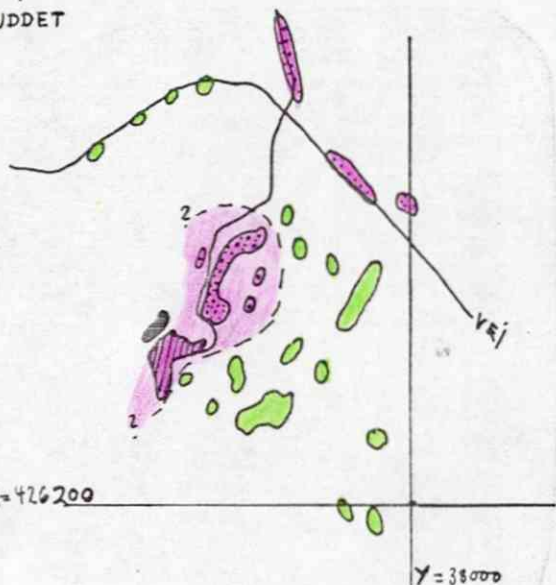
X=426000

Y=37000

Y=38000

BLOTNINGSKART AV OMR. RUNDT ORMHAUGEN  
KLEBERBRUDD (ETTER L. NØRGÅRD JENSEN 1981)  
M. 1:10 000

-  SERPENTINKONGLOMERAT
-  KLEBERSTEIN
-  "MAFISK BJERGART"
-  LYS KLORITGLIMMERSKIFER



X=422400

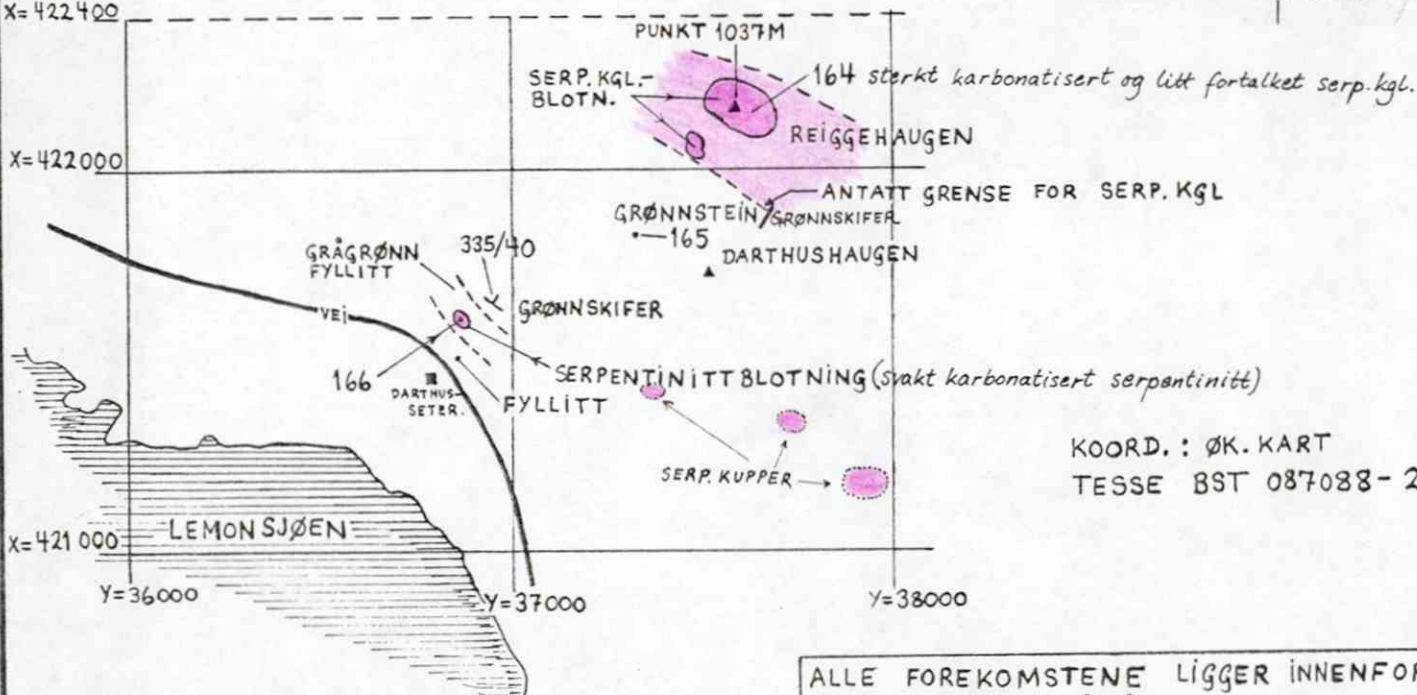
X=422000

X=421000

Y=36000

Y=37000

Y=38000



KOORD.: ØK. KART  
TESSE BST 087088-20

REF: STRAND (1951)+MANUS.KART(1968)  
L. NØRGÅRD JENSEN (1981)

ALLE FOREKOMSTENE LIGGER INNENFOR  
KARTBLAD 1618 I VÅGÅ M. 1:50 000

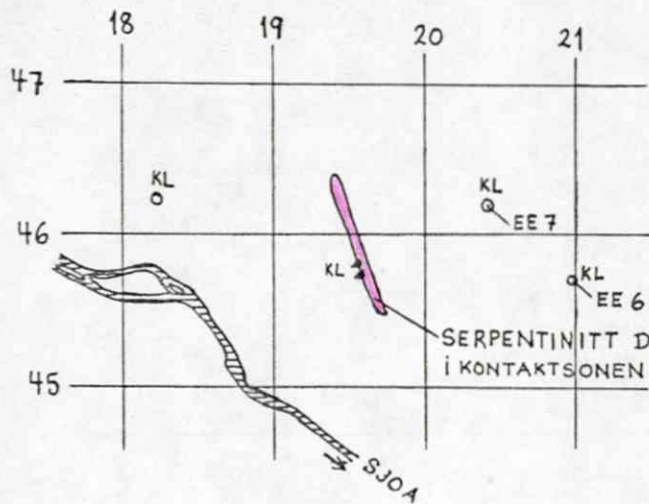
A/S NORDDALSMALM  
UNDERSØKELSE AV ULTRAMAFISKE BERGARTER  
ORMHAUGEN N FOR FLATNINGEN OG REIGGEHAUGEN  
NØ FOR LEMONSJØEN, VÅGÅ KOMMUNE

NORD-GUDBRANDSDALEN, OPPLAND

NORGES GEOLOGISKE UNDERSØKELSE  
TRONDHEIM

MÅLESTOKK 1:20 000 og 1:10 000	OBS. LPN	JUL. 1980
	TEGN. LPN	JAN. 1981+
	TRAC.	+ DES. 1982
	KFR.	

TEGNING NR. 1709/D -15	KARTBLAD NR. 1618 I
---------------------------	------------------------

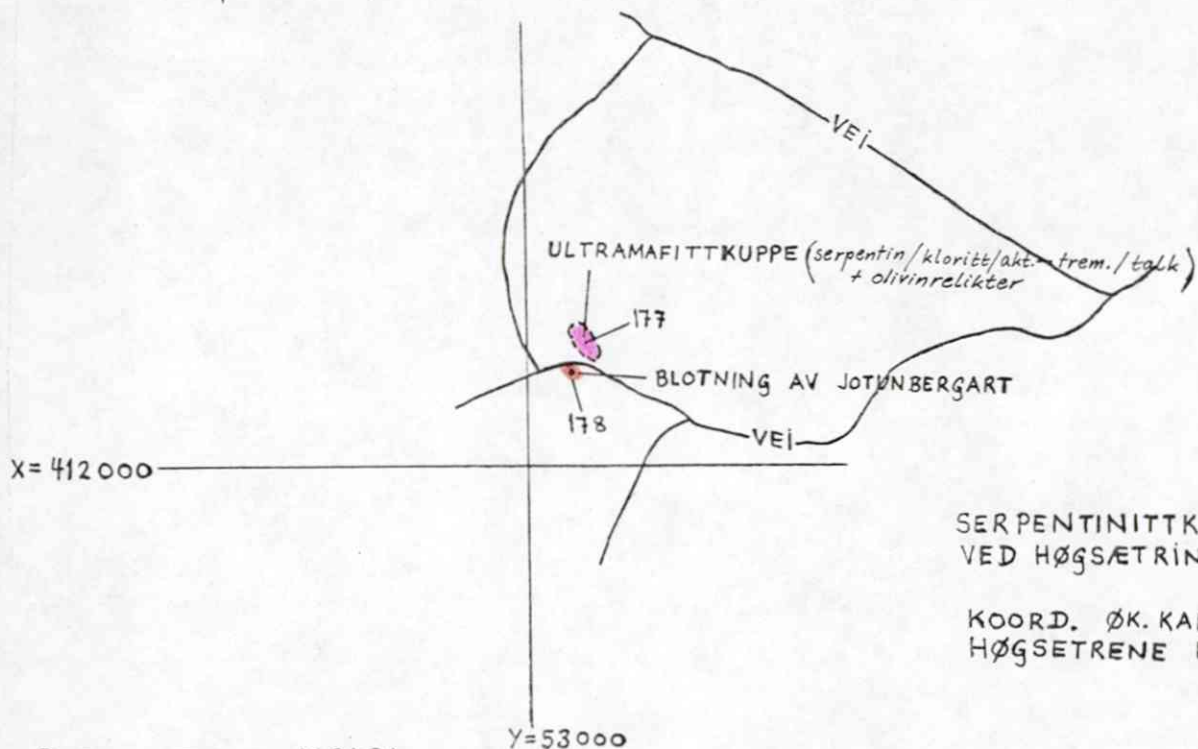
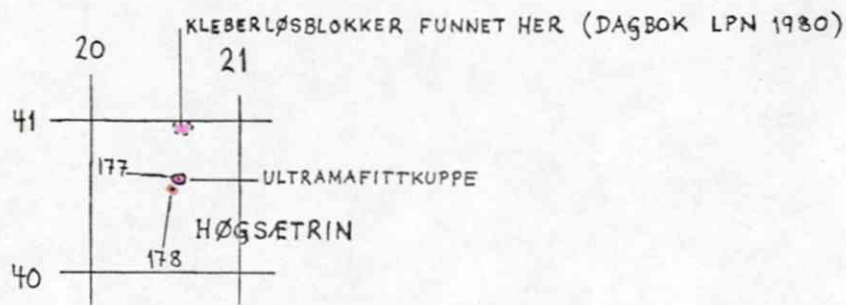


KL  
O = KLEBERFOREKOMST  
REF. NGU-BERGARKIVET

• = PRØVE EE 6 OG EE 7 AV  
KLORITTRIK SKIFER

SERPENTINITT DELVIS OVMANDLET TIL KLEBERSTEIN  
I KONTAKTSONEN.

UTM: KARTBLAD 1718 III SKÅBU



SERPENTINITTKUPPEN  
VED HØGSÆTRIN

KOORD. ØK. KART  
HØGSÆTRENE BW 086-5-1

REF: STRAND (1940)  
HYSINGJORD (1962)  
NGI (1973)

A/S NORDDALSMALM  
UNDERSØKELSE AV ULTRAMAFISKE BERGARTER  
OMRÅDER I HEIDAL, SEL KOMMUNE

NORD-GUDBRANDSDALEN, OPPLAND

NORGES GEOLOGISKE UNDERSØKELSE  
TRONDHEIM

MÅLESTOKK	ObsEE, LPN	JUL. 1980
1:50 000	TEGN. LPN	JAN. 1981
OG	TRAC.	
1:5 000	KFR.	

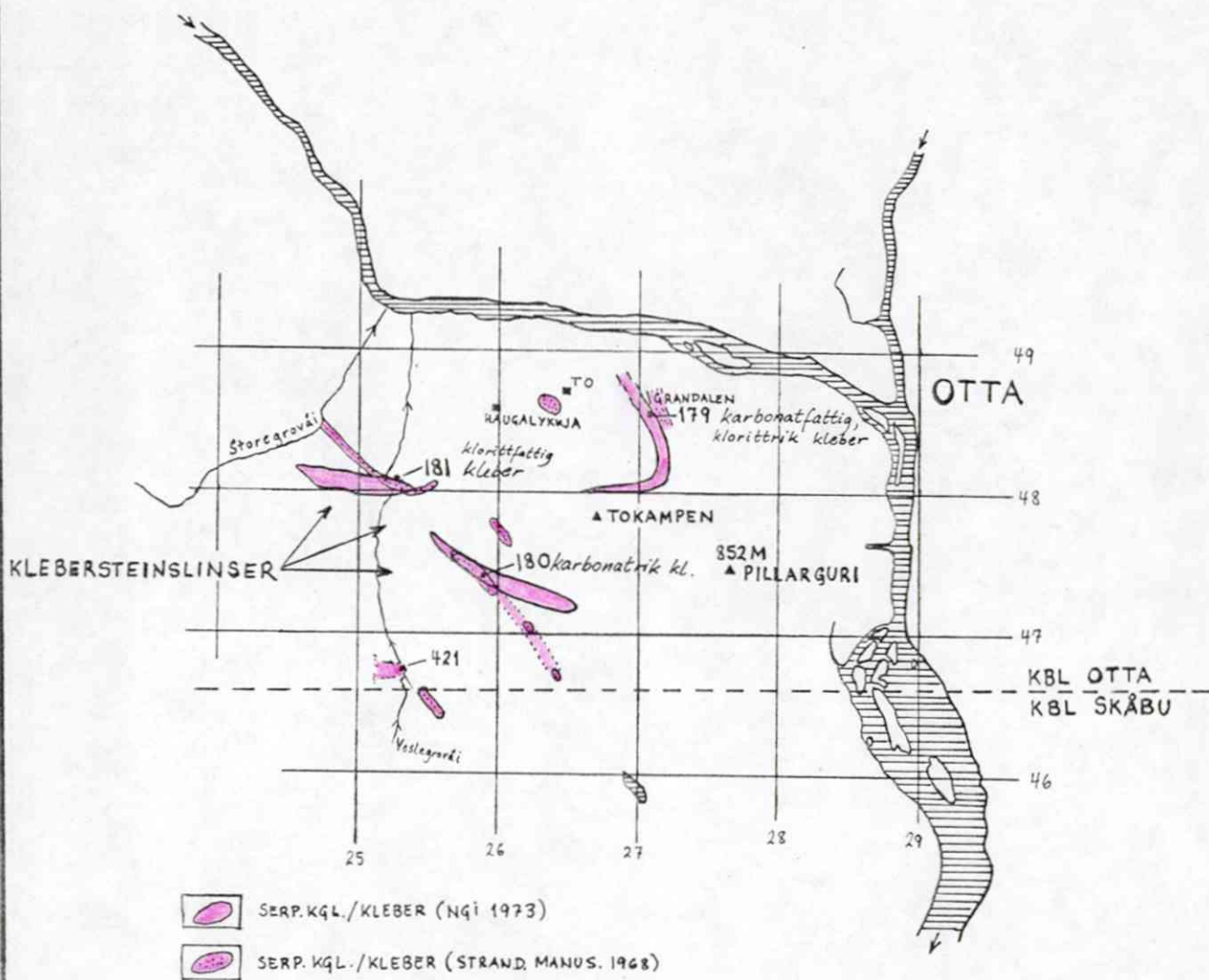
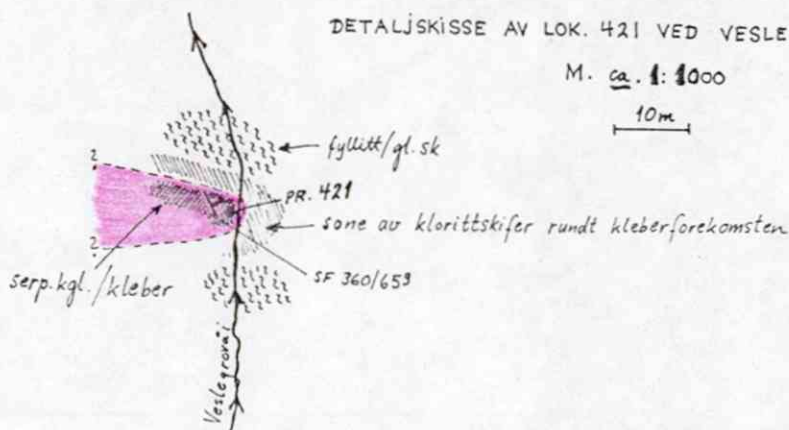
TEGNING NR.  
1709/D-16

KARTBLAD NR.  
1718III

DETALJSSKISSE AV LOK. 421 VED VESLEGROVÅI

M. ca. 1:1000

10m



UTM: KARTBLAD  
1718 IV OTTA

REF: NGI (1973) ETTER MANUSKRIPTKART  
AV T. STRAND  
+ T. STRAND MANUSKRIPTKART (1968) [FLERE DETALJER]

A/S NORDDALSMALM  
UNDERSØKELSE AV ULTRAMAFISKE BERGARTER  
OMRÅDET SV FOR OTTA

NORD-GUDBRANDSDALEN, OPPLAND

NORGES GEOLOGISKE UNDERSØKELSE  
TRONDHEIM

MÅLESTOKK  
1:1000  
og  
1:50 000

OBS. LPN	JUL. 1980
TEGN. LPN	JAN. 1981 + DES. 1982
TRAC.	
KFR.	

TEGNING NR.

1709/D -17

KARTBLAD NR.

1718IV

- X=420 500

# UTSNITT AV P. BANHAMS KART OVER OTTAOMRÅDET

(KUN FOREKOMSTER AV TALK/SERPENTIN OG TALKSKIFER ER INNTEGNET)  
(VIDERE ER INNTEGNET LOK. 421 VED VESLEGROVÅI OG EN FOREKOMST AV KLEBER MELLOM LOK. 421 OG PILLARGURIVEIEN)

- X=420 000

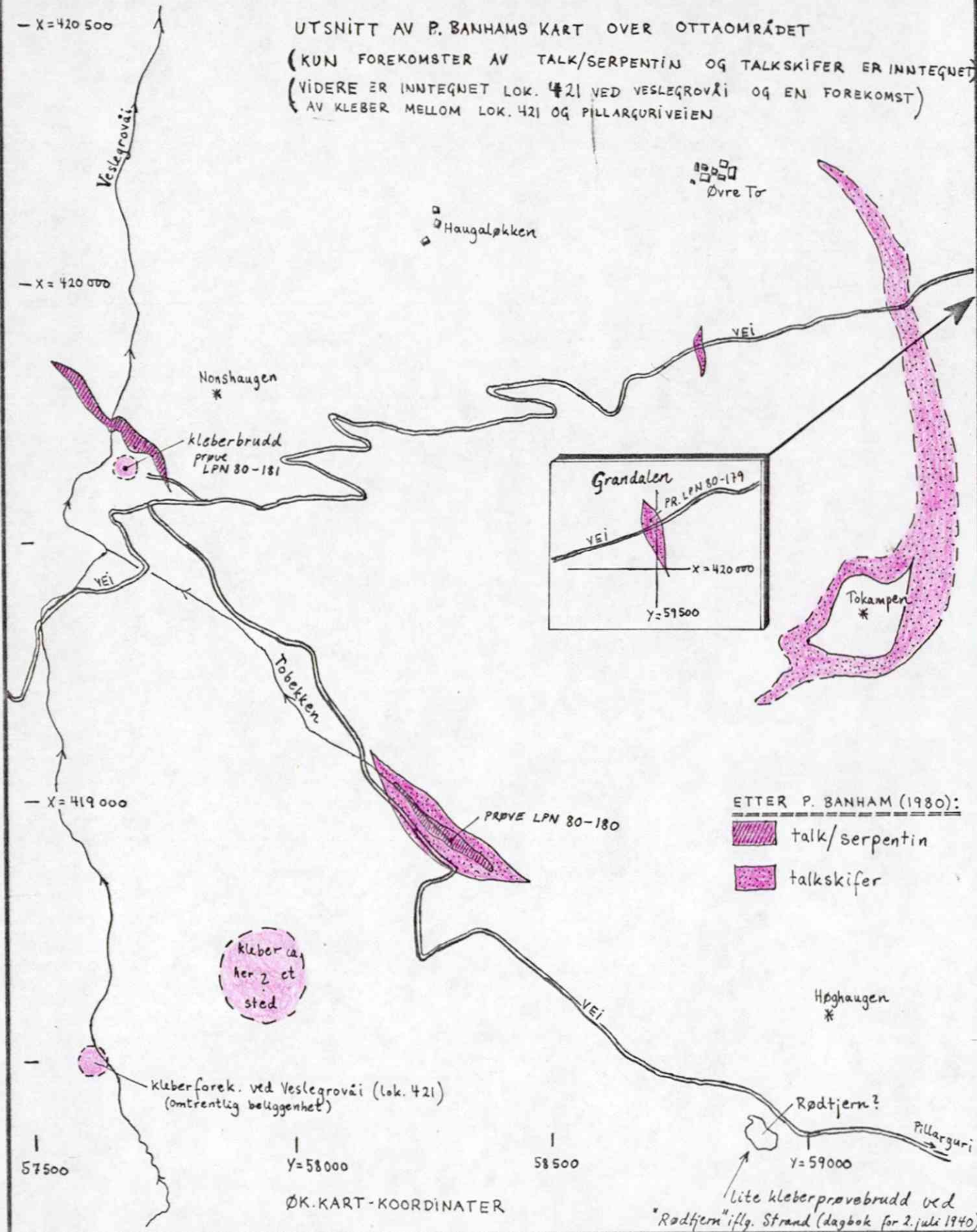
- X=419 000

57500

Y=58000

58500

ØK. KART-KOORDINATER



ETTER P. BANHAM (1980):

-  talk/serpentin
-  talkskifer

A/S NORDDALSMALM  
UNDERSØKELSE AV ULTRAMAFISKE BERGARTER  
OMRÅDET SV FOR OTTA (DETALJ AV TEGN. 17)

MÅLESTOKK

1:10 000

OBS.

TEGN. LPN

TRAC.

KFR.

JAN. 1983

NORDGUDBRANDSDALEN, OPPLAND

NORGES GEOLOGISKE UNDERSØKELSE  
TRONDHEIM

TEGNING NR.

1709/D - 17A

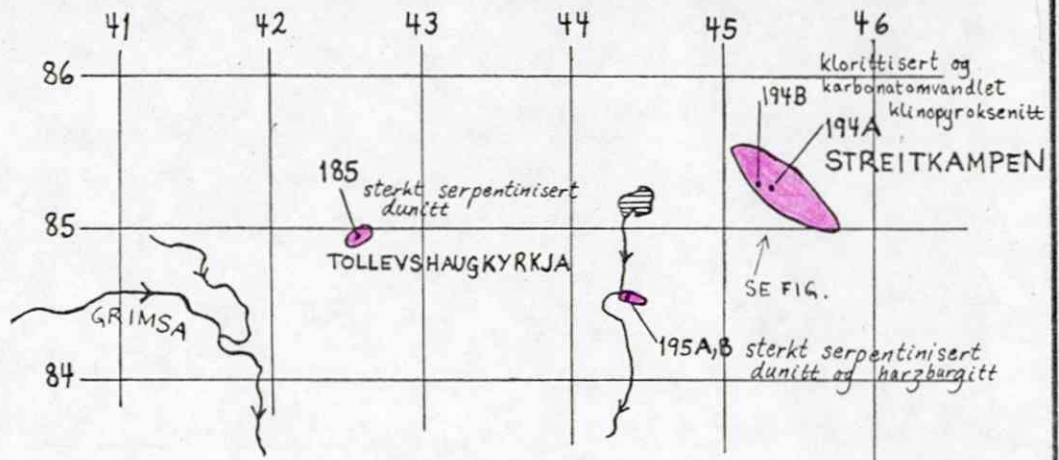
KARTBLAD NR.

1718 IV

UTM: KARTBLAD  
1519 II FOLLDAL

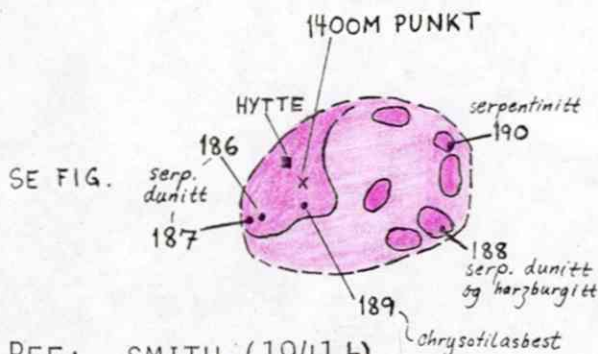
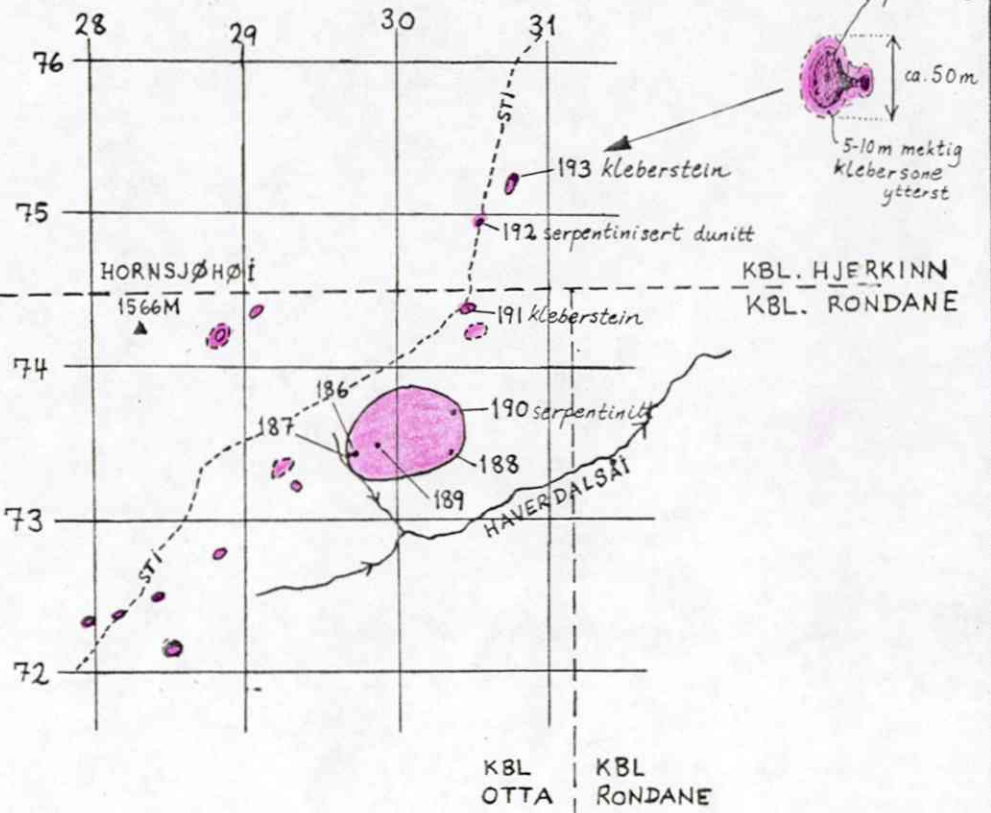
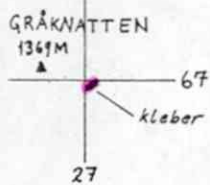
• = PRØVELOKALITET  
MED PRØVENUMMER

 = ULTRAMAFITTER



UTM: KARTBLAD  
1519 III HJERKINN OG  
1718 IV OTTA

SE FIG.



RAUDHAMRAN I HAVERDALEN, DETALJSKISSE.

OPPSTIKKENDE FASTFJELL AV UM. ER  
AVMERKET MED HEL STREK

UM. BLOKKMARK OG OVERDEKKE INNENFOR  
DEN STIPLEDE LINJE.

REF: SMITH (1941 b)  
HEIM (UPUBL. KART)  
TVETEN (UPUBL. KART)  
STRAND (UPUBL. KART "SEL")

(UM = ULTRAMAFITT)

A/S NORDDALSMALM  
UNDERSØKELSE AV ULTRAMAFISKE BERGARTER  
OMRÅDER I GRIMSDALEN OG HAVERDALEN, DOVRE K.

MÅLESTOKK 1:50 000 OG 1:25 000	OBS. LPN	AUG. 1980
	TEGN. LPN	JAN. 1981
	TRAC.	
	KFR.	

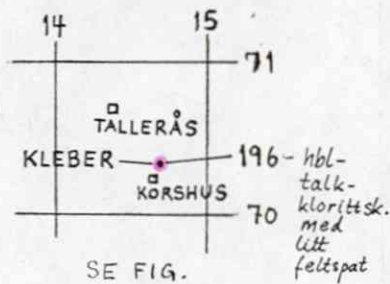
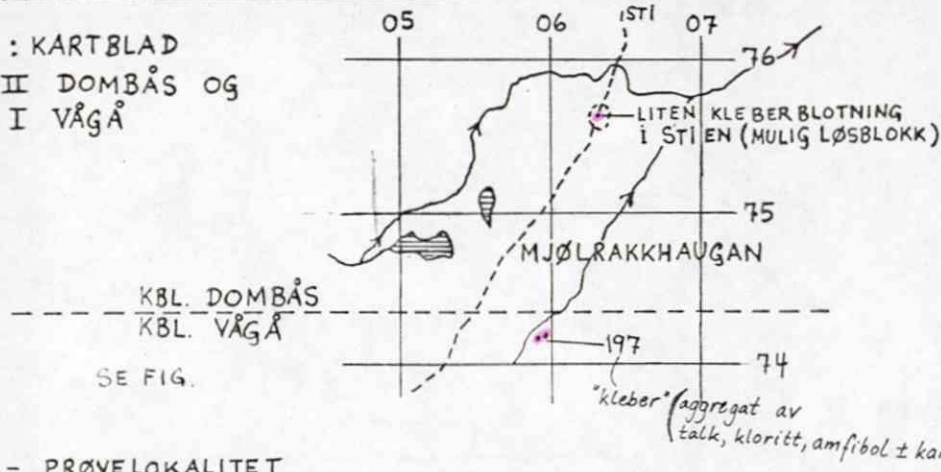
NORD-GUDBRANDSDALEN, OPPLAND

NORGES GEOLOGISKE UNDERSØKELSE  
TRONDHEIM

TEGNING NR.  
1709/D-18

KARTBLAD NR.  
1519 II, III  
1718 IV

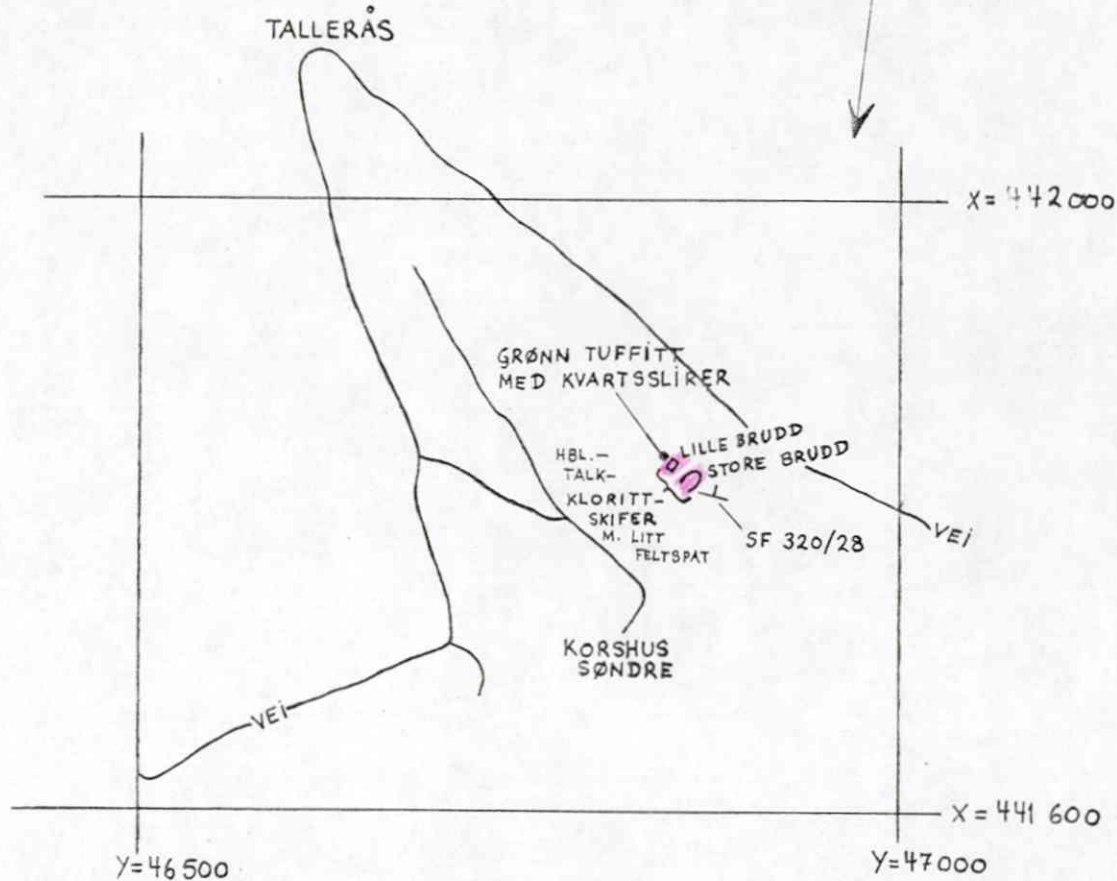
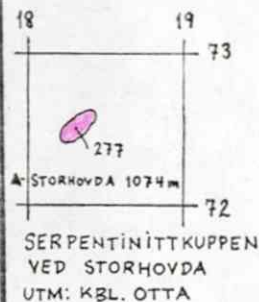
UTM : KARTBLAD  
1419 II DOMBÅS OG  
1618 I VÅGÅ



UTM : KARTBLAD  
1718 IV OTTA

• = PRØVELOKALITET  
MED PRØVENUMMER

• = KLEBERSTEINFOREKOMSTER  
196 (EG. KLORITTSKIFER)  
197

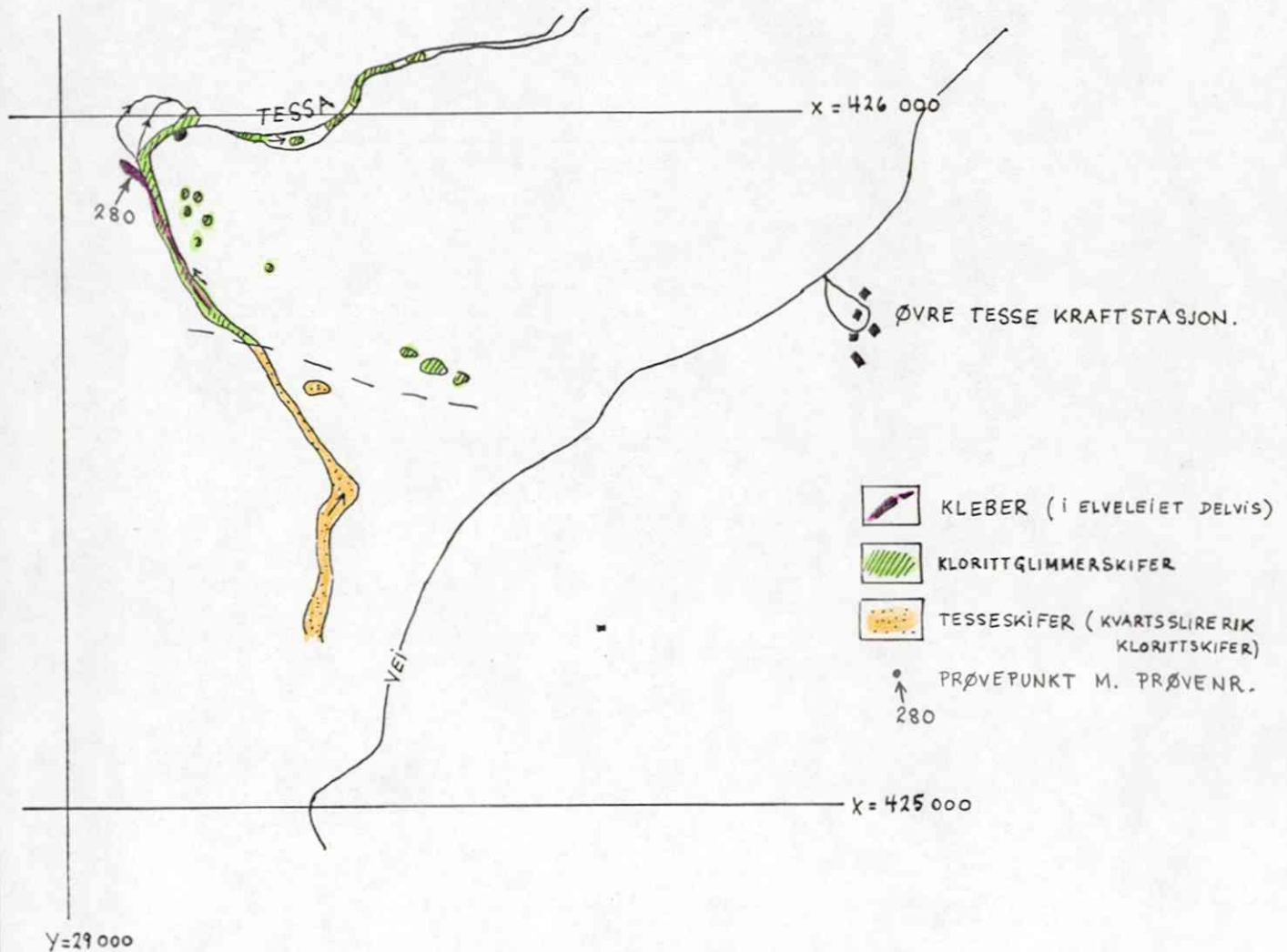


TALLERÅS KLEBERFOREKOMST  
(EG. KLORITTSKIFER)  
ØK. KART BV 093-5-3 VIGERUST  
M. 1:5000

REF: HELLAND (1893)  
SVERDRUP (1962)  
NGU-BERGARKIVET REG.KORT

A/S NORDDALSMALM UNDERSØKELSE AV ULTRAMAFISKE BERGARTER TALLERÅS OG MJØLRAKKHAUGAN KLEBERSTEIN- FOREKOMSTER, DOVRE KOMMUNE	MÅLESTOKK	OBS. LPN	AUG. 1980
	1:50 000	TEGN.LPN	JAN. 1981
NORD-GUDBRANDSDALEN, OPPLAND	OG	TRAC.	
	1:5 000	KFR.	
NORGES GEOLOGISKE UNDERSØKELSE TRONDHEIM	TEGNING NR. 1709/D-19	KARTBLAD NR. 1419 II, 1618 I, 1718 IV	

LITEN KLEBERFOREKOMST VED TESSEKROKENE (TESSAS ELVELEIE)  
 OPPLYSN. ETTER LARS NØRGÅRD JENSEN (1981).



KOORDINATER:  
 ØK. KART BS 089 TESSOSEN

A/S NORDDALSMALM  
 UNDERSØKELSE AV ULTRAMAFISKE BERGARTER  
 TESSEKROKENE, VÅGÅ KOMMUNE

MÅLESTOKK  
 1:10 000

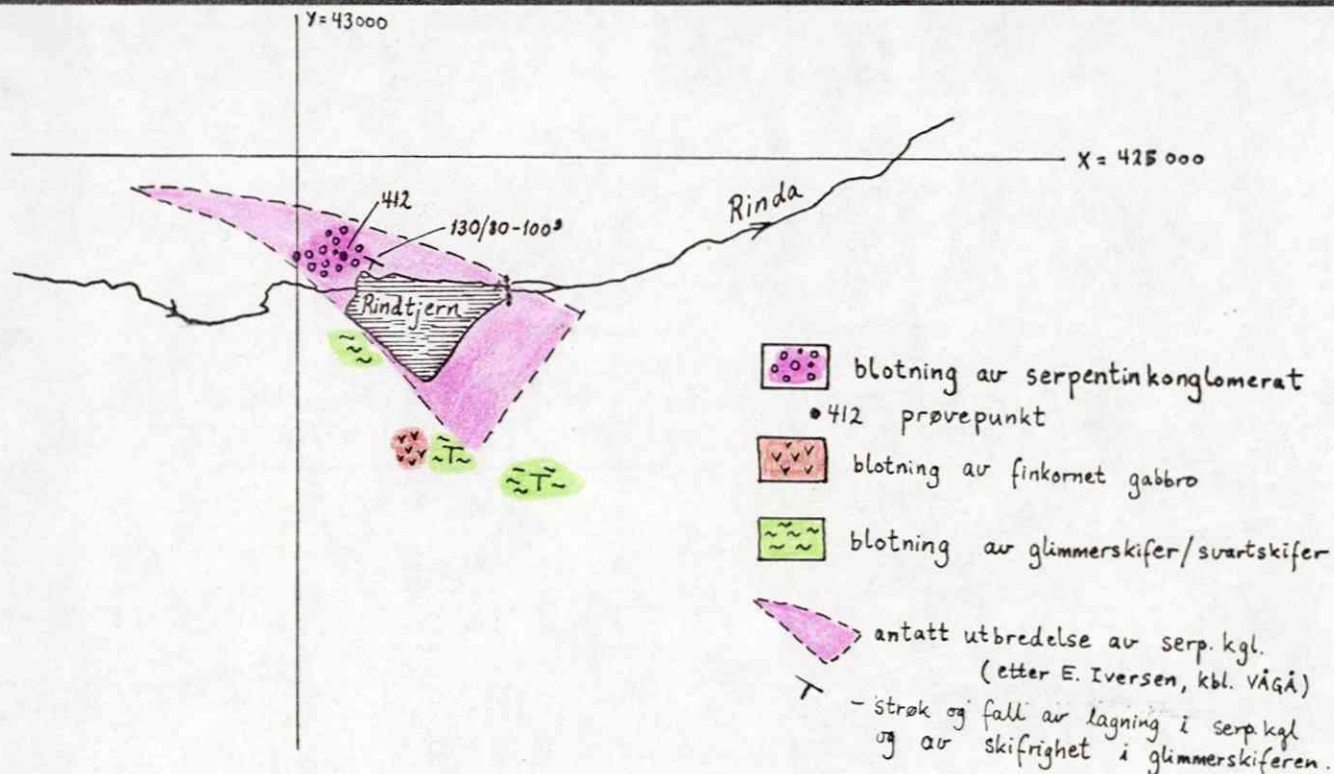
OBS. LNJ	-81
TEGN. LPN	DES. -82
TRAC.	
KFR.	

NORD-GUDBRANDSDALEN, OPPLAND.

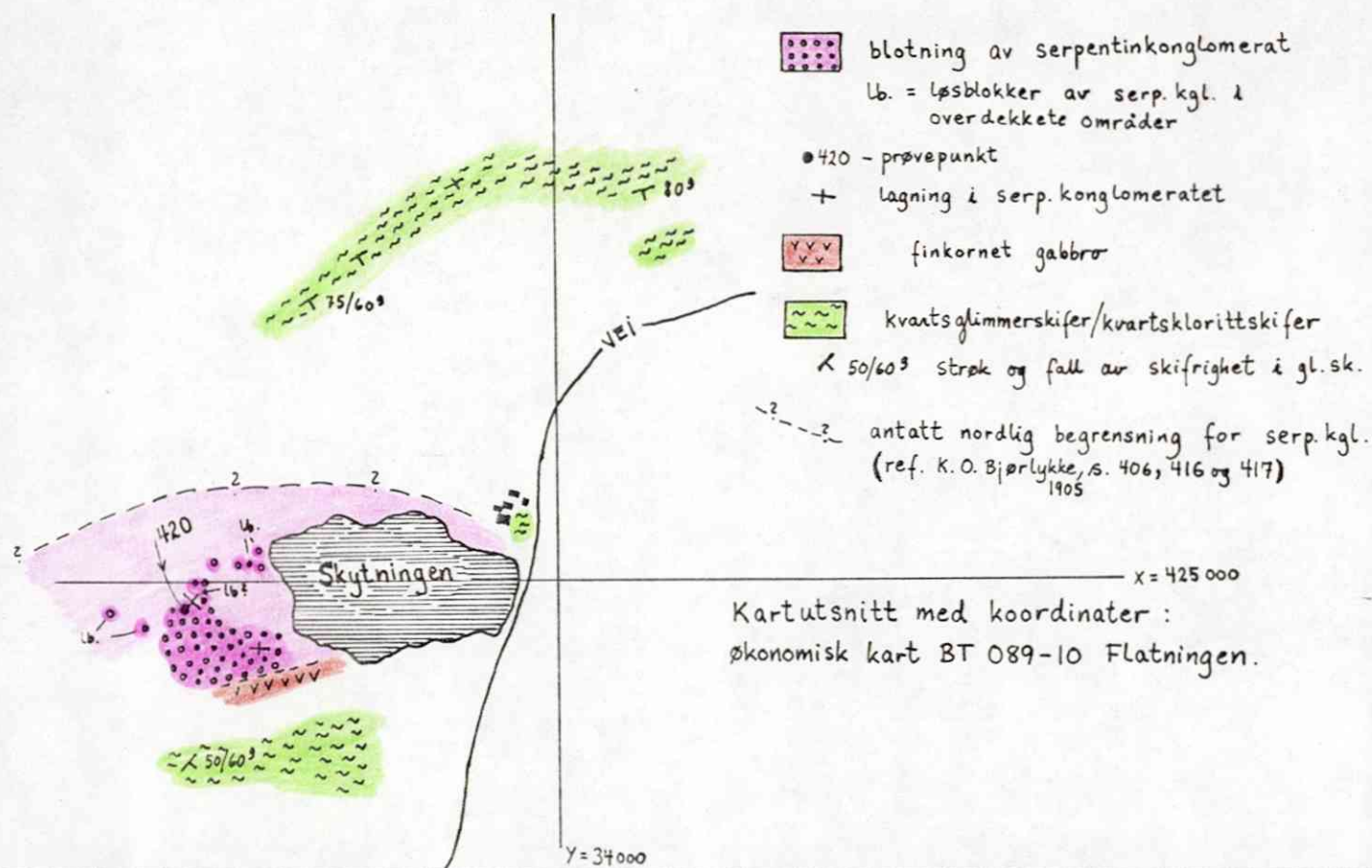
NORGES GEOLOGISKE UNDERSØKELSE  
 TRONDHEIM

TEGNING NR.  
 1709/D - 20

KARTBLAD NR.  
 1618 I



Kartutsnitt med koordinater : økonomisk kart BU 089-10 MELINGEN



Kartutsnitt med koordinater :  
økonomisk kart BT 089-10 Flatningen.

A/S NORDDALSMALM  
UNDERSØKELSE AV ULTRAMAFISKE BERGARTER  
RINDTJERN OG SKYTNINGEN, VÅGÅ KOMMUNE

NORD- GUDBRANDSDALEN, OPPLAND

NORGES GEOLOGISKE UNDERSØKELSE  
TRONDHEIM

MÅLESTOKK

1:10 000

OBS. LPN

TEGN. LPN

TRAC.

KFR.

JUN. -82

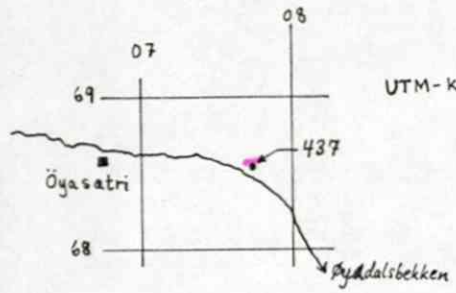
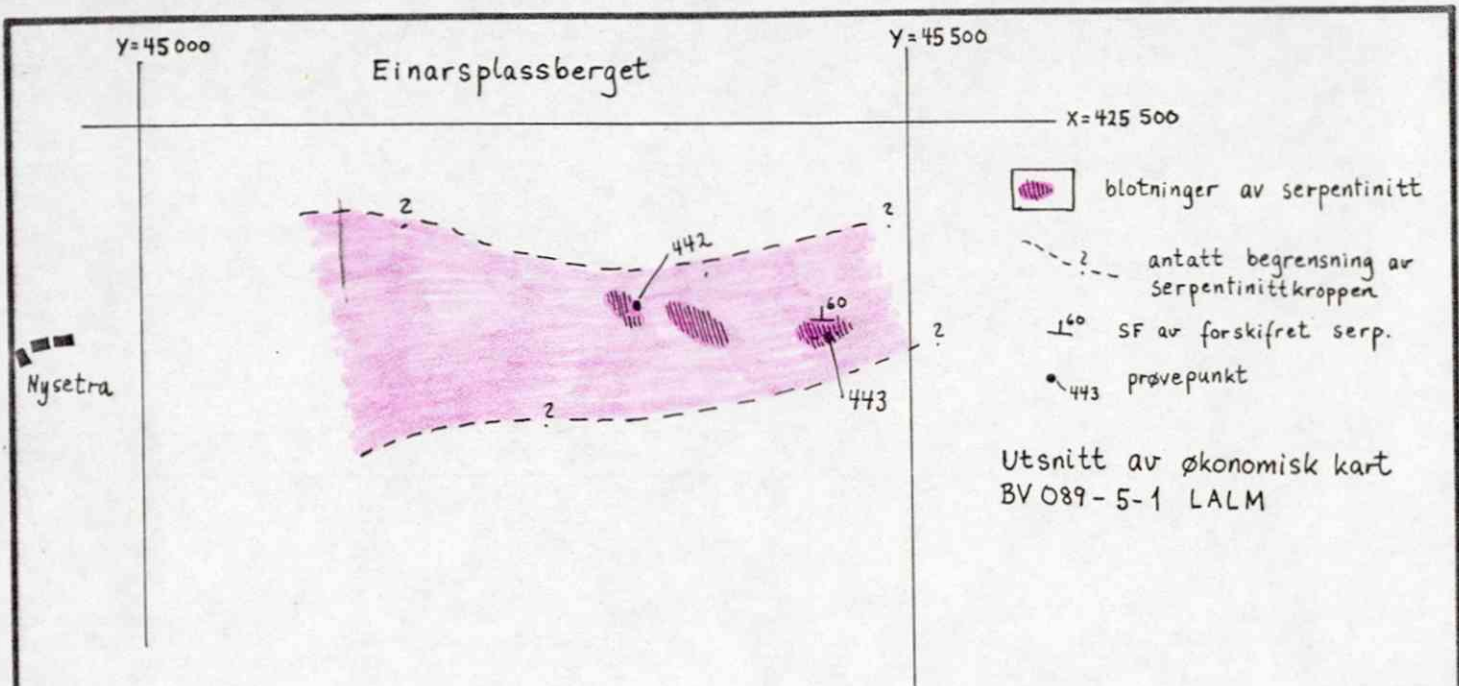
NOV. -82

TEGNING NR.

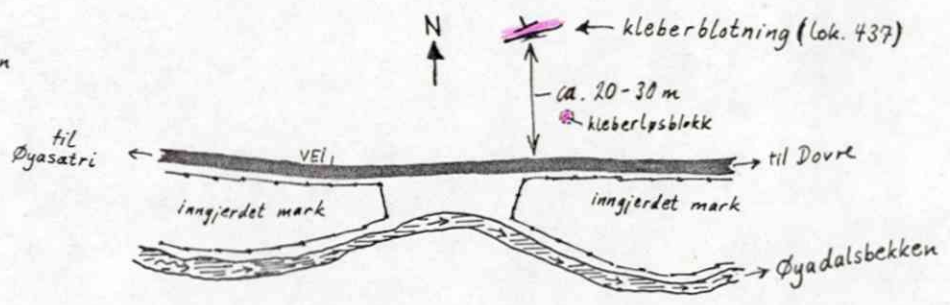
1709/D-21

KARTBLAD NR.

1618 I



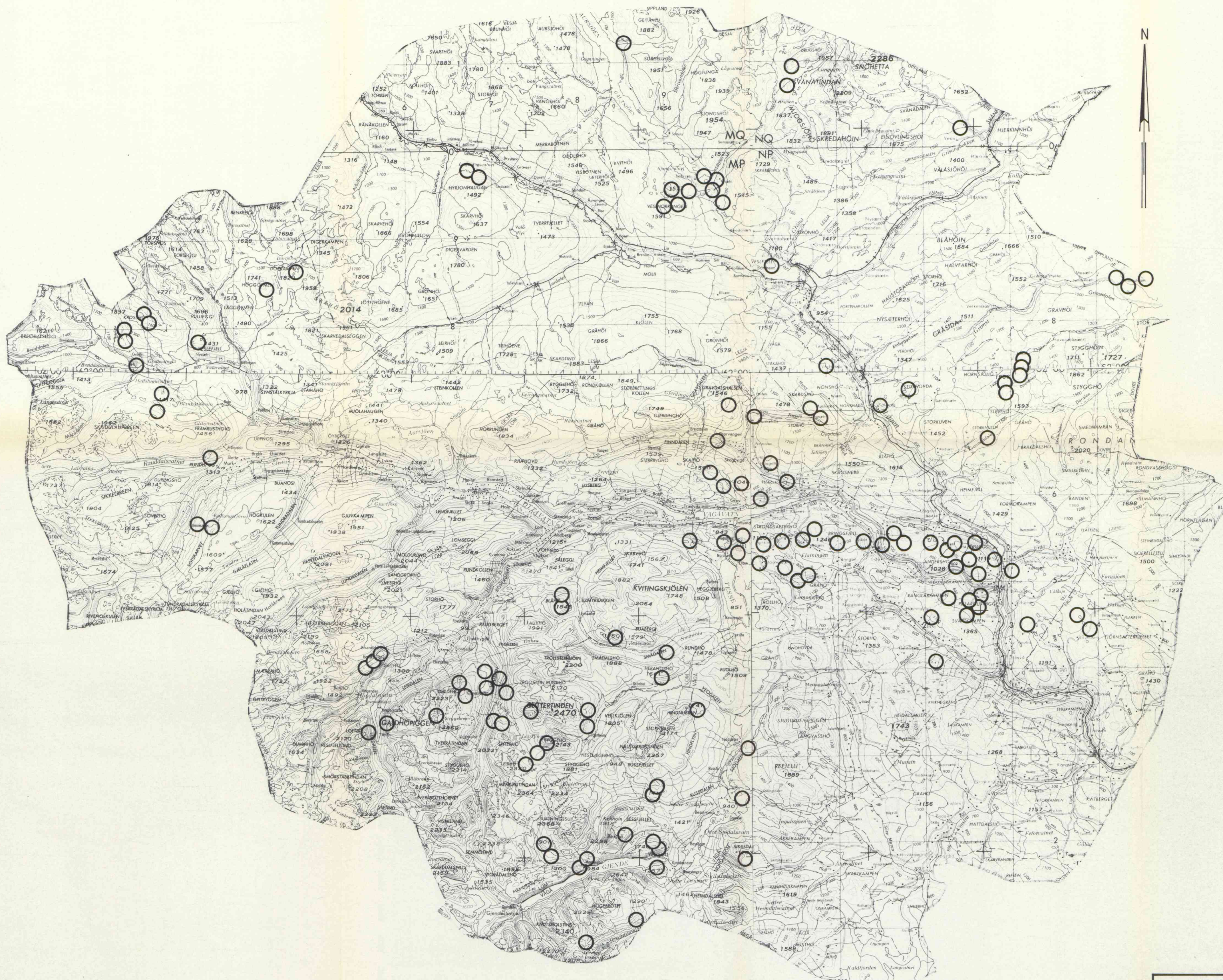
UTM-KOORD. KBL. VÅGÅ 1:50 000



Skisse av kleberforekomst i Jønndalen  
M. ca. 1:2000

A/S NORDDALSMALM UNDERSØKELSE AV ULTRAMAFISKE BERGARTER EINARPLASSBERGET VED LALM, VÅGÅ KOMMUNE OG JØNNDALEN, DOVRE KOMMUNE NORD-GUDBRANDSDALEN, OPPLAND	MÅLESTOKK 1:5000 OG (1:50000, 1:2000)	OBS. LPN	JUL. - 82
		TEGN. LPN	NOV. - 82
		TRAC.	
		KFR.	
NORGES GEOLOGISKE UNDERSØKELSE TRONDHEIM	TEGNING NR. 1709/D - 22	KARTBLAD NR. 1718 IV og 1618 I	

1. FOREKOMSTER AV ULTRAMAFISKE BERGARTER  
I NORD - GUDBRANDSDALEN



NGU - A/S NORDDALSMALM 1982 UNDERSØKELSE AV ULTRAMAFISKE BERGARTER NORD - GUDBRANDSDALEN, OPPLAND FYLKE	MÅLESTOKK	OBS. LPN	1979, 80 og 81
	1:250 000	TEGN. LPN	MARS 1982
NORGES GEOLOGISKE UNDERSØKELSE TRONDHEIM	TRAC. IL	KFR.	APRIL 1983
	TEGNING NR. 1709 / D - 23	KARTBLAD NR. NP 31, 32 - 7 og 8 NP 31, 32 - 11 og 12	



### 3. PETROGRAFISK OVERSIKT



#### TEGNFORKLARING

FOREKOMSTER AV ULTRAMAFISKE BERGARTER INNENFOR PROSJEKTOMRÅDET. HVER ENKELT SIRKEL REPRERENTERER EN ULTRAMAFITTKROPP ELLER EN LOKALITET INNENFOR SERPENTINKONGLOMERAT

DYPERUPTIVER (JOTUNITT, MANGERITT, ANORTHOSITT mm.) I JOTUNDEKKET OG EKVALENTE (?) DEKKEENHETER I NORD OG ØST

KAMBRO-SILURISKE OG PREKAMBRISKE (?) METASUPRAKRUSTALLBERGARTER

I VEST: BERGEN-NAMSOS GNEISOMRÅDE  
I ØST: SPARAGMITT (UTEN ULTRAMAFITT)  
I SYD: VALDRES-SPARAGMITT (UTEN ULTRAMAFITT)

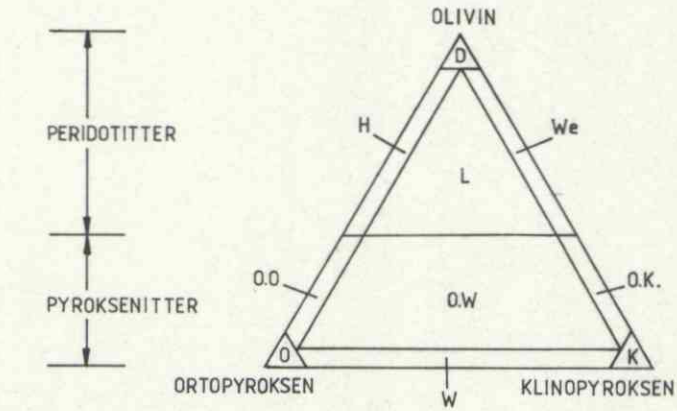
HOVEDINNDDELING AV BERGARTENE VESENTLIG ETTER HOLTEDAHL OG DONS (1960)

#### TEGNFORKLARING

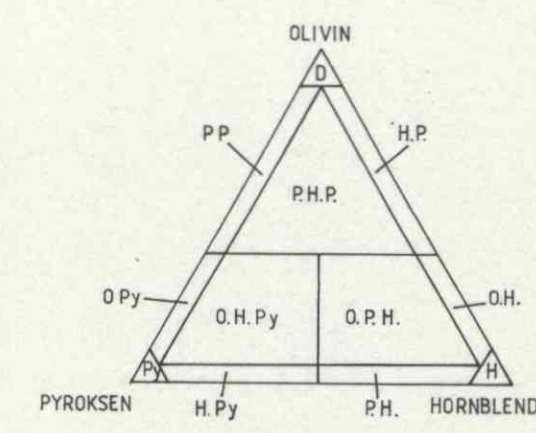
INNENFOR JOTUNDEKKET OG EKVALENTE (?) DEKKEENHETER

LOKALITET / PRØVE AV: NOMENKLATUR ETTER STRECKEISEN (1973)

- D DUNITT
- H HARZBURGITT
- L LHERZOLITT
- W WEHLRITT
- O.O. OLIVIN ORTOPYROKSE-NITT
- O.W. OLIVINWEBSTERITT
- O.K. OLIVIN-KLINOPYROKSE-NITT
- W WEBSTERITT
- O ORTOPYROKSENITT
- K KLINOPYROKSENITT



- PP PYROKSEN-PERIDOTTIT (M. LITT HBL)
- PHP PYROKSEN-HORNBLLENDE-PERIDOTTIT
- HP HORNBLENDE-PERIDOTTIT
- OHPy OLIVIN-HORNBLLENDE-PYROKSENITT
- HPy HORNBLENDE-PYROKSENITT



- STERKT OMVANDLET PERIDOTTIT

INNENFOR KAMBRO-SILURISKE OG PREKAMBRISKE (?) METASUPRAKRUSTALLER SAMT INNENFOR BERGEN-NAMSOS GNEISOMRÅDE

LOKALITET / PRØVE AV:

- D UOMVANDLET ELLER BARE SVAKT OMVANDLET DUNITT (<5% OMVANDLINGS-PRODUKTER)
- P UOMVANDLET ELLER BARE SVAKT OMVANDLET PERIDOTTIT (<5% OMVANDLINGS-PRODUKTER)
- D/P 5-50% OMVANDLET (SERPENTINISERT, ETC.) DUNITT / PERIDOTTIT, ETC.
- D/P 50-95% OMVANDLET (SERPENTINISERT, ETC.) DUNITT / PERIDOTTIT, ETC.
- D/P >95% OMVANDLET (SERPENTINISERT, ETC.) DUNITT / PERIDOTTIT, ETC.
- D/P <50% FORTALKET, KLORITTISERT OG/ELLER KARBONATMV. SERPENTINITT
- D/P 50-95% FORTALKET, KLORITTISERT OG/ELLER KARBONATMV. SERPENTINITT
- D/P >95% FORTALKET, KLORITTISERT OG/ELLER KARBONATMV. SERPENTINITT DVS. KLEBERSTEIN
- D/P 5-50% OMVANDLING AV DUNITT / PERIDOTTIT, ETC. TIL TALK ± KLORITT ± AMFIBOL ± KARBONAT
- D/P 50-95% OMVANDLING AV DUNITT / PERIDOTTIT, ETC. TIL TALK ± KLORITT ± AMFIBOL ± KARBONAT
- D/P OPPTREDEN AV BÅDE OLIVIN, SERPENTIN OG TALK, ETC. I SAMME SLIP (LESJEHØRRUNGANE)

- K LOKALITET / PRØVE INNENFOR SERPENTINKONGLOMERAT
- K LOKALITETER PÅ ANTATT SAMME SERP KGL.-HORISONT
- K LOKALITETER PÅ MULIG SAMME (?) SERP KGL.-HORISONT
- K Herunder: LOK / PRØVE MED UOMVANDLET ELLER BARE SVAKT OMVANDLET SERPENTINKONGLOMERAT (<5% OMVANDLINGSPRODUKTER)
- K LOK / PRØVE MED 5-50% OMVANDLING (TALK, KLORITT, KARBONAT) AV SERPENTINKONGLOMERAT

- K LOK / PRØVE MED 50-95% OMVANDLING (TALK, KLORITT, KARBONAT) AV SERP KGL. (UREN KLEBERSTEIN)
- K LOK / PRØVE MED >95% OMVANDLING AV SERPENTINKONGLOMERAT (KLEBERSTEIN)

A/S NORDDALSMALM - NGU 1982 UNDERSØKELSE AV ULTRAMAFISKE BERGARTER NORD-GUDBRANDSDALEN, OPPLAND	MÅLESTOKK	OBS. LPN	1979, 80 og 81
	1:250 000	TEGN. LPN	MARS 1982
NORGES GEOLOGISKE UNDERSØKELSE TRONDHEIM	TEGNING NR.	TRAC. IL	APRIL 1982
	1709 / D-25	KFR.	
	KARTBLAD NR.	NP 31, 32-7 og 8 NP 31, 32-11 og 12	

#### 4 MALM OG INDUSTRIMINERALER

##### 4.1 INNHOLD OG OPPTREDEN AV KROM I ULTRAMAFITTENE



#### TEGNFORKLARING

- FOREKOMSTER AV ULTRAMAFISKE BERGARTER INNENFOR PROSJEKTOMRÅDET. HVER ENKELT SIRKEL REPRERENTER EN ULTRAMAFITTKROPP ELLER EN LOKALITET INNENFOR SERPENTINKONGLOMERAT
- DYPERUPTIVER (JOTUNITT, MANGERITT, ANORTHOSITT mm.) I JOTUNDEKKET OG EKVIVALENTE (?) DEKKEENHETER I NORD OG ØST
- KAMBRO-SILURISKE OG PREKAMBRISKE (?) METASUPRKRUSTALLBERGARTER
- I VEST BERGEN-NAMSOS GNEISOMRÅDE
- I ØST: SPARAGMITT (UTEN ULTRAMAFITT)
- I SYD: VALDRES-SPARAGMITT (UTEN ULTRAMAFITT)

#### TEGNFORKLARING

##### INNENFOR JOTUNDEKKET OG EKVIVALENTE (?) DEKKEENHETER

- INNHOLD AV KROM I ppm I EN ELLER FLERE PRØVER FRA SAMME ULTRAMAFITT
- I KROMFATTIGE PRØVER FRA GRÅSUBEKKEN OPPTRER KROM SOM SPORELEMENT I EN TITANRIK MAGNETITT (0,1-0,2% Cr<sub>2</sub>O<sub>3</sub> OG 2,5-3% TiO<sub>2</sub>)
- I KROMRIKE PRØVER FEKS. FRA HERANOSHØ OPPTRER KROM I FORM AV KROMITT
- INGEN ANRIKNINGER / MINERALISERINGER AV KROMITT BLE OBSERVERT INNENFOR DENNE ENHETEN

##### INNENFOR KAMBRO-SILURISKE OG PREKAMBRISKE (?) METASUPRKRUSTALLER SAMT INNENFOR BERGEN-NAMSOS GNEISOMRÅDE (I VEST)

- INNHOLD AV KROM I ppm I EN ELLER FLERE PRØVER (IKKE-MINERALISERTE) FRA SAMME ULTRAMAFITT ELLER SAMME LOKALITET INNENFOR SERPENTINKONGLOMERAT. KROM OPPTRER VESENTLIG I FORM AV FINFORDELT KROMITT I SMÅ AKSESSORISKE MENGDER
  - SMÅ KROMITTMINERALISERINGER (ANRIKNINGER) (<1 TONN KROMITT)
  - SMÅ (UTDREVNE) KROMITTFOREKOMSTER (1-10 TONN KROMITT)
  - KROMITTFOREKOMSTER (UTDREVNE) (10-100 TONN KROMITT ELLER NOE MER)
- TOTALT UTTATT I LESJEHÖRRUNGANE OG SKAMSDALEN CA.1200 TONN KROMMALM FORDELT PÅ: SKAMSDALSGRUVA  
 OLSTAD (NYSETRI) GRUVER: MIN. 3 ENKELTGRUVER  
 AURTAND GRUVE  
 HALVFARHØY GRUVE  
 SEVERINE SKJERP  
 + EN REKKE IKKE NAVNGITTE SKJERP

TOTALT UTTATT I RAUDHAMRAN I HAVERDALEN 84 TONN KROMMALM FORDELT PÅ MIN. 3 DAGBRUDD

I TOLLEFSHAUGEN SKAL HA VÆRT MINST 3 MUTINGER MENGDEN AV UTTATT MALM ER UBETYDELIG (<10 TONN)

I DØRKAMPEN FINS TRE SMÅ SKJERP ANLAGT PÅ SMÅ KROMITT-SLIRER MED LJEVN GEHALT. TOTALT UTSPRENGT <10 TONN KROMITT

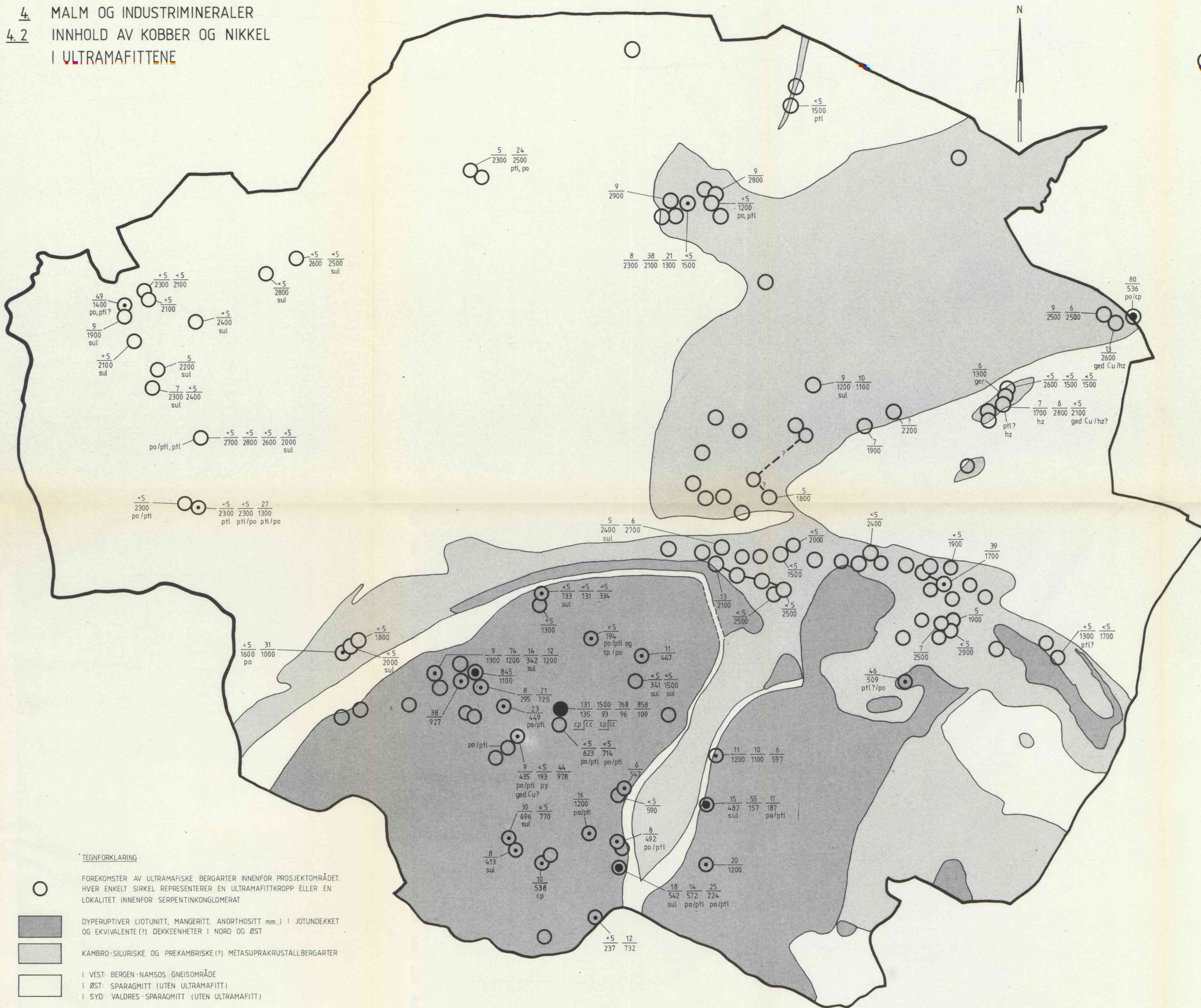
HØGGØYMEN: TOTALT UTSPRENGT <10 TONN (?) KROMITT

PÅ KROSSHØ OG RAUDBERGET VED RAUDDALSVATN BLE DET OBSERVERT SMÅ SLIRER (MAKS. ET PAR METER LANGE) AV STERKT MAGNETITT-OMVANDLET KROMITT

HØVEDINNDDELING AV BERGARTENE VESENTLIG ETTER HOLTEDAHL OG DONS (1960)

A/S NORDDALSMALM - NGU 1982 UNDERSØKELSE AV ULTRAMAFISKE BERGARTER NORD-GUDBRANDSDALEN, OPPLAND	MÅLESTOKK	OBS. LPN	1979, 80 og 81
	1:250 000	TEGN. LPN	MARS 1982
NORGES GEOLOGISKE UNDERSØKELSE TRONDHEIM	TEGNING NR.	TRAC. IL	APRIL 1982
	1709/D-26	KFR.	
	KARTBLAD NR.	NP 31, 32-7 og 8 NP 31, 32-11 og 12	

4. MALM OG INDUSTRIMINERALER  
 4.2 INNHOLD AV KOBBER OG NIKKEL  
 I ULTRAMAFITTENE



TEGNFORKLARING

FOR HELE OMRÅDET GJELDER:



INNHOOLD AV Cu OG Ni I PRØVER AV ULTRAMAFISKE BERGARTER

OPPLYSNINGER OM SULFIDMINERALER OBSERVERT I MIKROSKOP OG I ENKELTE TILFELLER BESTEMT VED HJELP AV MIKROSONDE, ER PÅFØRT UNDER ANALYSEVERDIENE. DE TILFELLENE HVOR SULFIDER ER OBSERVERT MEN IKKE BESTEMT, ER AVMERKET MED „sul“ UNDER ANALYSEVERDIENE

OBSERVORTE SULFIDER

- py: SVOVELKIS FeS<sub>2</sub>
- po: MAGNETKIS -FeS
- ptl: PENTLANDITT -(Ni, Fe)<sub>2</sub>S<sub>9</sub>
- po/ptl: MAGNETKIS OG PENTLANDITT I AVBLANDING
- hz: HEAZLEWOODITT Ni<sub>3</sub>S<sub>2</sub>
- cp: KOBBERKIS Cu Fe S<sub>2</sub>
- cp/cc: KOBBERKISKORN MED RANDSONE AV KOBBERGLANS Cu<sub>2</sub>S EVENTUELT DIGENITT Cu<sub>9</sub>S<sub>5</sub>
- cp/po: KOBBERKIS OG MAGNETKIS I INTIM ASSOSIASJON
- ged Cu/hz: GEDIGENT KOBBER I ASSOSIASJON MED HEAZLEWOODITT
- ger: GERSDORFITT Ni As S (1 Ni - POSSISJON INNGÅR DESSUTEN SMÅ MENGDER Co OG Fe)
- sul: SULFIDER GENERELT

- Cu/Ni -FORHOLD: <math>-0,001 - 0,01</math>
- ◐ Cu/Ni -FORHOLD: 0,01 - 0,1
- ◑ Cu/Ni -FORHOLD: 0,1 - 1
- Cu/Ni -FORHOLD: 1 - 16,13 (MAKS)

HVIS DET ER FLERE PRØVER INNENFOR EN LOKALITET ER SYMBOLET FOR PRØVEN MED HØYEST Cu/Ni -FORHOLD BRUKT

FOR VERDIEN <math><5\text{ppm}</math> ER BRUKT  $\frac{5}{9}\text{ppm} = 1,66 - 2\text{ppm}$

TEGNFORKLARING

FOREKOMSTER AV ULTRAMAFISKE BERGARTER INNENFOR PROSJEKTOMRÅDET. HVER ENKELT SIRKEL REPRERENTERER EN ULTRAMAFITTKROPP ELLER EN LOKALITET INNENFOR SERPENTINKONGLOMERAT

DYPERUPTIVER (JOTUNITT, MANGERITT, ANORTHOSITT mm.) I JOTUNDEKKET OG EKVALENTE (?) DEKKEENHETER I NORD OG ØST

KAMBRO-SILURISKE OG PREKAMBRISKE (?) METASUPRAKRUSTALLBERGARTER

I VEST: BERGEN-NAMSOS GNEISOMRÅDE  
 I ØST: SPARAGMITT (UTEN ULTRAMAFITT)  
 I SYD: VALDRES-SPARAGMITT (UTEN ULTRAMAFITT)

HØVEDINDELING AV BERGARTENE VESENTLIG ETTER HOLTEDAHL OG DONS (1960)

A/S NORDDALSMALM - NGU 1982 UNDERSØKELSE AV ULTRAMAFISKE BERGARTER NORD-GUDBRANDSDALEN, OPPLAND	MÅLESTOKK	OBS. LPN	1979, 80 og 81
	1:250 000	TEGN. LPN	MARS 1982
NORGES GEOLOGISKE UNDERSØKELSE TRONDHEIM	TEGNING NR.	KARTBLAD NR.	
	1709 / D - 27	NP 31, 32 - 7 og 8 NP 31, 32 - 11 og 12	